



**H<sub>2</sub>S'ÜN ELEMENTEL KÜKÜRDE SEÇİCİ OKSİDASYONU İÇİN  
KATALİZÖR GELİŞTİRİLMESİ**

**Yusuf CAMBAZ**

**YÜKSEK LİSANS TEZİ  
KİMYA MÜHENDİSLİĞİ ANABİLİM DALI**

**GAZİ ÜNİVERSİTESİ  
FEN BİLİMLERİ ENSTİTÜSÜ**

**OCAK 2016**

Yusuf CAMBAZ tarafından hazırlanan “H<sub>2</sub>S’ÜN ELEMENTEL KÜKÜRDE SEÇİCİ OKSİDASYONU İÇİN KATALİZÖR GELİŞTİRİLMESİ” adlı tez çalışması aşağıdaki jüri tarafından OY BİRLİĞİ / OY ÇOKLUĞU ile Gazi Üniversitesi Kimya Mühendisliği Anabilim Dalında YÜKSEK LİSANS TEZİ olarak kabul edilmiştir.

**Danışman:** Prof. Dr. Nail YAŞYERLİ  
Kimya Mühendisliği, Gazi Üniversitesi

Bu tezin, kapsam ve kalite olarak Yüksek Lisans Tezi olduğunu onaylıyorum/onaylamıyorum .....

**Başkan :**Prof. Dr. Süleyman KARACAN  
Kimya Mühendisliği, Ankara Üniversitesi

Bu tezin, kapsam ve kalite olarak Yüksek Lisans Tezi olduğunu onaylıyorum/onaylamıyorum .....

**Üye :**Doç. Dr. Meltem DOĞAN  
Kimya Mühendisliği, Gazi Üniversitesi

Bu tezin, kapsam ve kalite olarak Yüksek Lisans Tezi olduğunu onaylıyorum/onaylamıyorum .....

Tez Savunma Tarihi: 06/01/2016

Jüri tarafından kabul edilen bu tezin Yüksek Lisans Tezi olması için gerekli şartları yerine getirdiğini onaylıyorum.

.....  
Prof. Dr. Metin GÜRÜ  
Fen Bilimleri Enstitüsü Müdürü

## ETİK BEYAN

Gazi Üniversitesi Fen Bilimleri Enstitüsü Tez Yazım Kurallarına uygun olarak hazırladığım bu tez çalışmada;

- Tez içinde sunduğum verileri, bilgileri ve dokümanları akademik ve etik kurallar çerçevesinde elde ettiğimi,
- Tüm bilgi, belge, değerlendirme ve sonuçları bilimsel etik ve ahlak kurallarına uygun olarak sunduğumu,
- Tez çalışmada yararlandığım eserlerin tümüne uygun atıfta bulunarak kaynak gösterdiğimi,
- Kullanılan verilerde herhangi bir değişiklik yapmadığımı,
- Bu tezde sunduğum çalışmanın özgün olduğunu,

bildirir, aksi bir durumda aleyhime doğabilecek tüm hak kayıplarını kabullendiğimi beyan ederim.

Yusuf CAMBAZ  
06.01.2016

**H<sub>2</sub>S'ÜN ELEMENTEL KÜKÜRDE SEÇİCİ OKSİDASYONU İÇİN KATALİZÖR  
GELİŞTİRİLMESİ  
(Yüksek Lisans Tezi)**

Yusuf CAMBAZ

GAZİ ÜNİVERSİTESİ  
FEN BİLİMLERİ ENSTİTÜSÜ  
Ocak 2016

**ÖZET**

Son yıllarda çevre kirliliğine olan duyarlılık artmakta ve hemen hemen her üretimin gündem maddesini çevre kirliliği oluşturmaktadır. Çevre kirliliğine sebep olan en önemli kirleticilerden biri de Hidrojen Sülfür (H<sub>2</sub>S) gazıdır. Yüksek toksik özelliğe sahip olan bu gazın hem çevreye, hem insan sağlığına hem de ekipmanlara zarar verdiği için giderilmesi gerekmektedir. H<sub>2</sub>S gazı zararları olmasına rağmen uygun yöntemlerle giderildiğinde elementel kükürt elde edilerek yararlı hale de getirilebilir. H<sub>2</sub>S gazından elementel kükürt elde etmek için genelde iki proses kullanılmaktadır. Bunlardan birisi Claus Prosesi diğeri MODOP (Mobil Direct Oxidation Process)'dur. Her iki proses de katalitik proses olup, kullanılan katalizörün verime etkisi önemlidir. Bu çalışmada, H<sub>2</sub>S'ün giderilmesinde seçici katalitik oksidasyon reaksiyonu ile elementel kükürt eldesi (H<sub>2</sub>S + 1/2O<sub>2</sub> → S + H<sub>2</sub>O) için krom oksit esaslı Cr ve Ce karışık metal oksit katalizörlerinin geliştirilmesi ve katalitik aktivitelerinin incelenmesi amaçlanmıştır. Çalışmada farklı molar oranlarındaki krom ve seryum oksit (Cr-O, Cr<sub>2,7</sub>Ce<sub>1,3</sub>, Cr<sub>2</sub>Ce<sub>2</sub>, Cr<sub>2</sub>Ce<sub>2</sub>-EA, Cr<sub>3</sub>Ce, Cr<sub>2,7</sub>Ce<sub>1,3</sub>-SiO<sub>2</sub>) katalizörleri kompleksleştirme yöntemi ile hazırlanmıştır. Katalizörlerin EDS sonuçları metallerin yapıya istenilen oranlarda yerleştirilebildiğini göstermiştir. XRD sonuçlarında Cr-O katalizörü hariç diğer katalizörlerin hepsinde Cr<sub>2</sub>O<sub>3</sub> ve CeO<sub>2</sub> pikleri tespit edilmiş, Cr-O katalizöründe ise sadece Cr<sub>2</sub>O<sub>3</sub> pikleri gözlenmiştir. Katalizörlerin H<sub>2</sub>S'ün elementel kükürde seçici katalitik oksidasyon reaksiyonundaki aktiviteleri sabit yatak reaktör sisteminde 250°C ve O<sub>2</sub>/H<sub>2</sub>S: 0,5 ml/dk gaz akış hızında test edilmiştir. Bu şartlarda en iyi aktiviteyi %70 H<sub>2</sub>S dönüşümü ve %100 kükürt seçiciliği ile Cr<sub>2,7</sub>Ce<sub>1,3</sub> katalizörü göstermiştir. Sentez yönteminin aktiviteye etkisini araştırabilmek için en iyi kükürt veriminin elde edildiği Cr/Ce:2/1 molar oranındaki Cr<sub>2,7</sub>Ce<sub>1,3</sub> (Cr/Ce:2/1) katalizörü birlikte çöktürme yöntemi ile de hazırlanmış ve aynı şartlardaki (250°C, O<sub>2</sub>/H<sub>2</sub>S:0,5) aktivite testi sonucunda H<sub>2</sub>S dönüşümü ve elementel kükürt seçiciliğinin azaldığı görülmüştür. Cr-Ce karışımına silika desteği sağlayarak elde edilen katalizörlerde ise O<sub>2</sub>/H<sub>2</sub>S oranı 0,5 olduğunda ve 250°C sıcaklıkta reaksiyon testi gerçekleştirildiğinde H<sub>2</sub>S dönüşümü %20'lere kadar düşmüş seçicilik ise %90'nın üzerinde olmuştur. Yapılan çalışmalar sonucunda kompleksleştirme yöntemi ile sentezlenen Cr<sub>2,7</sub>Ce<sub>1,3</sub> katalizörünün H<sub>2</sub>S'ün seçici katalitik oksidasyonu ile elementel kükürt eldesi için en yüksek aktiviteye sahip olduğu tespit edilmiştir.

Bilim Kodu : 912.1.080

Anahtar Kelimeler : H<sub>2</sub>S, Seçici Katalitik Oksidasyon, Elementel Kükürt

Sayfa Adedi : 95

Danışman : Prof.Dr.Nail YAŞYERLİ

DEVELOPMENT OF CATALYST FOR THE SELECTIVE OXIDATION OF H<sub>2</sub>S TO  
ELEMENTAL SULFUR

(M. Sc. Thesis)

Yusuf CAMBAZ

GAZI UNIVERSITY  
GRADUATE SCHOOL OF NATURAL AND APPLIED SCIENCES

January 2016

ABSTRACT

In recent years, sensitivity to environmental pollution is increased and environmental pollution is the agenda almost every production. One of the most important pollutants that cause environmental pollution is the gas of H<sub>2</sub>S. It is necessary to eliminate H<sub>2</sub>S because it is hazardous for human health and environmental. Also highly corrosive for process equipment. In spite of its adverse effects, sulfur obtained from H<sub>2</sub>S has economical significance for chemical industry. Generally the two processes are used to obtain sulfur from H<sub>2</sub>S. These are Claus Process and MODOP Process. These processes are catalytic process and the catalyst is very important for the reaction yield. In this study, development of Cr and Ce mixed metal oxide catalysts for selective oxidation of H<sub>2</sub>S to elemental sulfur was investigated. These catalysts were synthesized by the complexation method at different molar ratios. Catalysts synthesized in this work were characterized by XRD, EDS, BET measurements. EDS results has shown the metals are placed to desired ratio on the structure. CeO<sub>2</sub> and Cr<sub>2</sub>O<sub>3</sub> peaks are observed in the XRD results. H<sub>2</sub>S selective oxidation to elemental sulfur was investigated in a fixed bed reactor, at 250 °C and O<sub>2</sub>/H<sub>2</sub>S:0,5 feed ratio. The best elemental sulfur yield and H<sub>2</sub>S conversion were obtained from Cr<sub>2,7</sub>Ce<sub>1,3</sub> catalyst. Also this catalyst was prepared co-precipitation method to investigate effect of synthesise technique and reacted same conditions. H<sub>2</sub>S conversion was 18% and sulfur selective was 88%. Also Cr,Ce mixed was supported silica and reacted same conditions. H<sub>2</sub>S conversion was 20% and sulfur selective was over 90%. This work showed, the best activity was obtained from Cr<sub>2,7</sub>Ce<sub>1,3</sub> prepared by complexion method for H<sub>2</sub>S selective catalytic oxidation to elemental sulfur.

Science Code : 912.1.080

Key Words : H<sub>2</sub>S, Selective Catalytic Oxidation, Elemental Sulfur

Page Number : 95

Supervisor : Prof.Dr.Nail YASYERLI

## TEŞEKKÜR

Yüksek lisans çalışmam boyunca, her türlü bilgi ve deneyimini benimle paylaşan ve büyük bir sabırla beni eğiten tez danışmanı hocam Sayın Prof. Dr. Nail YAŞYERLİ ve lisans eğitimimde dahil her konuda bana yardımcı olan Sayın Prof. Dr. Sena YAŞYERLİ hocama en içten dileklerle teşekkürlerimi sunarım.

Tez çalışmam boyunca, kendisi de aşırı derecede yoğun olmasına rağmen, deney çalışmalarım ve tez yazım sürecinde bana eşlik eden Sayın Dr. Mehmet TAŞDEMİR hocama sonsuz teşekkürlerimi sunarım.

Çalışmam boyunca sürekli kendilerini rahatsız ettiğim Sayın Dr. Hüseyin ARBAĞ ve Sayın Dr. Dolunay Dilşad ESLEK KOYUNCU hocalarıma teşekkürlerimi sunarım.

Yüksek lisansın ilk günlerinde yanımda olmaya başlayıp, sonradan aynı evi paylaşmaya başladığım, tüm yüksek lisans çalışmalarım boyunca sürekli yanımda olan, hem maddi hem de manevi desteğiyle bana güç veren hayat arkadaşım Özlem CAMBAZ'a ve sonradan aramıza katılan minik kızım Yasemin Esra CAMBAZ'a sonsuz teşekkürlerimi sunarım.



## İÇİNDEKİLER

	Sayfa
ÖZET .....	iv
ABSTRACT.....	v
TEŞEKKÜR.....	vi
İÇİNDEKİLER .....	vii
ÇİZELGELERİN LİSTESİ.....	ix
ŞEKİLLERİN LİSTESİ.....	x
RESİMLERİN LİSTESİ.....	xiii
SİMGELER VE KISALTMALAR.....	xiv
<b>1. GİRİŞ .....</b>	<b>1</b>
<b>2. KAYNAK ARAŞTIRMASI .....</b>	<b>7</b>
<b>3. DENEYSEL METOT.....</b>	<b>19</b>
3.1. Katalizör Sentezi .....	19
3.1.1. Kompleksleştirme metodu .....	19
3.2. Katalizör Karakterizasyonu .....	22
3.3. Katalizör Aktivite Test Çalışmaları.....	24
<b>4. SONUÇLAR VE DEĞERLENDİRİLMESİ.....</b>	<b>29</b>
4.1. Çalışma Kapsamında Gerçekleşebilecek Reaksiyonlar .....	29
4.2. Reaksiyon Öncesi Yapılan Karakterizasyon Çalışmaları Sonuçları .....	32
4.3. H <sub>2</sub> S'ün Elementel Kükürde Seçici Katalitik Oksidasyon Reaksiyonu Test Çalışmaları ve Reaksiyon Sonrası Karakterizasyonları .....	40
4.3.1. Reaksiyon sonrası katalizörlere ait karakterizasyon çalışmaları.....	46
4.4. Cr <sub>2,7</sub> Ce <sub>1,3</sub> Katalizörünün Farklı Reaksiyon Şartlarındaki Aktivite Testleri.....	49
4.5. Silika Destekli Cr ve Ce Katalizörlerinin Sonuçları ve Değerlendirilmesi .....	53

	<b>Sayfa</b>
4.5.1. Silika destekli Cr ve Ce katalizörlerinin reaksiyon öncesi karakterizasyon çalışmaları sonuçları.....	53
4.5.2. Silika destekli Cr ve Ce katalizörlerinin reaksiyon test çalışmaları ve sonuçları .....	57
<b>5. SONUÇ VE ÖNERİLER.....</b>	<b>61</b>
<b>KAYNAKLAR.....</b>	<b>63</b>
<b>EKLER.....</b>	<b>65</b>
EK-1. Scherrer eşitliği ile tanecik boyutu hesaplanması .....	66
EK-2. FT-IR cihazının çalışma prensibi .....	67
EK-3. Reaksiyon sonrası FTIR analizinde gözlenen H <sub>2</sub> S, SO <sub>2</sub> ve H <sub>2</sub> O bileşiklerine ait örnek FTIR pikleri .....	70
EK-4. H <sub>2</sub> S ve SO <sub>2</sub> gazlarının kalibrasyon grafikleri .....	73
EK-5. Katalizörlerin H <sub>2</sub> S, SO <sub>2</sub> ve H <sub>2</sub> O çıkış konsantrasyonları grafikleri .....	74
EK-6. Katalizörlerin XRD sonuçlarının literatür verileri ile karşılaştırılması.....	81
EK-7. Katalizörlerin EDS grafikleri.....	87
<b>ÖZGEÇMİŞ.....</b>	<b>95</b>

## ÇİZELGELERİN LİSTESİ

<b>Çizelge</b>	<b>Sayfa</b>
Çizelge 2.1. Literatürde H <sub>2</sub> S'ün seçici katalitik oksidasyon reaksiyonuyla ilgili yapılan çalışmalar .....	13
Çizelge 3.1. Kompleksleştirme metodu ile sentezlenen katalizörlerin sentez şartları ....	21
Çizelge 3.2. Sentezlenen katalizörler, sentez metodu ve reaksiyon öncesi yapılan karakterizasyon çalışmaları.....	22
Çizelge 3.3. Reaksiyon sonucunda görülmesi muhtemel gazların dalga boyları.....	27
Çizelge 4.1. Kompleksleştirme yöntemi ile sentezlenen Cr ve Cr-Ce karışık metal oksit katalizörlerinin EDS ve BET sonuçları.....	33
Çizelge 4.2. Cr-O katalizöründeki ve literatürdeki Cr <sub>2</sub> O <sub>3</sub> pikleri .....	35
Çizelge 4.3. Reaksiyon sonrası Cr <sub>2,7</sub> Ce <sub>1,3</sub> katalizörünün EDS ve BET sonuçları .....	47
Çizelge 4.4. Reaksiyon sonrası Cr-O katalizörünün EDS ve BET sonuçları .....	48
Çizelge 4.5. Silika destekli Cr ve Ce katalizörlerinin EDS ve BET sonuçları .....	54

## ŞEKİLLERİN LİSTESİ

Şekil	Sayfa
Şekil 1.1. Claus Prosesi 1.basamağın şematik gösterimi .....	2
Şekil 1.2. Claus Prosesi 2.basamağın şematik gösterimi .....	3
Şekil 1.3. Super Claus Prosesi'nin şematik gösterimi .....	4
Şekil 3.1. Kompleksleştirme yönteminin sentez basamakları .....	21
Şekil 3.2. H <sub>2</sub> S'ün elementel kükürde seçici katalitik oksidasyon reaksiyonunun gerçekleştirildiği deney sistemi.....	25
Şekil 4.1. Claus katalitik reaksiyonu için denge dönüşüm-sıcaklığı grafiği (n=6 ve n=8 için) .....	31
Şekil 4.2. H <sub>2</sub> S'ün elementel kükürde seçici katalitik oksidasyon reaksiyonu için denge dönüşüm-sıcaklık grafiği (n=6 için) .....	32
Şekil 4.3. Aktivite testi öncesi Cr-O katalizörünün XRD sonuçları .....	34
Şekil 4.4. Aktivite testi öncesi Cr <sub>3</sub> Ce katalizörünün XRD sonuçları .....	36
Şekil 4.5. Aktivite testi öncesi Cr <sub>2,7</sub> Ce <sub>1,3</sub> katalizörünün XRD sonuçları .....	37
Şekil 4.6. Aktivite testi öncesi Cr <sub>2</sub> Ce <sub>2</sub> katalizörünün XRD sonuçları .....	38
Şekil 4.7. Aktivite testi öncesi Cr <sub>2</sub> Ce <sub>2</sub> -EA katalizörünün XRD sonuçları .....	39
Şekil 4.8. Kompleksleştirme yöntemiyle hazırlanan Cr-Ce-O katalizörleri ile elde edilen H <sub>2</sub> S dönüşümlerinin zamanla değişimi .....	41
Şekil 4.9. Kompleksleştirme yöntemiyle hazırlanan Cr-Ce-O katalizörleri ile elde edilen kükürt seçiciliklerinin zamanla değişimi ( 250 °C, O <sub>2</sub> /H <sub>2</sub> S=0,5).....	42
Şekil 4.10. Kompleksleştirme yöntemiyle hazırlanan Cr-Ce-O katalizörleri ile elde edilen H <sub>2</sub> S dönüşümü ve kükürt seçicilikleri (250 °C, O <sub>2</sub> /H <sub>2</sub> S=0,5) .....	43
Şekil 4.11. Kompleksleştirme ve birlikte çöktürme yöntemiyle hazırlanan Cr <sub>2,7</sub> Ce <sub>1,3</sub> katalizörü ile elde edilen H <sub>2</sub> S dönüşümlerinin zamanla değişimi (250 °C, O <sub>2</sub> /H <sub>2</sub> S=0,5).....	44
Şekil 4.12. Kompleksleştirme ve birlikte çöktürme yöntemiyle hazırlanan Cr <sub>2,7</sub> Ce <sub>1,3</sub> katalizörü ile elde edilen kükürt seçiciliklerinin zamanla değişimi (250 °C, O <sub>2</sub> /H <sub>2</sub> S=0,5).....	45

<b>Şekil</b>	<b>Sayfa</b>
Şekil 4.13. Kompleksleştirme ve birlikte çöktürme yöntemiyle hazırlanan Cr <sub>2,7</sub> Ce <sub>1,3</sub> katalizörü ile elde edilen H <sub>2</sub> S dönüşüm ve kükürt seçicilikleri ( 250 °C, O <sub>2</sub> /H <sub>2</sub> S=0,5).....	46
Şekil 4.14. Reaksiyon öncesi ve sonrası Cr <sub>2,7</sub> Ce <sub>1,3</sub> katalizörünün XRD sonuçlarının karşılaştırılması .....	47
Şekil 4.15. Reaksiyon öncesi ve sonrası Cr-O katalizörünün XRD sonuçlarının karşılaştırılması .....	48
Şekil 4.16. Cr <sub>2,7</sub> Ce <sub>1,3</sub> katalizörünün farklı sıcaklıklardaki H <sub>2</sub> S dönüşüm grafiği .....	49
Şekil 4.17. Cr <sub>2,7</sub> Ce <sub>1,3</sub> katalizörünün farklı sıcaklıklardaki kükürt seçiciliklerinin grafiği .....	50
Şekil 4.18. Kompleksleştirme yöntemiyle hazırlanan Cr <sub>2,7</sub> Ce <sub>1,3</sub> katalizörünün farklı sıcaklıklardaki H <sub>2</sub> S dönüşüm ve kükürt seçicilikleri (O <sub>2</sub> /H <sub>2</sub> S=0,5) .....	50
Şekil 4.19. Cr <sub>2,7</sub> Ce <sub>1,3</sub> katalizörünün farklı gaz karışımlarındaki H <sub>2</sub> S dönüşüm grafiği (250 °C sıcaklık) .....	51
Şekil 4.20. Cr <sub>2,7</sub> Ce <sub>1,3</sub> katalizörünün farklı gaz karışımlarındaki kükürt seçiciliklerinin grafiği (250 °C sıcaklık) .....	52
Şekil 4.21. Kompleksleştirme yöntemiyle hazırlanan Cr <sub>2,7</sub> Ce <sub>1,3</sub> katalizörünün farklı besleme oranlarındaki H <sub>2</sub> S dönüşüm ve kükürt seçicilikleri (250 °C sıcaklık) .....	53
Şekil 4.22. Aktivite testi öncesi Cr@SiO <sub>2</sub> katalizörünün XRD sonuçları .....	55
Şekil 4.23. Aktivite testi öncesi Cr@MCM-41 katalizörünün XRD sonuçları .....	55
Şekil 4.24. Aktivite testi öncesi Cr <sub>2,7</sub> Ce <sub>1,3</sub> -SiO <sub>2</sub> katalizörünün XRD sonuçları .....	56
Şekil 4.25. SiO <sub>2</sub> destekli Cr ve Ce katalizörlerinin H <sub>2</sub> S dönüşümlerinin zamanla değişimi (250 °C, O <sub>2</sub> /H <sub>2</sub> S=0,5) .....	58
Şekil 4.26. SiO <sub>2</sub> destekli Cr ve Ce katalizörlerinin kükürt seçiciliklerinin zamanla değişimi (250 °C, O <sub>2</sub> /H <sub>2</sub> S=0,5) .....	59
Şekil 4.27. SiO <sub>2</sub> destekli Cr-Ce katalizörlerinin H <sub>2</sub> S dönüşüm ve kükürt seçicilikleri (250 °C, O <sub>2</sub> /H <sub>2</sub> S=0,5) .....	60

**RESİMLERİN LİSTESİ****Resim****Sayfa**

Resim 4.1. Emdirme yöntemiyle hazırlanan destekli katalizörlerin SEM görüntüleri .. 57

## SİMGELER VE KISALTMALAR

Bu çalışmada kullanılmış simgeler ve kısaltmalar, açıklamaları ile birlikte aşağıda sunulmuştur.

### Simgeler

### Açıklamalar

$\lambda$	X-ışını dalga boyu, Å
$\theta$	Işıma Açısı, derece
$d$	Düzlemler arası uzaklık, Å

### Kısaltmalar

### Açıklamalar

<b>XRD</b>	X-Işını Kırınım Difraktometresi
<b>BET</b>	Brunauer-Emmett-Teller
<b>EDS</b>	Enerji Dispersif X-Işını Spektroskopisi
<b>SEM</b>	Taramalı Elektron Mikroskobu
<b>XPS</b>	X-Işını Fotoelektron Spektroskopisi
<b>TPR</b>	Sıcaklık Programlı İndirgenme
<b>FT-IR</b>	Fourier Transform Infrared Spektroskopisi

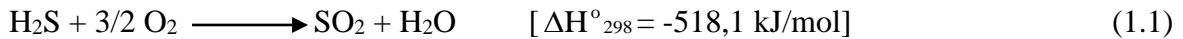
## 1. GİRİŞ

Mühendislik bilimi için kaliteli ürünün en düşük maliyetle elde edilmesi sloganı son yıllarda en kaliteli ürünün en düşük maliyetle çevreye en az zarar verecek şekilde elde edilmesi olarak değişmeye başladı. Çünkü günümüzde çevreye duyarlılık artmış ve giderek de artmaya devam etmektedir. Hemen hemen her üretimin gündemi çevre kirliliği olmaktadır. Çevre kirliliğine sebep olan ve üretim sonucu açığa çıkan gazlardan biri de Hidrojen Sülfür (H<sub>2</sub>S) gazıdır. H<sub>2</sub>S, petrol rafinerileri ve doğal gaz ünitelerinde açığa çıkan asit gazı içerisinde bulunan, çürük yumurta kokulu, zehirli bir gazdır. Yüksek toksik özelliğe sahip olan bu gaz hem çevreye, hem insan sağlığına hem de ekipmanlara zarar verdiği için giderilmesi gereken bir gazdır. Zararlarından dolayı mutlaka giderilmesi gereken H<sub>2</sub>S gazından elementel kükürt elde edilerek zararlı bir gazın yararlı bir hale getirilmesi önemlidir.

H<sub>2</sub>S gazından elementel kükürt elde etmekte kullanılan en genel proses Claus Prosesi'dir. Claus Prosesi 19.yy'da İngiltere'de H<sub>2</sub>S gazından elementel kükürt elde etmek için kullanılmaya başlanmıştır [1]. 1950'li yıllarda bu proses modifiye edilmeye başlanmış ve günümüzde de bu çalışmalar devam etmiştir. Claus Prosesi H<sub>2</sub>S gazını iki basamaklı reaksiyon sistemi ile gidermektedir.

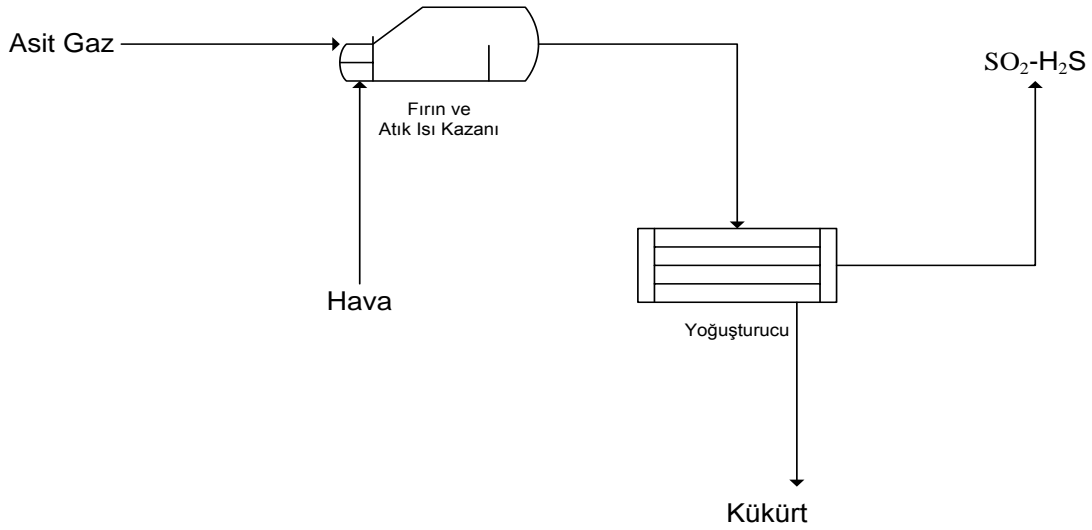
### 1.Basamak: Termal oksidasyon

Bu basamakta H<sub>2</sub>S gazı yüksek sıcaklıkta (yaklaşık 1000 °C) oksijen ile yakılır. Burada H<sub>2</sub>S gazının büyük bir kısmı Kükürt Dioksit (SO<sub>2</sub>) gazına dönüşür (Şekil 1.1).



H<sub>2</sub>S, asit gaz denilen karışımda bulunduğu için içerisinde hidrokarbon ve amonyak bileşikleri de bulunabilmektedir. Bu nedenle termal oksidasyon reaksiyonu ekzotermiktir. Yanma sonrasında oluşan ürünler bir yoğuşturucu içerisine alınarak proses sonucunda oluşacak elementel kükürtün yaklaşık %60'ı bu basamakta yoğuşturucudan ayrılır. Yoğuşturucudan çıkan SO<sub>2</sub> ve H<sub>2</sub>S gaz karışımı Katalitik Reaksiyon basamağına gitmektedir.

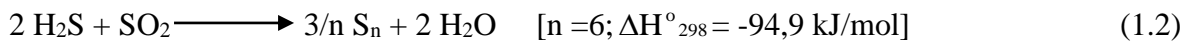




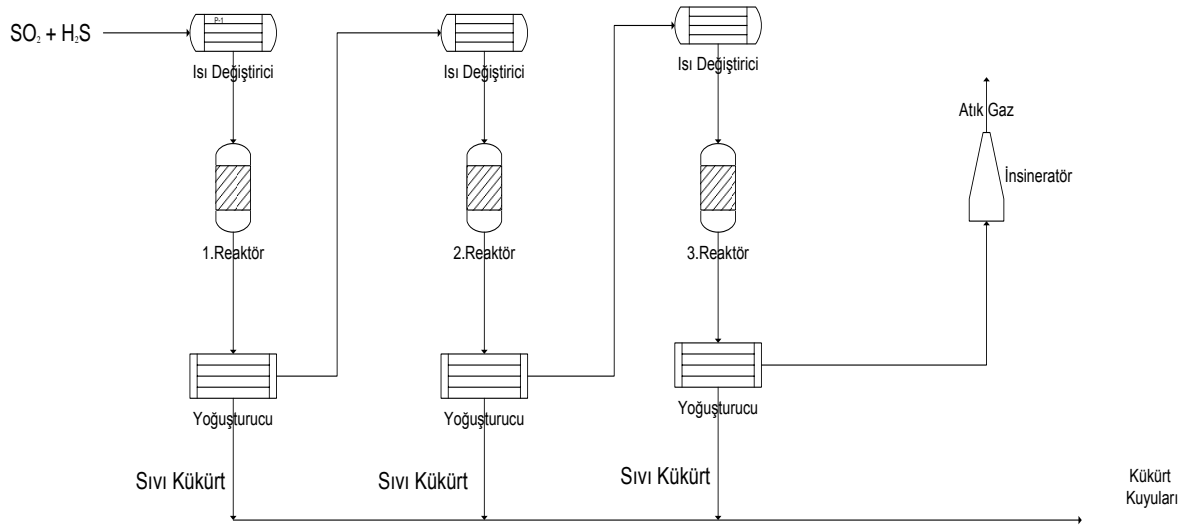
Şekil 1.1. Claus Prosesi 1.Basamağın Şematik Gösterimi

## 2.Basamak: Katalitik reaksiyon

Termal Oksidasyon ürünü olarak gelen gaz karışımı yoğuşturucudan çıktıktan sonra yaklaşık 240 °C'ye kadar ısıtılır ve katalitik reaktöre gönderilir. Reaktörde katalizör yardımıyla H<sub>2</sub>S gazı SO<sub>2</sub> gazı reaksiyona girerek elementel kükürt elde edilir. Burada oluşan elementel kükürt yine reaktör sonrasında yoğuşturucu yardımıyla alınmaktadır. Kalan karışım ise insineratör denilen fırınlarda yakılarak SO<sub>2</sub> gazı olarak atmosfere atılır (Şekil 1.2).



Elementel kükürt verimini artırmak için katalitik reaktör ve yoğuşturucu sayısı artırılmaktadır. Genelde gaz içeriğine bağlı olarak iki ya da üç adet reaktör kullanılmaktadır. İki reaktörlü sistemlerde H<sub>2</sub>S dönüşümü yaklaşık %90'larda iken üç reaktörlü sistemlerde %97'lere çıkmaktadır [2].



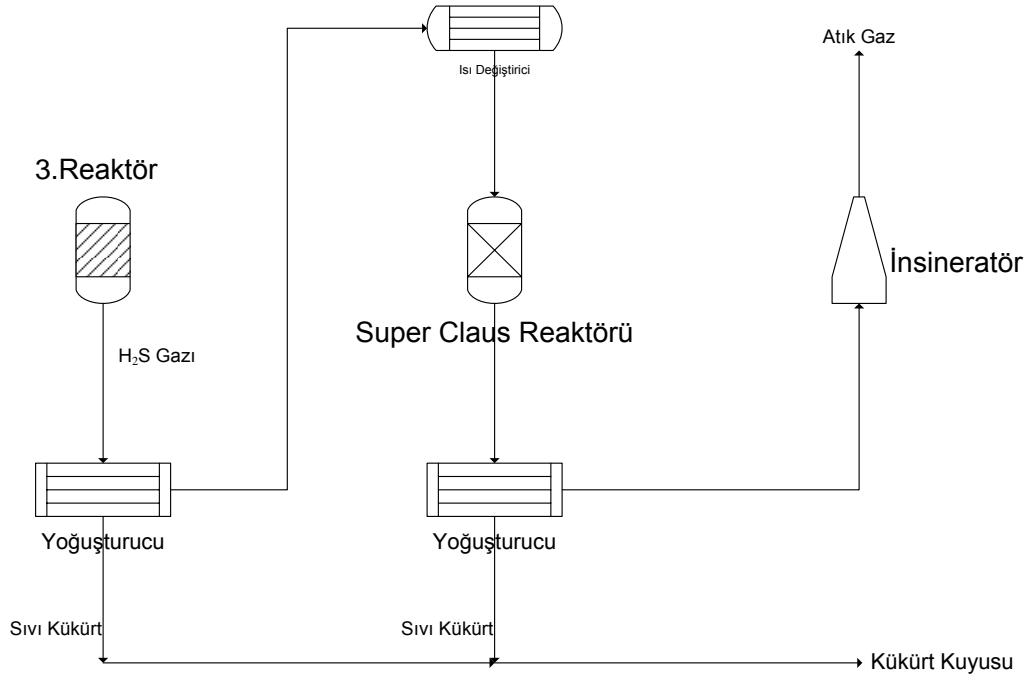
Şekil 1.2. Claus Prosesi 2.Basamağın Şematik Gösterimi

Claus Prosesi'nin termal oksidasyon kısmında herhangi bir kısıtlama yokken katalitik oksidasyon kısmında termodinamik sınırlamalar söz konusudur. Bu yüzden H<sub>2</sub>S gazı tamamen giderilememektedir. Çevre mevzuatında yasal sınırlamaların her geçen gün değişmesi ve çevre kirliliğine verilen önemin artmasıyla Claus Prosesinde birtakım değişiklikler yapılarak çevreye atılan gaz miktarı minimuma düşürülmeye çalışılmıştır. Bu çalışmalar kapsamında insineratöre gönderilen gaz karışımının 'SuperClaus' olarak adlandırılan proste tekrar reaksiyona girmesi sağlanmıştır. SuperClaus Prosesi, H<sub>2</sub>S gazının seçici katalitik oksidasyonu ile elementel kükürtün elde edildiği bir prostedir. Bu prosesin diğerlerinden farkı seçici bir katalizöre sahip olmasıdır. Seçici katalizör sayesinde termodinamik sınırlamalar ortadan kaldırılmakta H<sub>2</sub>S gazının tamamına yakını giderilmektedir.

H<sub>2</sub>S'ün seçici katalitik oksidasyonu ile elementel kükürt eldesi;

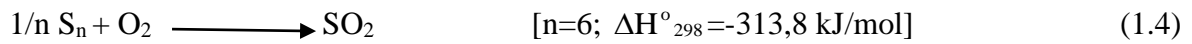


Katalitik Reaksiyon basamağından ayrılan gaz karışımı yoğuşturucuda elementel kükürdünü bıraktıktan sonra ısıtılarak SuperClaus Reaktörüne girer. Gaz karışımında kalan H<sub>2</sub>S gazı seçici bir katalizör yardımıyla elementel kükürde dönüşür (Şekil 1.3). Bu reaktör sayesinde yüksek kükürt geri kazanımı sağlanırken H<sub>2</sub>S gazının tamamına yakını giderilmiş olur.



Şekil 1.3. Super Claus Prosesinin Şematik Gösterimi

H<sub>2</sub>S'ün seçici katalitik oksidasyonu ile elementel kükürt elde edilmesinde termodinamik kısıtlamalar yoktur fakat bazı yan reaksiyonların oluşma ihtimali vardır. Bu yan reaksiyonlar, kükürdün oksidasyonu (Eşitlik 1.4) ve H<sub>2</sub>S gazının aşırı oksidasyonudur (Eşitlik 1.5).



Bu yan reaksiyonlar kükürt oluşumunu azaltırken, SO<sub>2</sub> gazı açığa çıkararak da emisyon değerinin artmasına sebep olmaktadır. Yan reaksiyon oluşumuna engel olup kükürt verimini artırmak için SuperClaus reaktöründe kullanılan katalizörün seçiciliği, kararlılığı ve aktifliği yüksek olmalıdır. Kullanılan katalizörün öneminin büyük olmasından dolayı yapılan çalışmalar H<sub>2</sub>S gazının seçici katalitik oksidasyonu ile elementel kükürt eldesi için katalizör geliştirilmesi yönünde yoğunlaşmıştır.

Literatür araştırması sonucunda birçok metal oksidin H<sub>2</sub>S'ün seçici katalitik oksidasyonunda katalizör olarak kullanıldığı tespit edilmiştir. Yapılan çalışmalarda

kullanılacak katalizörün, termal ve kimyasal kararlılık göstermesi, asidik karakter taşıması, redoks özelliğinin olması aktiviteyi olumlu yönde etkilediği ifade edilmiştir [3].

Bu çalışmada, H<sub>2</sub>S'ün seçici katalitik oksidasyon reaksiyonunda kullanılmak üzere kompleksleştirme yöntemiyle krom (Cr) ve seryum (Ce) içeren metal oksit katalizörleri farklı molar oranlarda karıştırılarak sentezlenmiştir. Sentezlenen katalizörlerin bazı fiziksel ve yapısal özelliklerinin belirlenmesi için X-Işını kırınım deseni (XRD), Taramalı elektron mikroskobu (SEM), enerji dispersif X-Işını spektroskopisi (EDS), Brunauer, Emmett ve Teller (BET) yüzey alanı analizleri gerçekleştirilmiştir. Karakterizasyon çalışmaları gerçekleştirilen katalizörlerin H<sub>2</sub>S'ün elementel kükürde seçici katalitik oksidasyon reaksiyonundaki aktivitelerinin belirlenmesi için 250°C ve O<sub>2</sub>/H<sub>2</sub>S: 0,5 gaz karışımında reaksiyon test çalışmaları gerçekleştirilmiştir. Bu şartlarda en iyi aktiviteyi gösteren katalizör farklı sıcaklık ve gaz karışımlarında test edilmiştir. Katalizör sentez metodunun etkisini incelemek için yine en yüksek aktiviteyi gösteren katalizörün birlikte çöktürme yöntemi ile sentezlenen katalizörün aktivitesi araştırılmıştır. Katalizörlerin aktivite sonuçlarının yorumlanabilmesi için reaksiyon sonrası karakterizasyon çalışmaları gerçekleştirilmiştir. Ayrıca destek maddesinin aktiviteye etkisini görmek için de Cr metalinin SiO<sub>2</sub> ve MCM-41 destek maddelerine emdirilmesi ile elde edilen katalizörlerin reaksiyon testleri gerçekleştirilmiştir.



## 2. KAYNAK ARAŞTIRMASI

Kaynak araştırması bölümünde, literatürde H<sub>2</sub>S'ün elementel kükürde seçici katalitik oksidasyon reaksiyonu için gerçekleştirilen çalışmalar incelenmiş ve özetler halinde sunulmuştur.

Zhang ve arkadaşlarının yaptığı çalışmada ıslak emdirme yöntemi ile H<sub>2</sub>S'ün elementel kükürde dönüşümü için alümina katkılı demir oksit laponite killeri hazırlanmıştır. Çeşitli karakterizasyon yöntemleri ile katalizörlerin morfolojik yapıları incelenmiştir. Katalitik testlerde gaz akış hızı 200ml/dk, giriş kompozisyonu; H<sub>2</sub>S/O<sub>2</sub>/N<sub>2</sub>= 5/2,5/92,5 ve sıcaklık 120 ile 200 °C arasında ayarlanmış ve katalizördeki demir miktarının etkisi araştırılmıştır. Sonuçlar gaz kromatografî cihazında incelenmiştir. Bu çalışmada sıcaklık arttıkça H<sub>2</sub>S dönüşümü artmıştır. 180°C'de ve O<sub>2</sub>/H<sub>2</sub>S=0,5 şartlarında H<sub>2</sub>S dönüşümü %96, kükürt seçiciliği %95 olmuştur. Aynı zamanda demir yüklemesi yaptıkça da dönüşüm artmış ancak %8'den sonra düşmeye başlamıştır. En iyi kükürt verimi de 180°C'de %7 Fe içerikli katalizörde elde edilmiştir. O<sub>2</sub>/H<sub>2</sub>S oranı artırılması ise kükürt seçiciliğini düşürmüştür [4].

Bineesh ve arkadaşlarının gerçekleştirdiği bir çalışmada Al destekli vanadyum katalizörleri sentezlenmiştir. Hazırlanan Al malzemesinin üzerine vanadyum kütlece %3-6-8 ve 12 olacak şekilde emdirme metoduyla yüklenmiştir. Reaksiyon için sabit yatak reaktörü kullanılmıştır. Gaz akış hızı 100 ml/dk, giriş kompozisyonu; H<sub>2</sub>S/O<sub>2</sub>/He=5/2,5/92,5 olarak ayarlanmıştır. Reaksiyon test çalışmalarında 0,4 gr katalizör kullanılmış ve 220-300 °C sıcaklıkta çalışılmıştır. Aktivite üzerine sıcaklığın, vanadyum miktarının, su buharı varlığının ve GHSV (Gas Hourly Space Velocity)'nin etkisi araştırılmıştır. Sonuçlar gaz kromatograf cihazında incelenmiştir. Tüm katalizörlerde sıcaklık arttıkça H<sub>2</sub>S dönüşümü artmıştır. %3 ve %6'lık Vanadyum yüklemesinde de dönüşüm artmıştır ancak %8 ve %12'lik yüklemelerde ise düşmüştür. 300 °C'de %6'lık Vanadyum içeren katalizörde GHSV 10000 h<sup>-1</sup>'den 16000 h<sup>-1</sup>'e çıkarıldığında H<sub>2</sub>S dönüşümü düşmüş, kükürt seçiciliği sabit kalmıştır. %20'lik su buharı varlığı ise H<sub>2</sub>S dönüşümünü düşürmüştür [5].

Fang ve arkadaşlarının yaptığı çalışmada aktif karbonla desteklenmiş metal oksitlerin performansı incelenmiştir. Aktif karbon (AC) üzerine mangan (Mn), bakır (Cu), demir (Fe), seryum (Ce), kobalt (Co) ve vanadyum (V) metalleri emdirme metoduyla

sentezlenmiştir. Reaksiyonda dikey sabit yatak reaktörü kullanılmıştır. Giriş gazı olarak 3000ppm'lik H<sub>2</sub>S gazı, H<sub>2</sub>S/O<sub>2</sub>= 1/1 olacak şekilde kullanılmıştır. Akış hızı 30 ml/dk ve sıcaklık 180 °C ayarlanmıştır. Sonuçlar gaz kromatograf cihazında incelenmiştir. En iyi aktivite ve seçiciliği Mn/AC katalizörü göstermiştir. Aktivite sıralaması; Mn/AC, Cu/AC, Fe/AC, Ce/AC, Co/AC, V/AC olmuştur [6].

Carmona ve arkadaşlarının yaptığı çalışmada demir içerikli SBA-15 katalizörü sentezlenmiştir. Değişik demir oranları içeren (Si/Fe; 5-40) katalizörün aktiviteleri araştırılmıştır. Katalitik test atmosferik basınçta sabit yatak reaktörde gerçekleştirilmiştir. Reaksiyon için 0,2 gr katalizör kullanılmış, gaz giriş kompozisyonları da H<sub>2</sub>S/hava/He= 1,2/5/93,8 olacak şekilde ayarlanmıştır. Sıcaklık 200 °C, gaz akış hızı 130 ml/dk olarak belirlenmiştir. Reaktörden çıkan gaz akımı gaz kromatograf cihazında incelenmiştir. Reaksiyonun ilk 150 dakikasında H<sub>2</sub>S dönüşümü düşmektedir. Daha sonra demir eklemesiyle de birlikte dönüşüm artmıştır. Demir oranı %10 olduğunda kükürt seçiciliği %100'e ulaşmıştır. Daha fazla Fe eklenmesinde H<sub>2</sub>S dönüşümünün düştüğü gözlenmiştir [7].

Bineesh ve arkadaşları su buharı ve amonyak içeren gaz karışımında H<sub>2</sub>S'ün elementel kükürde ve amonyum tiyosülfata dönüşümü V/Zr-PILC (Sütunlu kil) katalizörlüğünde incelenmiştir. Değişik oranlarda vanadyum eklemesinin H<sub>2</sub>S dönüşümüne etkisi araştırılmıştır. Reaksiyon testi sürekli akışlı sabit yataklı reaktörde gerçekleştirilmiştir. Sıcaklık 280 °C, giriş kompozisyonu hacmen H<sub>2</sub>S/O<sub>2</sub>/NH<sub>3</sub>/H<sub>2</sub>O/He=5/2,5/5/20/67,5 olarak ayarlanmıştır. Sonuçlar gaz kromatograf cihazında incelenmiştir. V//Zr-PILC katalizörü H<sub>2</sub>S oksidasyonu için iyi bir katalitik performans göstermiştir. İlk iki saatten sonra kararlı aktivite sağlamıştır ve sıfır SO<sub>2</sub> emisyonu gözlenmiştir. H<sub>2</sub>S dönüşümü %2 ve %6 V eklemesi ile artmıştır. Fakat %11 ve %14'e düşmüştür. Tüm bunlarla birlikte H<sub>2</sub>S başarılı bir şekilde elementel kükürde ve amonyumtiyosülfata dönüşmüştür [8].

Ledoux ve arkadaşları ıslak emdirme metodu ile SiC destekli NiS<sub>2</sub> katalizörü hazırlamışlardır. Bu katalizör ile H<sub>2</sub>S'ün elementel kükürde sabit yataklı reaktörde ve düşük sıcaklıklarda (40-60 °C) direkt reaksiyonunda yüksek aktivite ve seçicilik elde edilmiştir. Destek yüzeyinin heterojen doğası yüksek ve istikrarlı bir H<sub>2</sub>S dönüşüm seviyesini korumak için suyun oynadığı önemli rol açıklanmıştır. Katalizör, yüzeyindeki kükürt

birikimine rağmen  $H_2S$  dönüşümünde azalma göstermemiştir. Düşük sıcaklıklarda  $SiC/NiS_2$  katalizörü seçici ve kararlı bulunmuştur [9].

Shin ve arkadaşları, vanadyum temelli ikili ve çoklu metal oksitlerini birlikte çöktürme yoluyla hazırlanmışlardır. Reaksiyon testini dolgu reaktörde gerçekleştirmişlerdir. 250 °C'de  $BiVO_x$ ,  $TiVO_x$  ve  $ZrV_2O_7$ 'den kararlı ve gelişmiş bir aktivite elde edilmiştir. Ancak bu katalizörlerden sadece  $TiVO_x$  250 °C'nin altında aktivite göstermiş ve  $H_2S$  dönüşümü %86 olmuştur. En yüksek aktiviteyi  $VO_x/TiO_2$ ; Fe, Mo ve Cr ile hazırlanan multimetallik katalizörde elde edilmiştir. Bu katalizördeki  $H_2S$  dönüşümü %90 olarak hesaplanmıştır.  $VO_x/SiO_2$ ,  $VO_x/TiO_2$  ve  $V-Fe-Cr-Mo-O_x/TiO_2$  katalizörlerinin redox tanımlamaları TPR-TPO (sıcak programlı indirgeme), mikrobals ve XPS (X-ışını fotoelektron spektroskopisi) teknikleri ile incelenmiştir [10].

Chun ve arkadaşları,  $H_2S$ 'ün elementel kükürde seçici oksidasyonu için  $TiO_2/SiO_2$  katalizörünü sentezlemişler. Reaksiyon testini sabit yatak reaktör kullanarak gerçekleştirmişlerdir.  $TiO_2$ , sülfatlaşma ve sülfüdeasyonda iyi direnç sağlamıştır. Düşük sıcaklıkta katalizörün deaktivasyonu, katalizör yüzeyindeki kükürtün çığlenmesi sonucu oluşmuştur ve bu da  $H_2S$ 'ün dönüşümünü azaltmıştır.  $O_2/H_2S$  oranında 0,5'ten 4'e doğru artış olduğunda dönüşüm artmış ancak seçicilik düşmüştür. Su buharının varlığında ise hem seçicilik hem de dönüşüm azalmıştır [11].

Uhm ve arkadaşları,  $SiO_2$  destekli  $CrO_x$  ve  $CrO_x$  katalizörleri emdirme yoluyla sentezlenmiştir. Reaksiyon testi dolgu reaktörde gerçekleştirilmiş, sonuçlar gaz kromatografında analiz edilmiştir.  $O_2/H_2S$  oranı 0,5 olduğunda maksimum kükürt verimi elde edilmiştir. Amorf yapıdaki  $Cr_2O_3$  ile  $Cr/SiO_2$ 'ye göre özellikle düşük sıcaklıkta yüksek kükürt verimi elde edilmiştir ve suya karşı güçlü direnç sağlamıştır. 300 °C'nin üstünde destekli katalizörlerin kükürt verimi amorf  $Cr_2O_3$  ile benzer olduğu tespit edilmiştir. Bunun sebebinin Claus reaksiyonunda silika destekli katalizörlerin  $SO_2$ 'in uzaklaştırıp kükürt verimini artırması olarak açıklamışlardır [12].

Bineesh ve arkadaşları, V/Ti – PILCS (Sütunlu Kil) katalizörünün performansını çeşitli vanadyum miktarları ekleyerek test etmişlerdir. V/Ti – PILCS'in katalitik performansı 220-300 °C arasında  $SO_2$  emisyonu dikkate alınmadığı zaman Ti-PILCS'den fazla olduğu görülmüştür.  $H_2S$ 'ün V/Ti – PILCS katalizörü varlığındaki dönüşümü vanadyum içeriği



artıkça %5'e kadar artmıştır. Bu katalitik performansın monomerik ve polimerik yapıdaki vanadyumun düzgün yayılması ile ilgili olduğu düşünülmektedir. Bununla birlikte kristal  $V_2O_5$ 'in faz oluşumu ve yüzey alanının azalması nedeniyle ağırlıkça %10 vanadyum yüklemesinde performans düşmüştür. Gaz karışımında su buharının olması  $H_2S$ 'ün dönüşümünde azalmaya sebep olduğu da raporlanmıştır [13].

Shin ve arkadaşları, titanyumun diğer metallerle metal oksit kompleksi oluşturduğu ve destek maddesi olarak kullanıldığı çalışmada gaz karışımında su buharı varken sentezlenmiş katalizörlerin  $250^\circ C$ 'un altındaki sıcaklıklarda seçici oksidasyon reaksiyonundaki aktivitesini incelemişlerdir. Yapılan reaksiyon testi için dolgulu reaktör kolonu kullanılmıştır. Gerçekleştirilen deneysel çalışmalar sonucunda diğer vanadyumlu metal oksit katalizörlere göre ( $ZrV_2O_7$ ,  $MnVO_x$ ,  $CeVO_x$ ,  $FeVO_x$ ,  $CrVO_x$ )  $TiVO_x$  katalizörünün  $230^\circ C$  sıcaklıkta deaktive olmadan aktivitesini koruyan tek katalizör olduğu belirtilmiştir. En iyi katalitik aktiviteyi (% 90) Fe, Cr ve Mo metalleri ilave edilen  $VO_x/TiO_2$  ( $V-Fe-Cr-Mo-O_x/TiO_2$ ) katalizörünün gösterdiği ifade edilmiştir. Ayrıca, TPR/TPO ve XPS analizleri sonucunda katalizörlerin katalitik aktivitelerinin redoks özellikleriyle doğrudan ilgili olduğu belirtilmiştir [14].

Eslek ve arkadaşları, kompleksleştirme yoluyla saf  $Fe_2O_3$  ve farklı molar oranlarda Fe/Ce katalizörleri sentezlenmiştir.  $250^\circ C$  sıcaklık ve  $O_2/H_2S=0,5$  şartlarında gerçekleştirilen çalışmalarda eşmolar oranda sentezlenmiş olan Fe/Ce katalizörünün % 100  $H_2S$  dönüşümü ve % 99 elementel kükürt seçiciliği sergilediği ifade edilmiştir.  $Fe_2O_3$  katalizörünün literatürde de belirtildiği gibi hızlı bir aktivite kaybına uğradığı ve yine düşük elementel kükürt seçiciliği sergilediği gözlenmiştir. Demir oksit katalizörünün yapısına seryumun ilavesinin katalizörün kararlılığını ve kükürt seçiciliğini artırdığı tespit edilmiştir. Bunun yanı sıra seryum ilavesinin katalizörün redoks özelliğini önemli ölçüde geliştirdiği belirtilmiştir [3].

Kim ve arkadaşları,  $TiO_2$ 'i destek olarak kullanmış ve  $VO_x/TiO_2$  katalizörünü çöktürme-biriktirme ve emdirme yöntemleriyle sentezlemişlerdir. Destek  $TiO_2$  sol-jel metodu kullanılarak hazırlanmıştır. Reaksiyon gaz karışımında  $H_2S$  ve  $O_2$ 'nin dışında  $NH_3$  ve su buharının da bulunduğu çalışmada reaksiyon sıcaklığı olarak  $260^\circ C$  seçilmiştir. Hazırlanan bütün katalizörlerde  $TiO_2$  destek üzerine vanadyumun iyi bir şekilde dağıldığı ifade edilmiştir. Bunun yanı sıra, bütün katalizörler yüksek  $H_2S$  dönüşümü sergilerken

herhangi bir şekilde SO<sub>2</sub> oluşumu gözlenmediği belirtilmiştir. Emdirme metoduyla kıyaslandığında çöktürme–biriktirme yöntemiyle hazırlanan katalizörler daha yüksek H<sub>2</sub>S dönüşümü sergilemişlerdir [15].

Yaşyerli ve arkadaşları H<sub>2</sub>S'ün elementel kükürde seçici oksidasyonu için farklı oranlarda Ce-V ve CeO<sub>2</sub> metal oksit katalizörlerini kompleksleştirme yöntemi ile sentezlemişler ve sabit yatak reaktörde çalışmışlardır. Reaksiyon testleri, O<sub>2</sub>/H<sub>2</sub>S oranının 0-2,7 arasında ve sıcaklığın 200-300 °C arasında değiştiği durumlarda gerçekleştirilmiştir. En yüksek verim O<sub>2</sub>/H<sub>2</sub>S:0,5 oranında ve 250 °C sıcaklıkta, Ce/V oranının 1 olduğu Ce<sub>2</sub>V<sub>2</sub> katalizöründen elde edilmiştir. O<sub>2</sub>/H<sub>2</sub>S oranı 0,5'in üzerine çıktığında elementel kükürt seçiciliğinin düştüğü gözlenmiştir. Saf CeO<sub>2</sub> katalizörünün yüzeyinde kükürt birikmesinin aktiviteyi düşürdüğü tespit edilmiştir. Vanadyum eklemesinin ise düşük sıcaklıklarda seryumun redoks özelliğini geliştirdiği gözlenmiştir [16].

Kalinkin ve arkadaşları, TiO<sub>2</sub>'in destek maddesi olarak kullanıldığı bir başka çalışmada vanadyum metalinin kullanıldığı V<sub>2</sub>O<sub>5</sub>/Al<sub>2</sub>O<sub>3</sub>, V<sub>2</sub>O<sub>5</sub>/TiO<sub>2</sub>, V<sub>2</sub>O<sub>5</sub>/SiO<sub>2</sub> ve V<sub>2</sub>O<sub>5</sub>/Al<sub>2</sub>O<sub>3</sub>/TiO<sub>2</sub> katalizörleri emdirme metoduyla sentezlemişlerdir. Farklı metal yüzdelere içeren katalizörler 100-200°C sıcaklık aralığında ve farklı O<sub>2</sub>/H<sub>2</sub>S (4-5) oranlarında H<sub>2</sub>S'ün oksidasyon reaksiyonunda denenmişlerdir. H<sub>2</sub>S 'ün elementel kükürde seçici oksidasyon reaksiyonu için en yüksek aktiviteyi % 2-5 (kütlece) V<sub>2</sub>O<sub>5</sub> içeren V<sub>2</sub>O<sub>5</sub>/Al<sub>2</sub>O<sub>3</sub>, V<sub>2</sub>O<sub>5</sub>/TiO<sub>2</sub> veya bunların karışımını içeren katalizörlerin sergilediği belirtilirken, katalizör içerisindeki V<sub>2</sub>O<sub>5</sub> oran artışının (% 10-20 kütlece) katalitik aktiviteyi düşürdüğü rapor edilmiştir [17].

Park ve arkadaşları, TiO<sub>2</sub>'i destek maddesi olarak kullandıkları bir çalışmada V-Sb-O/TiO<sub>2</sub> V<sub>2</sub>O<sub>5</sub>/TiO<sub>2</sub> (%10 kütlece), V<sub>2</sub>O<sub>5</sub>/SiO<sub>2</sub> (%10 kütlece) ve mekanik karışım katalizörü adı verilen (V<sub>2</sub>O<sub>5</sub> +Sb<sub>2</sub>O<sub>4</sub>) ve V-Sb-O/TiO<sub>2</sub> katalizörlerini sentezlemişlerdir. Gaz karışımında H<sub>2</sub>S ve O<sub>2</sub>'in yanı sıra NH<sub>3</sub> ve su buharının da bulunduğu şartlarda katalizörlerin aktivitelerinin belirlenmesi için reaksiyon sisteminde denemişlerdir. Reaksiyon sıcaklığı 240-320°C olarak belirlenmiştir. V<sub>2</sub>O<sub>5</sub>/TiO<sub>2</sub> katalizörünün V<sub>2</sub>O<sub>5</sub>/SiO<sub>2</sub> katalizörüne göre yüksek aktivite ve kararlılık sergilediği rapor edilmiştir. TiO<sub>2</sub> desteğinin V<sub>2</sub>O<sub>5</sub>'in aktivite ve kararlılığını artırdığı, buna bağlı olarak da V<sub>2</sub>O<sub>5</sub>/TiO<sub>2</sub> katalizörünün yüksek aktivite sergilediği belirtilmiştir [18].

Chung ve arkadaşları,  $\text{SiO}_2$  destekli demir ve vanadyum katalizörleri sentezlenmiş ve  $\text{H}_2\text{S}$ 'ün elementel kükürde seçici katalitik oksidasyon reaksiyonu için 225-300°C sıcaklık aralığında ve farklı  $\text{O}_2/\text{H}_2\text{S}$  oranlarında incelenmişlerdir. Her iki katalizör için de yüksek dönüşüm ve seçicilik değerleri elde edilirken 275°C altındaki sıcaklıklarda  $\text{V}/\text{SiO}_2$  katalizörünün, bu sıcaklığın üzerindeki sıcaklıklarda da  $\text{Fe}/\text{SiO}_2$  katalizörünün daha yüksek aktivite sergilediği ifade edilmiştir. Bunun yanı sıra her iki katalizörde de sıcaklık artışıyla elementel kükürt seçiciliğinin azaldığı rapor edilmiştir [19].

Yapılan literatür araştırmaları Çizelge 2.1'de özetlenmiştir.

Çizelge 2.1. Literatürde H<sub>2</sub>S'ün seçici katalitik oksidasyon reaksiyonuyla ilgili yapılan çalışmalar

Çalışma Grubu	Kullanılan Katalizörler	Reaksiyon Şartları	Sonuçlar
Zhang ve ark. [4]	-Alümina katkılı demir oksit Laponite killeri	-120-20°C -H <sub>2</sub> S/O <sub>2</sub> /N <sub>2</sub> : 5/2,5/92,5	-Sıcaklık arttıkça H <sub>2</sub> S dönüşümü artmıştır. 180°C'de maksimuma ulaşmıştır. -Demir yüklemesi yaptıkça da dönüşüm artmış ancak %8'den sonra düşmeye başlamıştır. -En iyi kükürt verimi de 180°C'de %7 Fe içerikli katalizörde elde edilmiştir. - O <sub>2</sub> /H <sub>2</sub> S oranı artırılması ise kükürt seçiciliğini düşürmüştür
Bineesh ve ark. [5]	- Al destekli Vanadyum killeri	-220-300°C - O <sub>2</sub> /H <sub>2</sub> S:0,5	-Sıcaklık arttıkça H <sub>2</sub> S dönüşümü artmıştır. -%3 ve %6'lık Vanadyum yüklemesinde de dönüşüm artmıştır ancak %8 ve %12'lik yüklemelerde ise düşmüştür. -%20'lik suyun varlığı ise H <sub>2</sub> S dönüşümünü düşürmüştür.
Fang ve ark. [6]	- Aktif karbonla desteklenmiş metal oksitler (Mn, Cu, Fe, Ce, Co ve V)	-180°C - O <sub>2</sub> /H <sub>2</sub> S:1,0	- Aktivite sıralaması; Mn/AC, Cu/AC, Fe/AC, Ce/AC, Co/AC, V/AC olmuştur.

Çizelge 2.1. (Devam) Literatürde H<sub>2</sub>S'ün seçici katalitik oksidasyon reaksiyonuyla ilgili yapılan çalışmalar

Çalışma Grubu	Kullanılan Katalizörler	Reaksiyon Şartları	Sonuçlar
Carmona ve ark. [7]	- Demir içerikli SBA-15	- 200°C - H <sub>2</sub> S/hava/He: 1,2/5/93,8	-Reaksiyonun ilk 150 dakikasında H <sub>2</sub> S dönüşümü düşmektedir. Daha sonra demir eklemesiyle de birlikte dönüşüm artmıştır. -Demir oranı %10 olduğunda kükürt seçiciliği %100'e ulaşmıştır. Daha fazla Fe eklenmesinde H <sub>2</sub> S dönüşümü düşmüştür
Ledoux ve ark. [9]	- NiS <sub>2</sub> / SiC	-40-60°C - O <sub>2</sub> /H <sub>2</sub> S: 1,6	-Düşük sıcaklıklarda SiC/NiS <sub>2</sub> katalizörü seçici ve kararlı bulunmuştur. -Katalizör, yüzeyindeki kükürt birikimine rağmen H <sub>2</sub> S dönüşümünde azalma göstermemiştir.
Shin ve ark. [10]	-Vanadyum temelli ikili ve çoklu metal oksit (Bi-Ti-Zr-Fe-Cr-Mo)	-250°C	- 250 °C'de BiVO <sub>x</sub> , TiVO <sub>x</sub> ve ZrV <sub>2</sub> O <sub>7</sub> 'den kararlı ve gelişmiş bir aktivite elde edilmiştir. - En yüksek aktivite VO <sub>x</sub> /TiO <sub>2</sub> ; Fe, Mo ve Cr ile hazırlanan multimetallik katalizörde elde edilmiştir.
Uhm ve ark.[12]	- SiO <sub>2</sub> destekli CrO <sub>x</sub> - CrO <sub>x</sub>	- O <sub>2</sub> /H <sub>2</sub> S: 0,5	- Amorf yapıdaki Cr <sub>2</sub> O <sub>3</sub> 'ün Cr/SiO <sub>2</sub> 'ye göre özellikle düşük sıcaklıkta kükürt verimi yüksek olmuştur ve suya karşı güçlü direnç sağlamıştır. -300 °C'nin üstünde destekli katalizörlerin kükürt verimi amorf Cr <sub>2</sub> O <sub>3</sub> ile benzer olduğu tespit edilmiştir.

Çizelge 2.1. (Devam) Literatürde H<sub>2</sub>S'ün seçici katalitik oksidasyon reaksiyonuyla ilgili yapılan çalışmalar

Çalışma Grubu	Kullanılan Katalizörler	Reaksiyon Şartları	Sonuçlar
Bineesh ve ark. [13]	- V/Ti – PILCS	-220-300°C	- H <sub>2</sub> S'ün V/Ti – PILCS ile dönüşümü Vanadyum içeriği %5'e arttıkça kadar artmıştır.  -Ağırlıkça %10 Vanadyum yüklemesinde performans düşmüştür.  -Reaktant karışımında su buharının olması H <sub>2</sub> S'ün dönüşümünde azalmaya sebep olduğu da raporlanmıştır.
Eslek ve ark. [15]	- Fe <sub>2</sub> O <sub>3</sub>  - Fe/Ce	-250°C  - O <sub>2</sub> /H <sub>2</sub> S:0,5	- Eşmolar oranda sentezlenmiş olan Fe/Ce katalizöründe % 100 H <sub>2</sub> S dönüşümü ve % 99 elementel kükürt seçiciliği elde edilmiştir.  - Demir oksit katalizörünün yapısına seryum ilavesinin katalizörün kararlılığını ve kükürt seçiciliğini artırdığı tespit edilmiştir.
Kim ve ark. [16]	- VO <sub>x</sub> /TiO <sub>2</sub>  (Çöktürme–biriktirme ve emdirme yöntemleriyle sentezlenmiştir.)	-260°C	- Bütün katalizörlerde yüksek H <sub>2</sub> S dönüşümü elde edilmiş, herhangi bir şekilde SO <sub>2</sub> oluşumu gözlenmediği belirtilmiştir.  -Emdirme metoduyla kıyaslandığında çöktürme–biriktirme yöntemiyle hazırlanan katalizörler daha yüksek H <sub>2</sub> S dönüşümü sergilemişlerdir.

Çizelge 2.1. (Devam) Literatürde H<sub>2</sub>S'ün seçici katalitik oksidasyon reaksiyonuyla ilgili yapılan çalışmalar

Çalışma Grubu	Kullanılan Katalizörler	Reaksiyon Şartları	Sonuçlar
Yaşyerli ve ark. [16]	-CeO <sub>2</sub> , Ce-V (farklı molar oranlarda)	-20-300°C -O <sub>2</sub> /H <sub>2</sub> S:0-2,7	- Seryuma vanadyumun katılması düşük sıcaklıkta seryumun redoks yeteneğini artırmış ve aktiviteyi kararlı hale getirmiştir.  - Ce/V:1 için besleme akımında stokiometrik oranda H <sub>2</sub> S ve O <sub>2</sub> varken %96 kükürt seçiciliği ve %100 dönüşüm elde edilmiştir.
Kalinkin ve ark. [17]	-V <sub>2</sub> O <sub>5</sub> /Al <sub>2</sub> O <sub>3</sub> -V <sub>2</sub> O <sub>5</sub> /TiO <sub>2</sub> -V <sub>2</sub> O <sub>5</sub> /SiO <sub>2</sub> - V <sub>2</sub> O <sub>5</sub> /Al <sub>2</sub> O <sub>3</sub> /TiO <sub>2</sub>	-100-200°C - O <sub>2</sub> /H <sub>2</sub> S:4-5	- En yüksek aktiviteyi % 2-5 (kütlece) V <sub>2</sub> O <sub>5</sub> içeren V <sub>2</sub> O <sub>5</sub> /Al <sub>2</sub> O <sub>3</sub> , V <sub>2</sub> O <sub>5</sub> /TiO <sub>2</sub> katalizörlerinin sergilediği belirtilirken, katalizör içerisindeki V <sub>2</sub> O <sub>5</sub> oran artışının (% 10-20 kütlece) katalitik aktiviteyi düşürdüğü tespit edilmiştir.
Park ve ark. [18]	-V-Sb-O/TiO <sub>2</sub> -V <sub>2</sub> O <sub>5</sub> /TiO <sub>2</sub> -V <sub>2</sub> O <sub>5</sub> /SiO <sub>2</sub>	-240-320°C - O <sub>2</sub> /H <sub>2</sub> S:0,5	-V <sub>2</sub> O <sub>5</sub> /TiO <sub>2</sub> katalizörünün V <sub>2</sub> O <sub>5</sub> /SiO <sub>2</sub> katalizörüne göre yüksek aktivite ve kararlılık sergilediği rapor edilmiştir.

Çizelge 2.1. (Devam) Literatürde H<sub>2</sub>S'ün seçici katalitik oksidasyon reaksiyonuyla ilgili yapılan çalışmalar

Çalışma Grubu	Kullanılan Katalizörler	Reaksiyon Şartları	Sonuçlar
Chung ve ark [19]	-SiO <sub>2</sub> destekli demir ve vanadyum	-225-300°C	-Her iki katalizör için de yüksek dönüşüm ve seçicilik değerleri elde edilmiştir. - 275°C altındaki sıcaklıklarda V/SiO <sub>2</sub> katalizörünün, bu sıcaklığın üzerindeki sıcaklıklarda da Fe/SiO <sub>2</sub> katalizörünün daha yüksek aktivite sergilediği ifade edilmiştir. -Bunun yanı sıra her iki katalizörde de sıcaklık artışıyla elementel kükürt seçiciliğinin azaldığı rapor edilmiştir.

Yapılan kaynak araştırması sonucunda H<sub>2</sub>S'ün seçici katalitik oksidasyon reaksiyonunda birçok metalin kullanıldığı görülmüştür. Bu çalışma kapsamında da daha önce yapılmamış ve literatürde bulunmayan, krom ve seryum metalini içeren katalizörler kompleksleştirme yöntemiyle sentezlenmiştir. Sentezlenen bu katalizörlerin seçici oksidasyon reaksiyonunda aktiviteleri belirlenmeye çalışılmıştır. Krom metalinin toksik özellikte olmasına rağmen dehidrojenasyon reaksiyonlarında tercih edilmesi ve redoks özelliğinden dolayı kullanılmıştır. Seryum ise redoks özelliği ve yüksek oksijen tutma kapasitesinden dolayı tercih edilmiştir.





### 3. DENEYSEL METOT

Bu çalışmada  $H_2S$ 'ün elementel kükürde seçici katalitik oksidasyon reaksiyonunda kullanılmak üzere Cr ve Ce metallerinin farklı molar oranları kullanılarak elde edilen metal oksit katalizörleri kompleksleştirme metodu ile sentezlenmiştir. Sentezlenen katalizörler XRD, BET, SEM, EDS çalışmaları gerçekleştirilerek karakterize edilmiştir. Karakterizasyon işlemi gerçekleştirilen katalizörler, reaksiyon sisteminde test edilmiştir. Yapılan çalışmalar; katalizör sentezi, yapılan karakterizasyon çalışmaları ve reaksiyon test çalışması olmak üzere üç başlık halinde sunulmuştur.

#### 3.1. Katalizör Sentezi

Yüksek Lisans Tez çalışması kapsamında  $CrO$ ,  $Cr_{2,7}Ce_{1,3}$ ,  $Cr_2Ce_2$ ,  $Cr_3Ce$  ve  $Cr_{2,7}Ce_{1,3}-SiO_2$  katalizörleri kompleksleştirme yöntemi ile sentezlenmiştir. Bu katalizörlere benzer içerikte olan fakat sentezlenme metodu farklı olan katalizörler de karşılaştırma amacıyla reaksiyon testine tabi tutulmuştur. Kompleksleştirme sentez yöntemi aşağıda ayrıntılı bir şekilde açıklanmıştır.

Kullanılan kimyasallar;

- Krom (III) Nitrat Nanohidrat ( $Cr(NO_3)_3 \cdot 9H_2O$ ), (%98), Merck
- Seryum (III) Nitrat Hexahidrat ( $Ce(NO_3)_3 \cdot 6H_2O$ ), (%98,5), Merck
- Tetraetil Ortosilikat ( $C_8H_{20}O_4Si$ ),
- Sitrik Asit Monohidrat ( $C_6H_8O_7 \cdot H_2O$ ), (%99,5), Merck
- Etanol ( $C_2H_5OH$ ), (% 99,5), Merck

##### 3.1.1. Kompleksleştirme metodu

Kompleksleştirme metodu, yapısında en az bir tane hidroksil ya da karboksil grubu bulunduran polifonksiyonel bir organik asitle metal tuzlarının kompleks oluşturması esasına dayanır. Bu yöntem ile mezo gözenekli ve homojen şekilde dağılmış metal oksit katalizör sentezi yapılması planlanmıştır [20]. Bu çalışmada da organik asit olarak sitrik asit çözeltisi, çözücü olarak da saf su kullanılmıştır. Ayrıca katalizör hazırlanma süresine

etkisini incelemek için çözücüsü etil alkol olan Cr<sub>2</sub>Ce<sub>2</sub> katalizörü de sentezlenmiştir. Hazırlanan katalizörlerin sentez basamakları aşağıda maddeler halinde anlatılmıştır;

### 1.Basamak

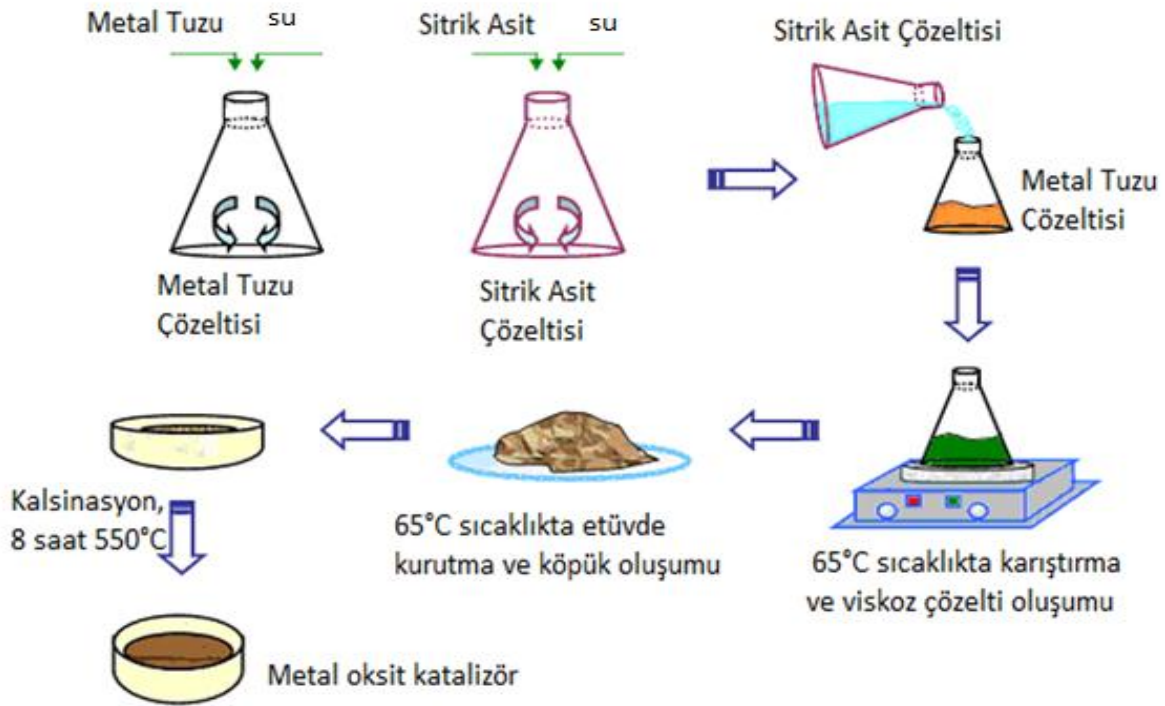
2M'lık sitrik asit çözeltisi hazırlanmıştır. Hazırlanan sitrik asit çözeltisine eş molarda metal tuzları çözeltisi hazırlanmıştır. Sitrik asit çözeltisi metal tuzu çözeltisine ilave edilmiştir. Elde edilen çözelti manyetik karıştırıcı yardımıyla karıştırılmaya başlanmış ve sıcaklık yaklaşık 65 °C'de sabit tutulmuştur. Böylelikle ısının etkisiyle ortamdan su buharı ve CO<sub>2</sub> çıkışının olması beklenmektedir. Aynı zamanda bu basamakta sitrik asitin metal komplekslerinin oluşması beklenmektedir.

### 2.Basamak

Jelleşmeye başlayan karışım manyetik karıştırıcıdan alınarak saat camlarına koyulmuştur. Saat camlarında jel halde bulunan karışım kurutulmak amacıyla 70 °C'lik etüve alınmıştır. Bu basamakta da metal karbonatlarının oluşması beklenmektedir.

### 3.Basamak

Yaklaşık yedi gün etüve bekleyen kompleks karışım etüvden alınıp toz haline getirildikten sonra kül fırınında, 550 °C'ta 8 saat boyunca kalsinasyon işlemine tabi tutulmuştur. Bu basamakta çözücü olarak etil alkolün kullanıldığı katalizör 70 °C'lik etüve sadece bir gün bekledikten sonra kalsinasyon işlemine tabi tutulmuştur. Bu aşamada ise metal karbonatların ısı etkisiyle bozunması ve CO<sub>2</sub> çıkışıyla metal oksit oluşması beklenmektedir. Sentez basamakları şematik olarak Şekil.3.1' de gösterilmiştir.



Şekil 3.1. Kompleksleştirme yönteminin sentez basamakları [21]

Çalışma kapsamında Cr-O, Cr<sub>3</sub>Ce, Cr<sub>2,7</sub>Ce<sub>1,3</sub>, Cr<sub>2</sub>Ce<sub>2</sub>, Cr<sub>2</sub>Ce<sub>2</sub>-EA ve Cr<sub>2,7</sub>Ce<sub>1,3</sub>-SiO<sub>2</sub> katalizörleri kompleksleştirme metoduyla sentezlenmiştir. Katalizörlerin sentez şartları Çizelge 3.1’de verilmiştir.

Çizelge 3.1. Kompleksleştirme metodu ile sentezlenen katalizörlerin sentez şartları

Katalizör	1.Basamak	2.Basamak	3.Basamak
Cr-O	65 °C, 14 saat	70 °C, 7 gün	550 °C, 8 saat
Cr <sub>3</sub> Ce	65 °C, 16 saat	70 °C, 7 gün	550 °C, 8 saat
Cr <sub>2,7</sub> Ce <sub>1,3</sub>	65 °C, 16 saat	70 °C, 7 gün	550 °C, 8 saat
Cr <sub>2</sub> Ce <sub>2</sub>	65 °C, 16 saat	70 °C, 7 gün	550 °C, 8 saat
Cr <sub>2</sub> Ce <sub>2</sub> -EA*	65 °C, 3,5 saat	70 °C, 1 gün	550 °C, 8 saat
Cr <sub>2,7</sub> Ce <sub>1,3</sub> -SiO <sub>2</sub>	65 °C, 5,5 saat	70 °C, 7 gün	550 °C, 8 saat

\*Sentez sırasında çözücü olarak saf su yerine etil alkol kullanılmıştır.

Çizelge 3.1 incelendiğinde çözücü olarak etil alkolün kullanılması sentez süresini oldukça kısaltmıştır.

### 3.2. Katalizör Karakterizasyonu

Kompleksleştirme yöntemiyle sentezlenen katalizörlerin yapısal ve fiziksel özelliklerini belirlemek için karakterizasyon çalışmaları gerçekleştirilmiştir. Hazırlanan katalizörlerin karakterizasyonlarında, X-ışını kırınım desenleri (XRD), tek nokta BET, enerji dispersif X-ışını spektroskopisi (EDS) ve taramalı elektron mikroskopisi (SEM) analizleri gerçekleştirilmiştir.

Kompleksleştirme yöntemi ile sentezlenen katalizörlerin isimleri, sentezlenme yöntemleri ve uygulanan karakterizasyon çalışmaları Çizelge 3.2.'de özetlenmiştir.

Çizelge 3.2. Sentezlenen katalizörler, sentez metodu ve reaksiyon öncesi yapılan karakterizasyon çalışmaları

KATALİZÖR	Sentez Metodu	XRD	EDS	BET	SEM
Cr-O	Kompleksleştirme	√	√	√	
Cr <sub>3</sub> Ce	Kompleksleştirme	√	√	√	
Cr <sub>2,7</sub> Ce <sub>1,3</sub>	Kompleksleştirme	√	√	√	√
Cr <sub>2</sub> Ce <sub>2</sub>	Kompleksleştirme	√	√	√	
Cr <sub>2</sub> Ce <sub>2</sub> -EA*	Kompleksleştirme	√	√	√	
Cr <sub>2,7</sub> Ce <sub>1,3</sub> -SiO <sub>2</sub>	Kompleksleştirme	√	√	√	√

\*Sentez sırasında çözücü olarak saf su yerine etil alkol kullanılmıştır.

#### X-ışını kırınımı (XRD) analizleri

Katalizörlerin katı fazlarının ve kristal boyutlarının belirlenmesi için kullanılan XRD analizi, Orta Doğu Teknik Üniversitesi Merkez Laboratuvarı'nda bulunan Rigatu Ultima-IV-X-ışını Kırınım cihazı kullanılarak yapılmıştır. Metal içerikli malzemelerin kristal yapısı hakkında bilgi veren bu analiz sonucunda numunelerin X ışını açısı belirlenmekte ve Bragg Yasası kullanılarak düzlemler arası uzaklık hesaplanmaktadır.

$$\text{Bragg Yasası; } n\lambda = 2d\sin\theta \quad (3.1)$$

Burada;

$\lambda$  : Dalga boyu, Å

n: Sabit

$\theta$ : Kırınım açısı, Theta

d: düzlemler arası uzaklık, Å

Hazırlanan katalizörlerin tanecik boyutu ise Scherrer eşitliği kullanılarak hesaplanmıştır;

$$T = \frac{n\lambda}{B_{\text{gerçek}} \cos \theta} \quad (3.2)$$

Burada;

T: Tanecik boyutu

$\lambda$ : Dalga boyu (1,5406 Å)

n: Analizde kullanılan cihazlara ve çalışılan numuneye bağlı olan birimsiz şekil faktörü

$\theta$ : Kırınım açısı

$B_{\text{gerçek}}$ : XRD desenindeki metale ait en yüksek pikin yarısının genişliği ("Full width at half maximum", FWHM) [22]

Scherrer yasası kullanılarak bir katalizöre ait kristal boyut hesabının bir örneği EK-1'de verilmiştir.

#### Tek nokta BET ( Brunauer, Emmett, and Teller) analizi

Sentezlenen katalizörlerin yüzey alanlarının belirlenmesi için Gazi Üniversitesi Mühendislik Fakültesi Kimya Mühendisliği Bölümü'nde bulunan BET yüzey alanı cihazı (QuantoChromeMonosorb) kullanılmıştır. Cihaz %30 N<sub>2</sub>-%70 He içeren gaz karışımı ve sıvı azot ile ölçüm yapılmaktadır.

### Taramalı elektron mikroskopisi (SEM)

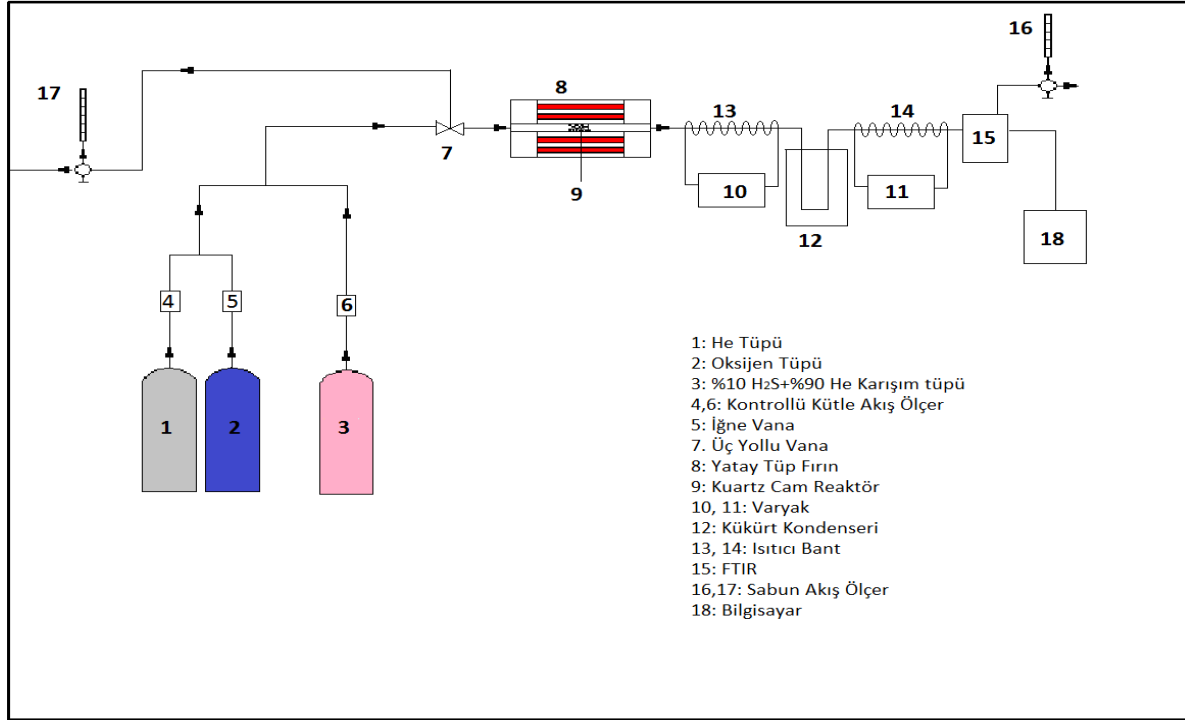
Taramalı elektron mikroskopisi analizi, sentezlenen katalizörlerin morfolojik yapısının belirlenmesi amacıyla gerçekleştirilmiştir. SEM analizleri, Orta Doğu Teknik Üniversitesi Merkez Laboratuvarı'nda QUANTA 400F Field Emission SEM cihazı ile gerçekleştirilmiştir.

### Enerji dispersif X-ışını spektroskopisi (EDS)

Katalizörlerin içerisindeki metallerin konsantrasyonlarının belirlenmesi amacıyla yapılan EDS analizleri, Orta Doğu Teknik Üniversitesi Merkez Laboratuvarında QUANTA 400F Field Emission SEM cihazında yapılmıştır.

### **3.3. Katalizör Aktivite Test Çalışması**

H<sub>2</sub>S'ün elementel kükürde seçici katalitik oksidasyon reaksiyonu için reaksiyon test sistemi Şekil 3.2'de gösterilmiştir. Reaksiyonda kullanılacak olan gazların akış hızları kontrollü kütle akış ölçerler kullanılarak ayarlanmıştır. Sistemde bir problem olduğunda gazların dışarı atılmasını sağlamak için bypass hattı eklenmiştir. Reaktör olarak 6 mm iç çaplı, yüksek sıcaklıklara karşı dayanıklı, quartz cam boru kullanılmıştır. Reaksiyon sıcaklık kontrollü tüp fırında gerçekleştirilmiştir. Reaktör çıkışı ve kükürt kondenser girişi, reaksiyon sonrası oluşabilecek kükürdün kükürt kondenserinde toplanması için 200°C sıcaklıkta tutulmuştur. Yine benzer şekilde, reaksiyon sonrası oluşabilecek suyun yoğunlaşmasını önlemek amacıyla, kükürt kondenseri ve FTIR girişi de yaklaşık 100°C civarında tutulmuştur. Reaktör çıkışı gaz analizleri, reaktör çıkışına bağlanan Perkin-Elmer marka Fourier Transform Infrared Spektrometresi (FT-IR) ile yapılmıştır.



Şekil 3.2. H<sub>2</sub>S'ün elementel kükürde seçici katalitik oksidasyon reaksiyonunun gerçekleştirildiği deney sistemi [22]

Hidrojen Sülfürün katalitik seçici katalitik oksidasyonu için sentezlenen katalizörlerin reaksiyon test çalışmaları, öncelikle emniyet kuralları çerçevesinde, aşağıdaki basamaklar takip edilerek gerçekleştirilmiştir;

- Davlumbaz açılır.
- FTIR'a bağlı bulunan bilgisayar açılarak 'spectrum' programı çalıştırılır.
- Boş reaktör kolonu yatağa yerleştirildi.
- FTIR'daki gaz hücresinin sıcaklığı 40°C'ye ayarlanır.
- FTIR ölçümlerinin doğru sonuç vermesi için gaz hücresinden bir süre inert gaz olan helyum gazı geçirilir. Bu sırada bilgisayardan görüntü alınarak gaz hücresinin temizliğinden emin olunur.
- Sistemden He gazı geçirilirken, diğer taraftan içerisine 0,2 gr katalizör koyulan reaktör hazırlanır.
- Gaz hücresi temizlendikten sonra sistem bypass'a alınarak, FTIR'a bağlı bilgisayarda bulunan programdan background alınır.
- Background alındıktan sonra boş reaktör yataktan çıkartılarak yerine hazırlanan reaktör kolonu yerleştirilir. Reaktör sıcaklığı istenen değere ayarlanır.



- Reaktörle kükürt kondenser arası herhangi bir yoğunlaşma olmaması için, reaktör çıkışı ısıtıcı banla sarılarak 200 °C' ye ayarlanır.
- Kondenserin bulunduğu ısıtıcının sıcaklığı termometre 100°C'yi gösterecek şekilde ayarlanır.
- Reaktör içerisindeki nemin giderilmesi için He gazı tekrar sisteme verilir ve ekrandan takip edilir.(Reaktör silindirik yapıda 6 mm iç çaplı, 75 cm uzunluğunda, yüksek sıcaklıklara karşı dayanıklı, quartz cam borudur).
- Sisteme verilecek olan O<sub>2</sub>, H<sub>2</sub>S ve He gazının akış hızları sistem bypass'ta iken ayarlanır.
- Akış hızları ayarlandıktan sonra gazlar sisteme gönderilir. (Deneylerde ölü hacim etkisi dikkate alınmıştır. Reaksiyonda kullanılan gazların akış hızları kontrollü kütle akış ölçerler kullanılarak ayarlanmıştır.)
- Daha sonra zamana karşı spektrumlar alınarak reaktör çıkış gazlarının konsantrasyonları belirlenir. Spektrumlar alınırken sürekli gaz kaçağı olup olmadığı kontrol edilmelidir. (Spektrumlar, reaktör çıkışına bağlanan Perkin-Elmer marka Fourier Transform Infrared Spektrometresi (FT-IR) ile elde edilmiştir.)
- Deney sonrasında gaz karışımı bypass'a alınarak tüpler kapatılır.
- Reaktör yataktan çıkartılır ve yerine boş reaktör takılır.
- Gaz hücresinin içerisinde nem kalmaması için sıcaklığı 100°C'nin üzerine çıkarılır.
- Boş reaktör yerleştirildikten sonra sisteme bir süre He gazı verilir.
- Sistemde nem kalmadığından emin olduktan sonra, elektrik verilen cihazlar kontrollü şekilde kapatılır.
- Tüpler kapatılır.
- Davlumbaz kapatılır ve son kontroller yapılarak deneysel çalışma sonlandırılır.

Aktivite test çalışmalarında, toplam gaz akış hızı 100 ml/dakika olacak şekilde ayarlanmış ve H<sub>2</sub>S gazının oranı hacimsel olarak % 1 değerinde sabit tutulmuştur. Deneysel sonuçlar reaktör çıkışında gaz akımında bulunan H<sub>2</sub>S, SO<sub>2</sub> ve H<sub>2</sub>O'nun zamana karşı oluşturulan çıkış konsantrasyonu (breakthrough) eğrileri ile değerlendirilmiştir. Oksidasyon reaksiyonunda H<sub>2</sub>S dönüşümü ve elementel kükürt seçiciliği aşağıdaki şekilde tanımlanmıştır [23]:

$$\text{H}_2\text{S dönüşüm} = \frac{[H_2S]_{giren} - [H_2S]_{çıkkan}}{[H_2S]_{giren}} \quad (3.3)$$

$$\text{Kükürt Seçiciliği} = \frac{[H_2S]_{giren} - [H_2S]_{çıkkan} - [SO_2]_{çıkkan}}{[H_2S]_{giren} - [H_2S]_{çıkkan}} \quad (3.4)$$

Reaktör çıkışında görülmesi muhtemel gazların dalga boyları Çizelge 3.3’de verilmiştir [21] .

Çizelge 3.3. Reaksiyon sonucunda görülmesi muhtemel gazların dalga boyları

Bileşen	Dalga Boyu, cm <sup>-1</sup>
H <sub>2</sub> S	2614-2772
SO <sub>2</sub>	1050-1230
H <sub>2</sub> O	1414-1972

Gaz analizlerinde kullanılan FTIR cihazının çalışma prensibi EK-2’de verilmiştir. Reaksiyon sonrası analizlerde gözlenen H<sub>2</sub>S, SO<sub>2</sub> ve H<sub>2</sub>O bileşiklerine ait örnek FTIR pikleri de EK-3’te verilmiştir.



## 4. SONUÇLAR VE DEĞERLENDİRİLMESİ

Yüksek Lisans tez çalışması kapsamında, H<sub>2</sub>S'ün elementel kükürde seçici katalitik oksidasyon reaksiyonunda kullanılmak üzere kompleksleştirme metodu ile Cr ve Ce metalleri farklı molar oranlarda sentezlenmiştir. Sentezlenen katalizörlerin reaksiyon öncesi karakterizasyon çalışmaları yapıldıktan sonra, reaksiyon test sisteminde aktiviteleri belirlenmeye çalışılmıştır. Reaksiyon aktivite sonuçlarının yorumlanabilmesi için reaksiyon sonrasında da karakterizasyon çalışmaları gerçekleştirilmiştir. H<sub>2</sub>S'ün elementel kükürde seçici oksidasyon reaksiyonunda yüksek aktivite sergileyen katalizör, reaksiyon şartları değiştirilerek aktivitesi incelenmiştir. Ayrıca sentez metodunun etkisini inceleyebilmek için en yüksek aktiviteyi gösteren katalizörün birlikte çöktürme yöntemi ile hazırlanmış olanı reaksiyon testine tabi tutulmuştur. Bununla birlikte destek maddesinin aktiviteye etkisini araştırmak için de SiO<sub>2</sub> destekli katalizörlerin aktivite çalışması gerçekleştirilmiştir. Deneysel sonuçlar beş başlık altında sunulmuştur. Birinci bölümde, çalışma kapsamında gerçekleşmesi muhtemel reaksiyonların termodinamik analizleri anlatılmış, ikinci bölümde katalizörlerin reaksiyon öncesi karakterizasyon çalışmalarından bahsedilmiş, üçüncü bölümde aktivite test çalışmaları ve reaksiyon sonrası karakterizasyon çalışmaları anlatılmış, dördüncü bölümde reaksiyon şartları değiştirilerek elde edilen aktivite sonuçları ve son olarak da silika destekli katalizörlerin aktivite sonuçları anlatılmıştır.

### 4.1. Çalışma Kapsamında Gerçekleşebilecek Reaksiyonlar

H<sub>2</sub>S gazının giderilmesinde yaygın olarak kullanılan yöntem 'Claus Prosesi'dir. Claus Prosesi' nde H<sub>2</sub>S gazı giderilirken elementel kükürt elde edilmekte ve bu işlem termal oksidasyon ile katalitik reaksiyon olmak üzere iki basamakta gerçekleşmektedir. Katalitik reaksiyon basamağındaki termodinamik kısıtlamalardan dolayı H<sub>2</sub>S gazının tamamı giderilememektedir. Bu yüzden çalışmalar seçici bir katalizör araştırması üzerinde yoğunlaşmıştır. H<sub>2</sub>S gazının seçici katalitik oksidasyonu sırasında da H<sub>2</sub>S'ün aşırı oksidasyonu ile kükürdün oksidasyonu olmak üzere iki yan reaksiyon gerçekleşebilmektedir.

Çalışma kapsamında gerçekleşebilecek reaksiyonlar aşağıda verilmiştir;

Claus Katalitik Reaksiyonu



H<sub>2</sub>S'ün Seçici Katalitik Oksidasyon Reaksiyonu



Kükürdün Oksidasyonu (yan reaksiyon)

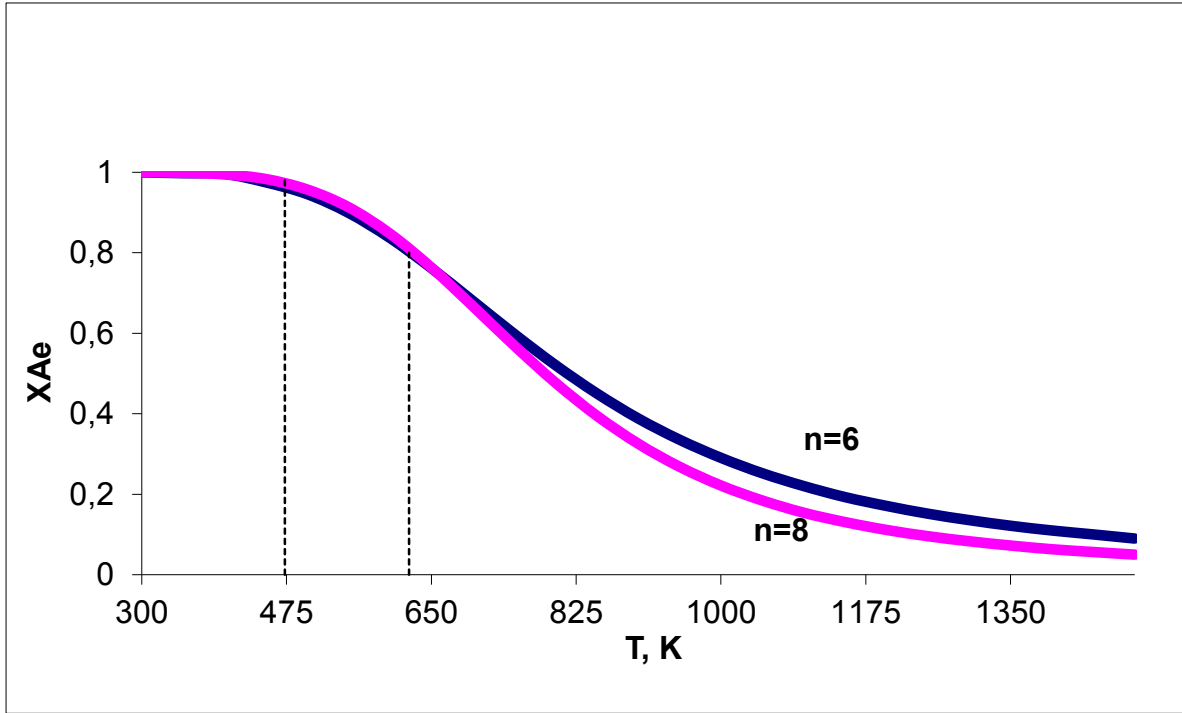


H<sub>2</sub>S'ün Aşırı Oksidasyonu (yan reaksiyon)



Bu reaksiyonlardaki n sayısının değeri önem arz etmektedir. İncelenen çalışmaların sonucunda bu n değerinin genelde 6 ve 8 olduğu tespit edilmiştir [24].

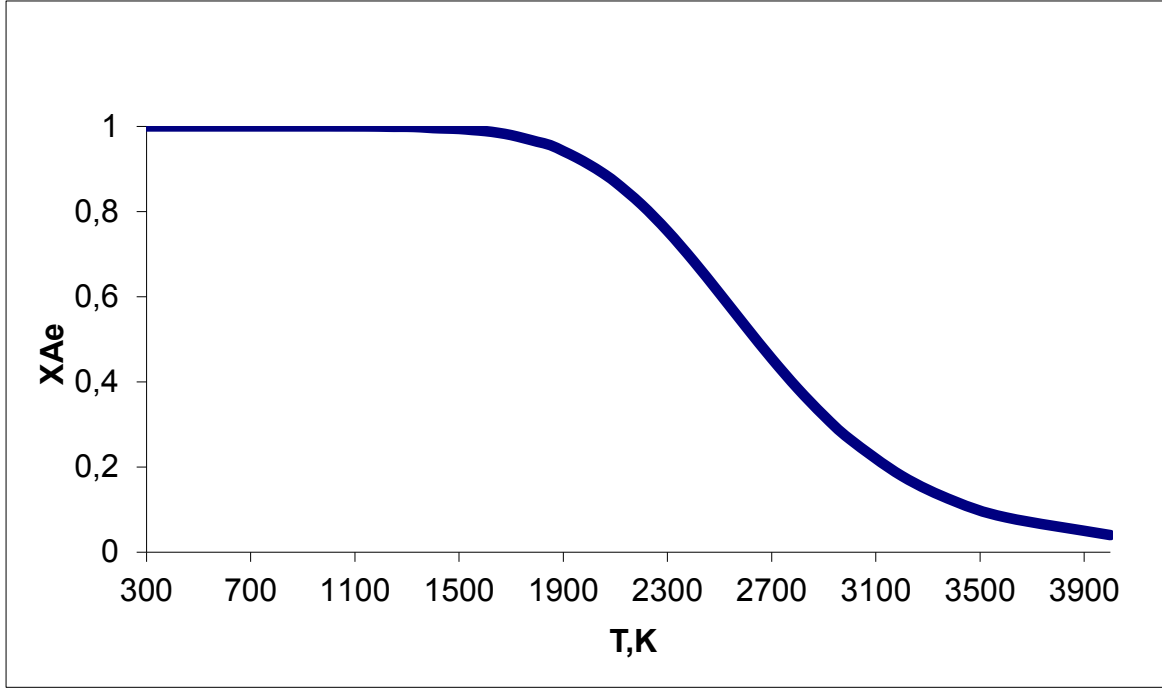
Claus katalitik reaksiyonundaki n değerinin 6 ve 8 olması durumlarında oluşacak dönüşüm-sıcaklık grafiği Şekil 4.1.'de görülmektedir.



Şekil 4.1. Claus katalitik reaksiyonu için denge dönüşüm-sıcaklık grafiği (n=6 ve n=8 için) [22]

Claus Prosesi'nin ikinci kademesi olan katalitik reaksiyon basamağına ait dönüşüm-sıcaklık grafiği (Şekil 4.1.) incelendiğinde, reaksiyon gerçekleşme sıcaklığı olan 473-623 K'de %100 H<sub>2</sub>S dönüşümüne ulaşılamadığı görülmektedir. Bu sonuç bize bu reaksiyon için bir termodinamik sınırlamayı ifade etmektedir.

Claus Prosesi'nin katalitik reaksiyon basamağındaki bu denge sınırlamasından dolayı H<sub>2</sub>S'ün seçici katalitik oksidasyonu sonucu elementel kükürdün elde edildiği reaksiyon için katalizör geliştirilmesi yönündeki çalışmalar artmıştır. Seçici katalitik oksidasyon reaksiyondaki n değerinin 6 olduğu durumdaki dönüşüm-sıcaklık grafiği Şekil 4.2. verilmiştir.



Şekil 4.2. H<sub>2</sub>S'ün elementel kükürde seçici katalitik oksidasyon reaksiyonu için denge dönüşüm-sıcaklık grafiği (n = 6 için) [22]

Literatür araştırmalarında görüldüğü gibi H<sub>2</sub>S'ün elementel kükürde seçici katalitik oksidasyon reaksiyonunda denge sınırlaması görülmemektedir.

#### 4.2. Reaksiyon Öncesi Yapılan Karakterizasyon Çalışmalarının Sonuçları

Kompleksleştirme metoduyla sentezlenen Cr-O, Cr<sub>3</sub>Ce, Cr<sub>2,7</sub>Ce<sub>1,3</sub>, Cr<sub>2</sub>Ce<sub>2</sub>, Cr<sub>2</sub>Ce<sub>2</sub>-EA ve Cr<sub>2,7</sub>Ce<sub>1,3</sub>-SiO<sub>2</sub> katalizörlerinin fiziksel ve yapısal özelliklerini belirlemek için bazı karakterizasyon çalışmaları gerçekleştirilmiştir. Katalizörün yığın faz yapısını ve kristal boyutunu belirlemek için XRD, metallerin atomik konsantrasyonlarının belirlenmesi için EDS analizi, yüzey alanlarının hesabı için tek nokta BET ve yüzeyin kimyasal kompozisyonunu, faz geçişlerini belirlemek için SEM analizi yapılmıştır.

##### Enerji dispersif X-ışını spektroskopisi EDS ve BET yüzey alanı sonuçları;

Katalizörlerin sentezlenen mol oranlarıyla EDS sonucundaki mol oranlarını karşılaştırılmıştır. Karşılaştırma sonuçları Çizelge 4.1.'de görülmektedir. Sentezlenen katalizörlerin tek nokta BET yüzey alanları ve kristal boyutları da hesaplanmıştır. Hesaplama sonuçları Çizelge 4.1.'de verilmiştir.

Çizelge 4.1. Kompleksleştirme yöntemi ile sentezlenen Cr ve Cr-Ce karışık metal oksit katalizörlerinin EDS ve BET sonuçları

Katalizör	Çözültideki Cr/Ce Mol Oranı	EDS ile belirlenen Cr/Ce Mol Oranı	BET Yüzey Alanı m <sup>2</sup> /g	Kristal Boyutu, nm
Cr-O	---	---	6,7	38,2 (Cr <sub>2</sub> O <sub>3</sub> )
Cr <sub>3</sub> Ce	3/1	2,93/1	26,5	6,9 (CeO <sub>2</sub> )
Cr <sub>2,7</sub> Ce <sub>1,3</sub>	2/1	1,9/1	20,7	8,3 (CeO <sub>2</sub> )
Cr <sub>2</sub> Ce <sub>2</sub>	1/1	1,02/1	42,1	7,0 (CeO <sub>2</sub> )
Cr <sub>2</sub> Ce <sub>2</sub> -EA*	1/1	1,01/1	41,5	7,5 (CeO <sub>2</sub> )
Cr <sub>2,7</sub> Ce <sub>1,3</sub> -BC**	2/1	1,96/1	16,9	9,4 (CeO <sub>2</sub> )

\*Kompleksleştirme yönteminde çözücü olarak su yerine etil alkol kullanılmıştır.

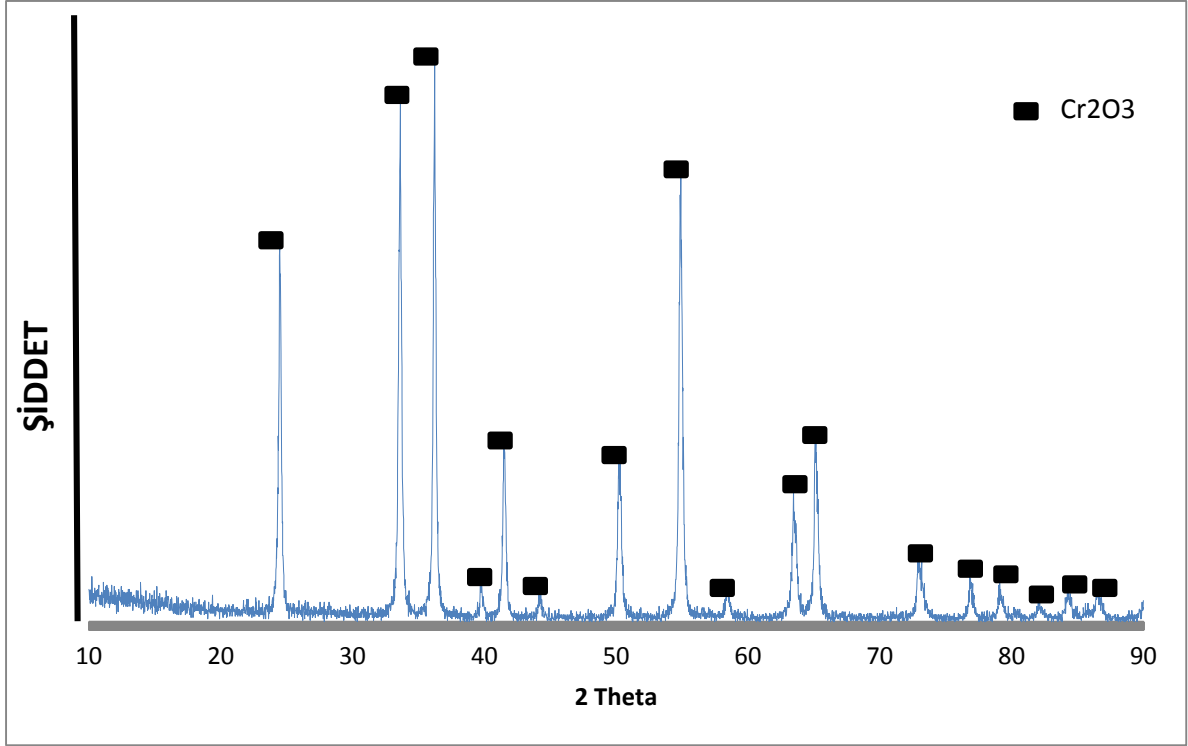
\*\* Lisans araştırma projesi kapsamında çalışma gurubumuz tarafından sentezlenmiştir.

Sentezlenen katalizörlerin mol oranları ile EDS sonucu mol oranlarının birbirine yakın olduğu görülmektedir. Bu da metallerin yapıya istenilen oranlarda yerleştirilebildiğini göstermektedir. Yüzey alanları incelendiğinde en yüksek yüzey alanının eş molarlarda sentezlenen (Cr/Ce:1) Cr<sub>2</sub>Ce<sub>2</sub> katalizörüne ait olduğu tespit edilmiştir. Sentez sırasında çözücü olarak etil alkolün kullanıldığı Cr<sub>2</sub>Ce<sub>2</sub>-EA katalizörünün ise çözücüsü saf su olan aynı mol oranlarındaki katalizörle hemen hemen aynı olduğu görülmüştür.

#### Katalizörlerin XRD ile yapı tayini:

Katalizörlerin yığın faz yapısını belirlemek için XRD analizleri gerçekleştirilmiştir. Şekil 4.3.'de Cr-O katalizörüne ait XRD sonuçları verilmiştir.





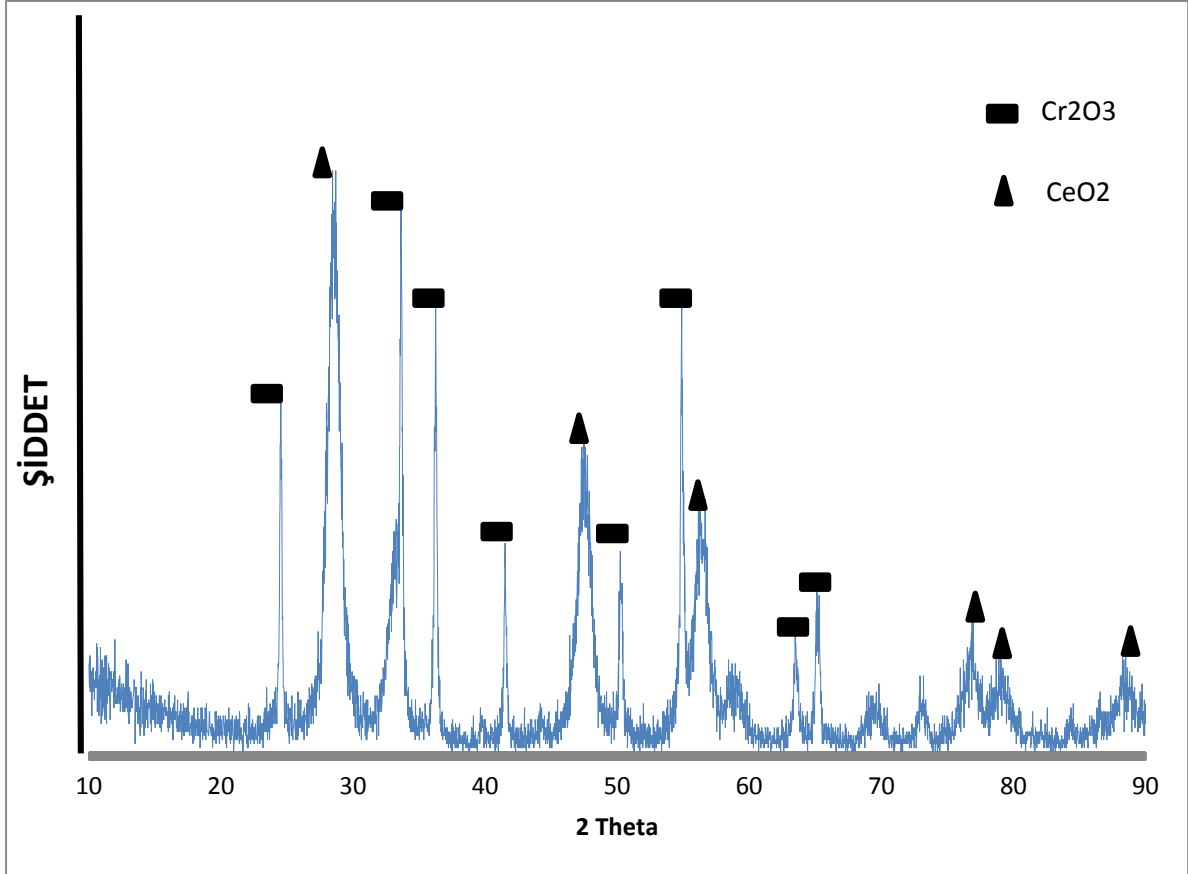
Şekil 4.3. Aktivite testi öncesi Cr-O katalizörünün XRD sonuçları

Sadece krom metali kullanılarak hazırlanan Cr-O katalizöründe sadece Cr<sub>2</sub>O<sub>3</sub> piklerinin varlığı tespit edilmiştir. Cr<sub>2</sub>O<sub>3</sub> yapısının belirlenmesi için X-ışını kırınım desenleri karakteristik pikleri için literatür incelenmiş ve sonuçlar Çizelge 4.2.'de verilmiştir. Çizelge 4.2. incelendiğinde deneysel veriler sonucunda elde edilen piklerin I/I<sub>0</sub> değerlerinin oldukça benzer sonuçlar sergilediği görülmüştür.

Çizelge.4.2. Cr-O katalizöründeki ve literatürdeki Cr<sub>2</sub>O<sub>3</sub> pikleri

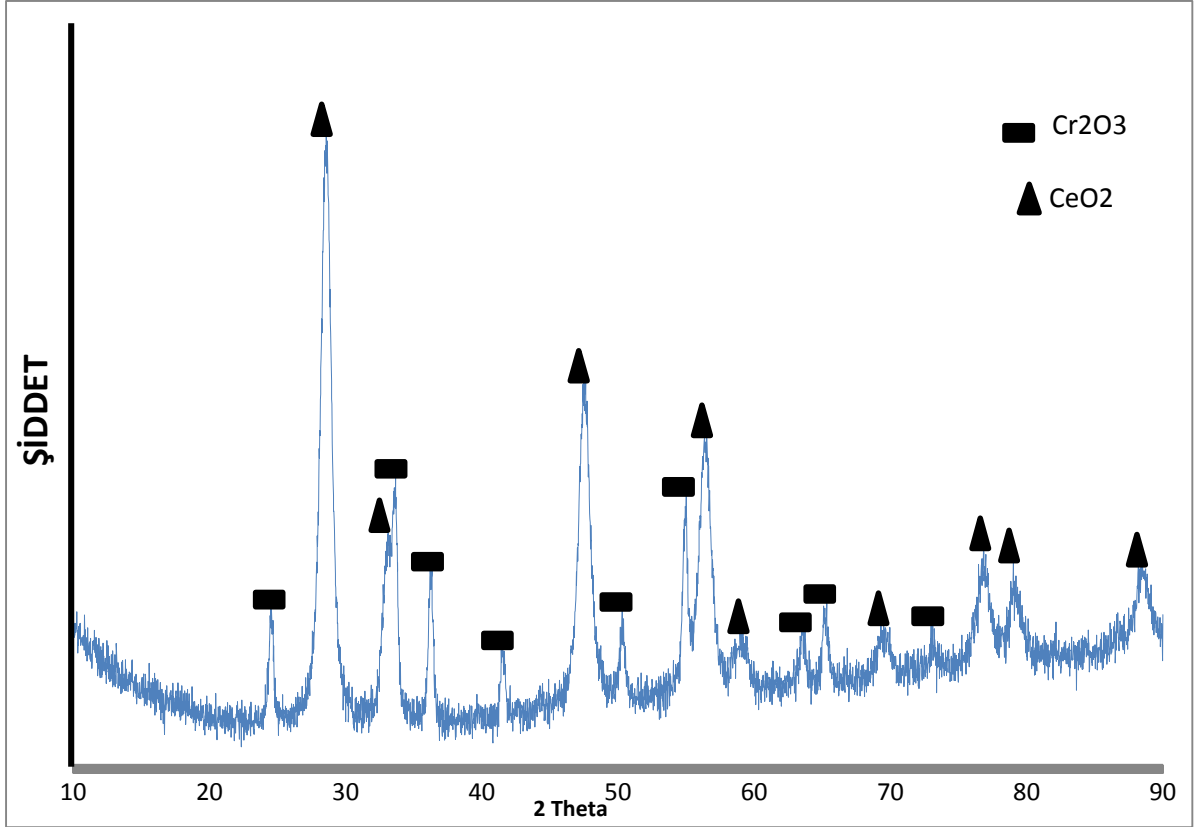
Cr-O (Deneysel)			Cr <sub>2</sub> O <sub>3</sub> ( File no: 6-504)		
2θ	d	I/I <sub>0</sub>	2θ	d	I/I <sub>0</sub>
24.45	3.64	69	24,50	3,63	75
33.58	2.67	88	33,54	2,67	100
36.19	2.48	100	36,19	2,48	95
39.92	2.26	2	39,78	2,26	12
41.43	2.18	35	41,35	2,18	40
44.19	2.05	5	44,19	2,05	10
50.20	1.82	32	50,21	1,82	40
54.86	1.67	87	54,87	1,67	90
58.40	1.58	8	58,40	1,58	14
63.46	1.47	27	63,45	1,47	25
65.11	1.43	40	65,12	1,43	40
72.84	1.30	10	72,93	1,30	20
76.90	1.24	9	76,82	1,24	18
79.11	1.21	6	79,07	1,21	8
82.05	1.17	2	82,09	1,17	14
84.28	1.15	6	84,22	1,15	10
86.58	1.12	6	86,53	1,12	10

Mol oranı Cr/Ce:3 olacak şekilde hazırlanan Cr<sub>3</sub>Ce katalizöründe CeO<sub>2</sub> ve Cr<sub>2</sub>O<sub>3</sub> piklerinin varlığı gözlenmiştir (Şekil 4.4). Literatürde yapılan çalışmalarda elde edilen piklerin karşılaştırılması EK-6'da verilmiştir.



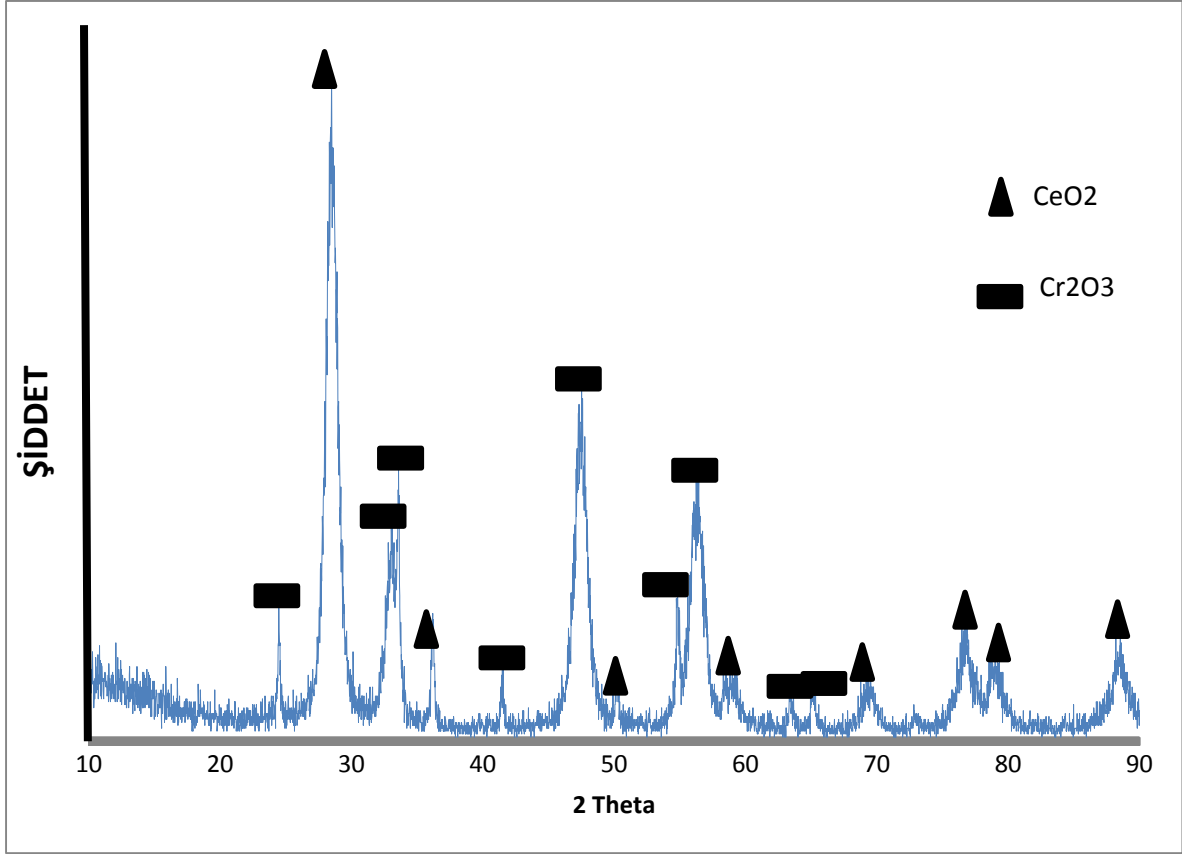
Şekil 4.4. Aktivite testi öncesi Cr<sub>3</sub>Ce katalizörünün XRD sonuçları

Seryum miktarını artırarak hazırlanan Cr<sub>2,7</sub>Ce<sub>1,3</sub> katalizöründe benzer şekilde Cr<sub>2</sub>O<sub>3</sub> ve CeO<sub>2</sub> yapılarına ait pikler görülmüştür (Şekil.4.5). Literatürde yapılan çalışmalarda elde edilen piklerin karşılaştırılması EK-6'da verilmiştir.



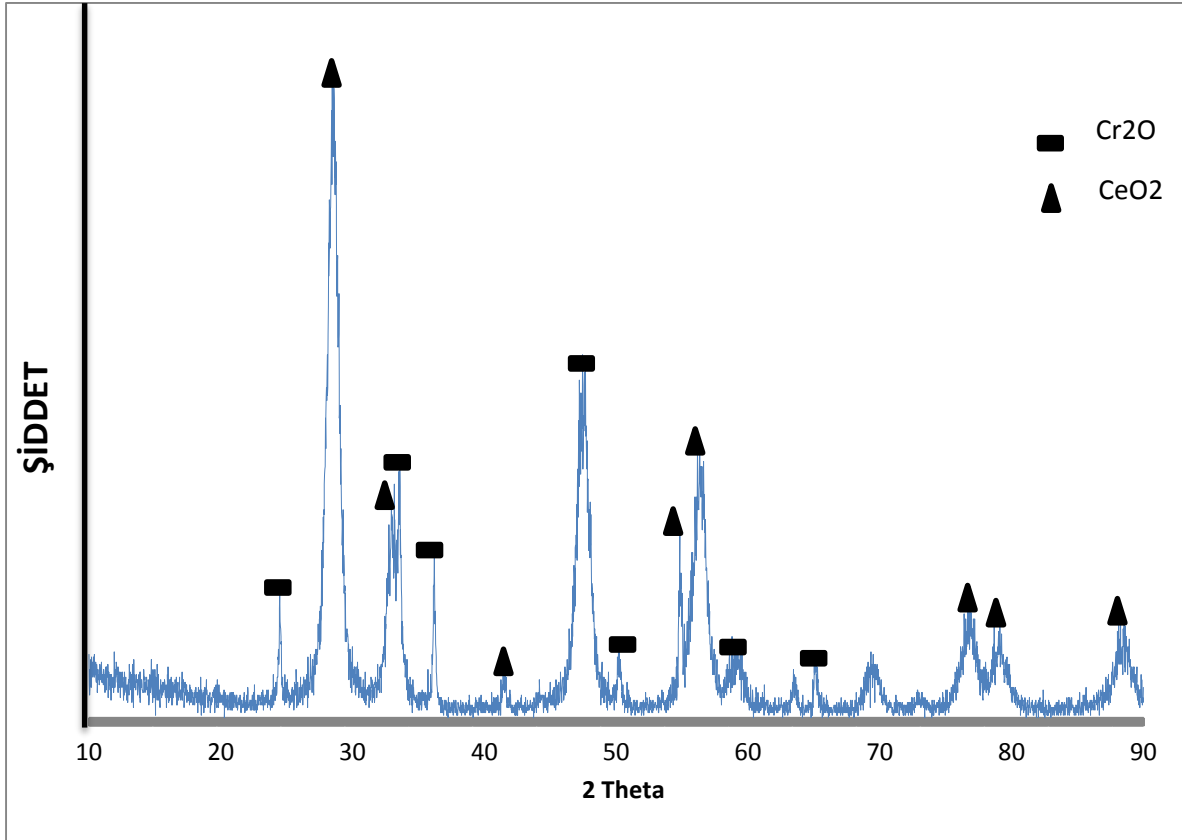
Şekil 4.5. Aktivite testi öncesi Cr<sub>2,7</sub>Ce<sub>1,3</sub> katalizörünün XRD sonuçları

Eş molarlarda krom ve seryum içeren Cr<sub>2</sub>Ce<sub>2</sub> katalizöründe de Cr<sub>2</sub>O<sub>3</sub> ve CeO<sub>2</sub> yapılarına ait pikler görülmüştür (Şekil 4.6.). Literatürde yapılan çalışmalarda elde edilen piklerin karşılaştırılması EK-6'da verilmiştir. Cr<sub>2,7</sub>Ce<sub>1,3</sub> katalizöründen farklı bir pik görülmemesine rağmen Cr<sub>2</sub>O<sub>3</sub> piklerinin daha az sayıda olduğu tespit edilmiştir.



Şekil 4.6. Aktivite testi öncesi Cr<sub>2</sub>Ce<sub>2</sub> katalizörünün XRD sonuçları

Kompleksleştirme metodunda çözücü olarak saf su yerine etil alkol kullanılarak eş molarlarda hazırlanan Cr<sub>2</sub>Ce<sub>2</sub>-EA katalizöründe de CeO<sub>2</sub> ve Cr<sub>2</sub>O<sub>3</sub> piklerinin olduğu tespit edilmiştir (Şekil 4.7). Literatürde yapılan çalışmalarda elde edilen piklerin karşılaştırılması EK-6'da verilmiştir. Çözücü olarak saf suyun kullanıldığı Cr<sub>2</sub>Ce<sub>2</sub> katalizörü ile hemen hemen aynı piklerin oluştuğu gözlenmiştir.



Şekil 4.7. Aktivite testi öncesi Cr<sub>2</sub>Ce<sub>2</sub>-EA katalizörünün XRD sonuçları

H<sub>2</sub>S'ün seçici katalitik oksidasyonu ile elementel kükürt eldesi için sentezlenen katalizörlerin XRD sonuçları incelendiğinde; Cr-O hariç diğer katalizörlerde en şiddetli pikin CeO<sub>2</sub> ait olduğu ve kristal boyutunun birbirlerine yakın olduğu görülmüştür. Yüzey alanları incelendiğinde de katalizörlerdeki Ce metalinin yüzey alanını artırdığı tespit edilmiştir. EDS sonuçlarında da metallerin mol oranlarının sentez mol oranları ile birbirine yakın olduğu yani istenen metal oranlarının yapıya işlenebildiği görülmüştür. Yapılan karakterizasyon çalışmaları incelendiğinde çözücü olarak etil alkolün kullanıldığı katalizör ile aynı molar orana sahip çözücü olarak saf suyun kullanıldığı katalizörle benzer sonuçlar sergilediği görülmüştür. Sadece zaman ve enerji bakımından büyük oranda tasarruf sağladığı için kompleksleştirme metodunda çözücü olarak etil alkolün kullanılmasının daha faydalı olacağı düşünülmektedir.

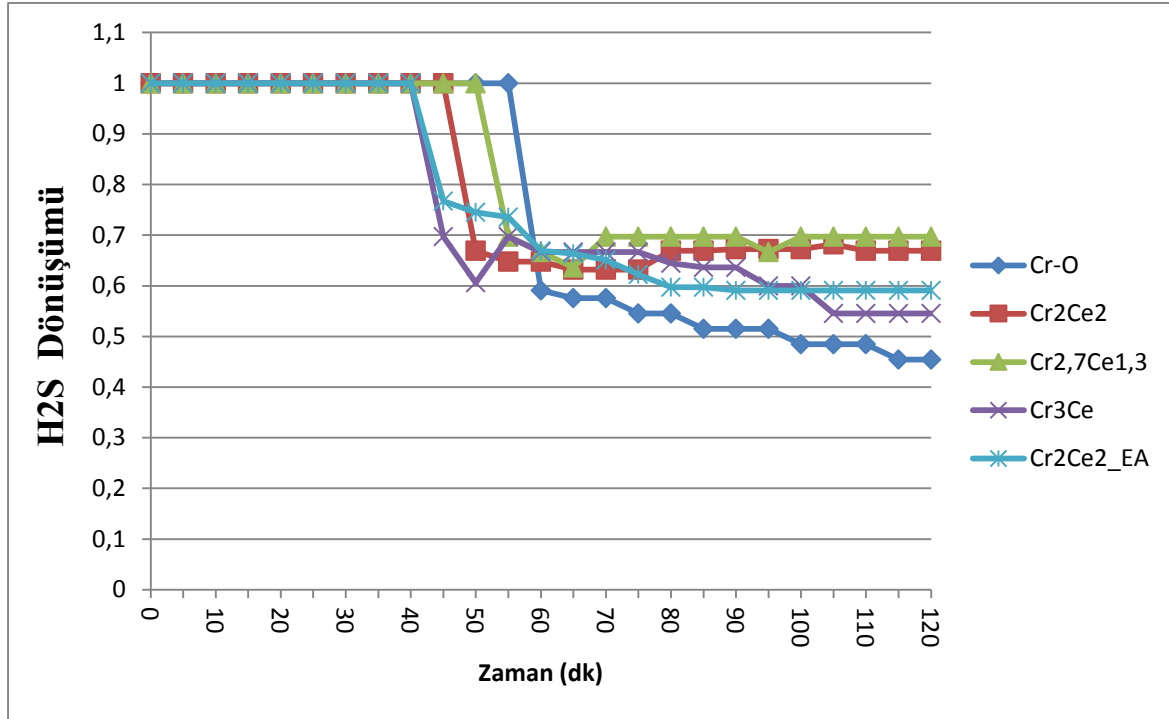
### 4.3. H<sub>2</sub>S'ün Elementel Kükürde Seçici Katalitik Oksidasyon Reaksiyonu Test Çalışmaları ve Reaksiyon Sonrası Karakterizasyonları

Yüksek lisans tez çalışması kapsamında H<sub>2</sub>S'ün elementel kükürde seçici katalitik oksidasyon reaksiyonunda (Reaksiyon 1.3) kullanılmak üzere yüksek H<sub>2</sub>S dönüşümü ve elementel kükürt seçiciliği veren katalizörler geliştirmek amaçlanmıştır.

Bu amaç doğrultusunda kompleksleştirme yöntemiyle Cr-O, Cr<sub>3</sub>Ce, Cr<sub>2,7</sub>Ce<sub>1,3</sub>, Cr<sub>2</sub>Ce<sub>2</sub>, Cr<sub>2</sub>Ce<sub>2</sub>-EA ve Cr<sub>2,7</sub>Ce<sub>1,3</sub>-SiO<sub>2</sub> katalizörleri hazırlanmıştır. Hazırlanan bu katalizörlerin seçici oksidasyon reaksiyonundaki aktiviteleri öncelikle 250 °C sıcaklıkta, gaz akış hızı 100 cm<sup>3</sup>/dk ve O<sub>2</sub>/H<sub>2</sub>S: 0,5 şartlarında belirlenmeye çalışılmıştır. Bu şartlarda en yüksek aktiviteye sahip katalizör (Cr<sub>2,7</sub>Ce<sub>1,3</sub>) farklı reaksiyon sıcaklıklarında (200, 250 ve 300°C) ve farklı gaz karışımlarında (O<sub>2</sub>/H<sub>2</sub>S: 0-1) aktiviteleri karşılaştırılmıştır. Katalizör sentez yönteminin aktiviteye etkisini araştırmak için en yüksek aktiviteye sahip katalizörün birlikte çöktürme yöntemi ile hazırlanmış olanı reaksiyon testine tabi tutulmuştur. Ayrıca destek maddesinin etkisini görebilmek için de bazı katalizörlere SiO<sub>2</sub> desteği sağlayarak aktivitesi araştırılmıştır. Deneysel çalışmalarda, toplam gaz akış hızı 100 cm<sup>3</sup>/dakika olacak şekilde ayarlanmış ve H<sub>2</sub>S gazının oranı % 1 değerinde sabit tutulmuştur. Dolgulu kolon reaktör sisteminde 0,2 gr katalizör kullanılmıştır. Deneysel sonuçlar, reaktör çıkışındaki gaz akımında bulunması muhtemel H<sub>2</sub>S, SO<sub>2</sub> ve H<sub>2</sub>O gazlarının zamana karşı oluşturulan “breakthrough” eğrileri ile değerlendirilmiştir. Oksidasyon reaksiyonunda H<sub>2</sub>S dönüşüm ve kükürt seçiciliği aşağıdaki şekilde tanımlanmıştır [23] :

$$\text{H}_2\text{S dönüşüm} = \frac{[\text{H}_2\text{S}]_{giren} - [\text{H}_2\text{S}]_{çıkkan}}{[\text{H}_2\text{S}]_{giren}} \quad (4.1)$$

$$\text{Kükürt Seçiciliği} = \frac{[\text{H}_2\text{S}]_{giren} - [\text{H}_2\text{S}]_{çıkkan} - [\text{SO}_2]_{çıkkan}}{[\text{H}_2\text{S}]_{giren} - [\text{H}_2\text{S}]_{çıkkan}} \quad (4.2)$$



Şekil 4.8. Kompleksleştirme yöntemiyle hazırlanan Cr-Ce-O katalizörleri ile elde edilen H<sub>2</sub>S dönüşümlerinin zamanla değişimi (250 °C, O<sub>2</sub>/H<sub>2</sub>S=0,5)

Şekil 4.8. kompleksleştirme yöntemi ile sentezlenen ve aynı şartlarda reaksiyon testine tabi tutulan katalizörlerin H<sub>2</sub>S dönüşümlerinin grafiğini göstermektedir. Grafik incelendiğinde en yüksek H<sub>2</sub>S dönüşümünün Cr/Ce mol oranı 2 olan Cr<sub>2,7</sub>Ce<sub>1,3</sub> katalizöründe gerçekleştiği görülmektedir.

Cr-O katalizöründe bir süre H<sub>2</sub>S çıkışı gözlenmemiştir. Reaksiyon yatışkın duruma geldiğinde de SO<sub>2</sub> gazı gözlenmiştir. Cr-O katalizörünün H<sub>2</sub>S dönüşümü yaklaşık olarak %45 civarında olmuştur.

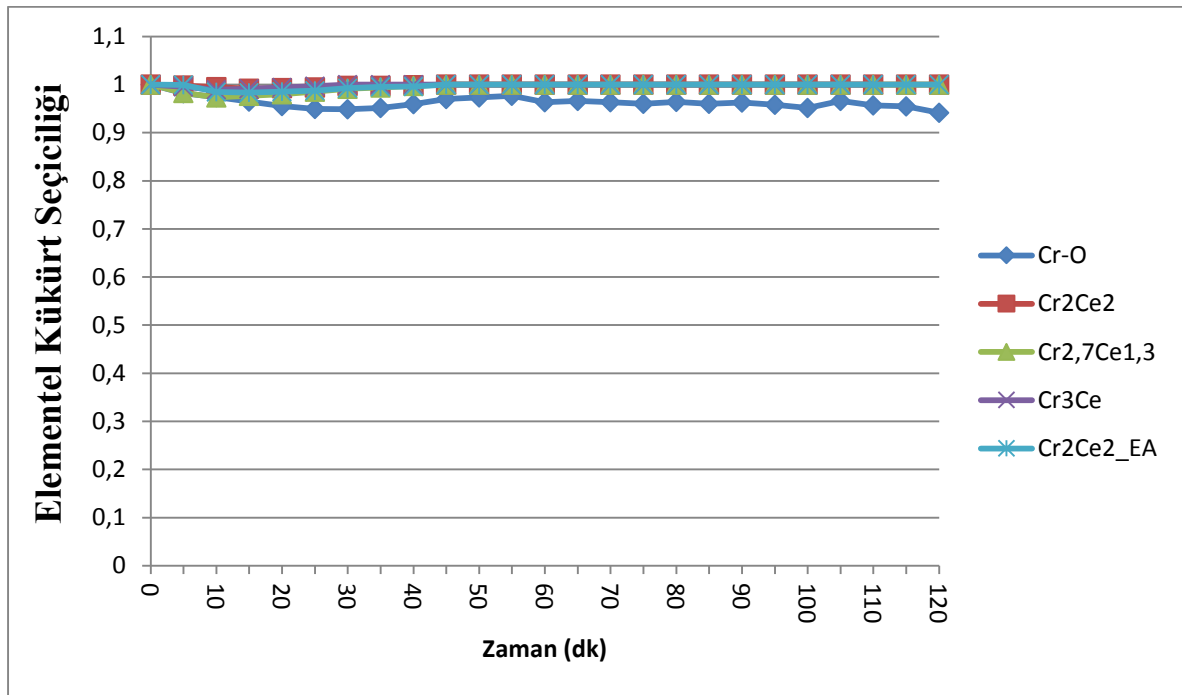
Krom ile seryumun mol oranı 3 (Cr/Ce:3) olacak şekilde karıştırılması ile sentezlenen Cr<sub>3</sub>Ce katalizöründe ilk 40 dakikalık süre boyunca H<sub>2</sub>S çıkışı olmamış, yatışkın duruma gelindiğinde de SO<sub>2</sub> çıkışı gözlenmemiştir. Cr<sub>3</sub>Ce katalizörünün H<sub>2</sub>S dönüşümü yaklaşık olarak %55 olmuştur.

Krom oranı molce iki katı olacak şekilde sentezlenen Cr<sub>2,7</sub>Ce<sub>1,3</sub> katalizöründe de ilk 50 dakika boyunca H<sub>2</sub>S çıkışı gözlenmemiştir. Cr<sub>2,7</sub>Ce<sub>1,3</sub> katalizörünün H<sub>2</sub>S dönüşümü de yaklaşık olarak %70 olmuştur.



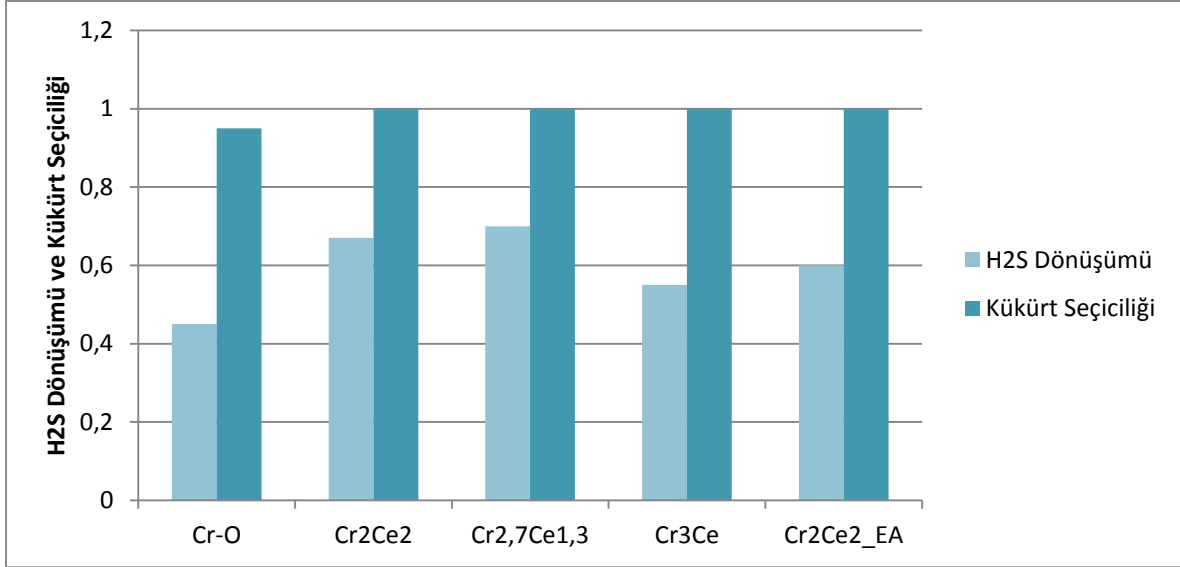
Eş molarlarda Ce katılarak elde edilen Cr<sub>2</sub>Ce<sub>2</sub> katalizöründe ilk 45 dakikalık sürede H<sub>2</sub>S çıkışı gözlenmemiştir. Cr<sub>2</sub>Ce<sub>2</sub> katalizörünün H<sub>2</sub>S dönüşümü yaklaşık olarak %67 olmuştur. Çözücü olarak etil alkolün kullanıldığı eş molarlarda sentezlenen Cr<sub>2</sub>Ce<sub>2</sub>-EA katalizörünün H<sub>2</sub>S dönüşümü de yaklaşık olarak %60 olmuştur. Katalizörlerin H<sub>2</sub>S dönüşümleri ve kükürt seçicilikleri Şekil 4.8., 4.9. ve 4.10.'da verilmiştir.

Şekil 4.9' da katalizörlerin seçicilikleri verilmiştir. Cr-O katalizörünün seçiciliği %95 olurken, diğer katalizörlerin seçicilikleri %100 civarında olmuştur.



Şekil 4.9. Kompleksleştirme yöntemiyle hazırlanan Cr-Ce-O katalizörleri ile elde edilen kükürt seçiciliklerinin zamanla değişimi (250 °C, O<sub>2</sub>/H<sub>2</sub>S=0,5)

Bu katalizörlerin reaksiyon sonucunda ulaştığı dönüşüm ve seçicilikleri Şekil 4.10'de karşılaştırılmıştır.



Şekil 4.10. Kompleksleştirme yöntemiyle hazırlanan Cr-Ce-O katalizörleri ile elde edilen H<sub>2</sub>S dönüşümü ve kükürt seçicilikleri (250 °C, O<sub>2</sub>/H<sub>2</sub>S=0,5)

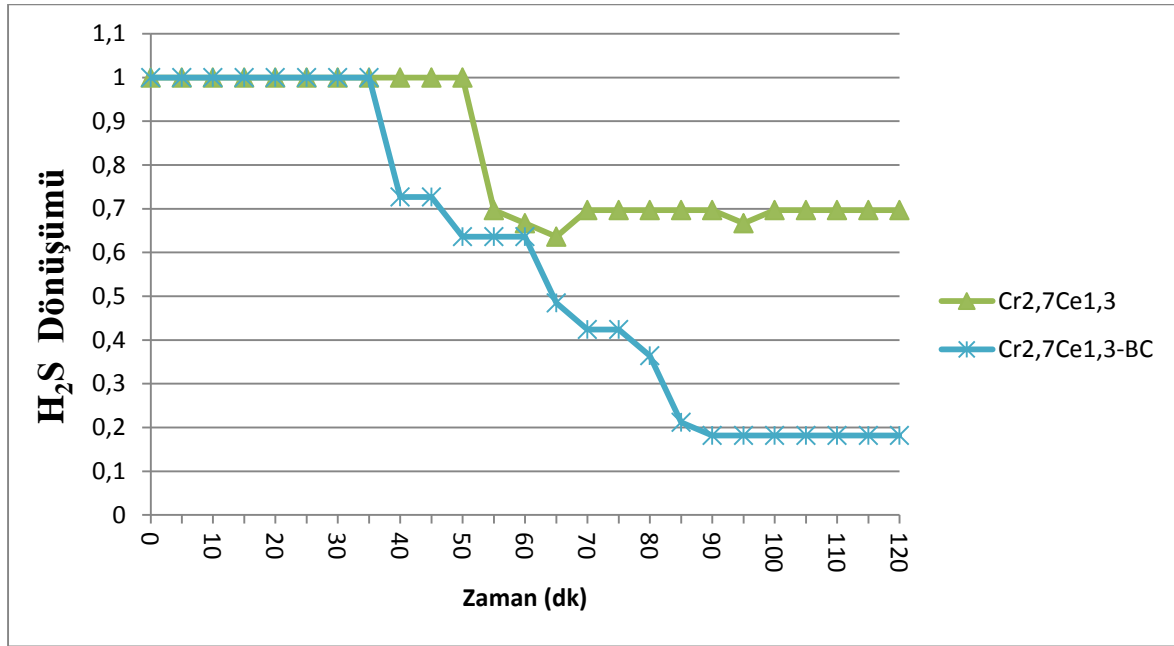
Şekil 4.10. incelendiğinde en düşük H<sub>2</sub>S dönüşümü seryum katılmadan hazırlanan Cr-O katalizöründe elde edilmiştir. Reaksiyonun başlarında H<sub>2</sub>S çıkışının olması ve giderek miktarının artması H<sub>2</sub>S dönüşümünü düşürmüştür. En yüksek H<sub>2</sub>S dönüşümü ise molce Cr/Ce oranının 2 olduğu katalizörden elde edilmiştir. Reaksiyon sırasında H<sub>2</sub>S gazının 50 dakika sonunda çıkmaya başlaması ve miktarının az olması H<sub>2</sub>S dönüşümünün diğer katalizörlere göre yüksek olmasını sağlamıştır.

Şekil 4.10. kükürt seçiciliği açısından incelendiğinde Cr-O hariç diğerlerinin kükürt seçicilikleri %100 iken Cr-O katalizöründe %95 olmuştur. Cr-O katalizöründe ilk dakikalardan çıkmaya başlayan SO<sub>2</sub> gazının yatışkın durumda da az miktarda çıkmaya devam etmesi kükürt seçiciliğinin düşmesine neden olmuştur.

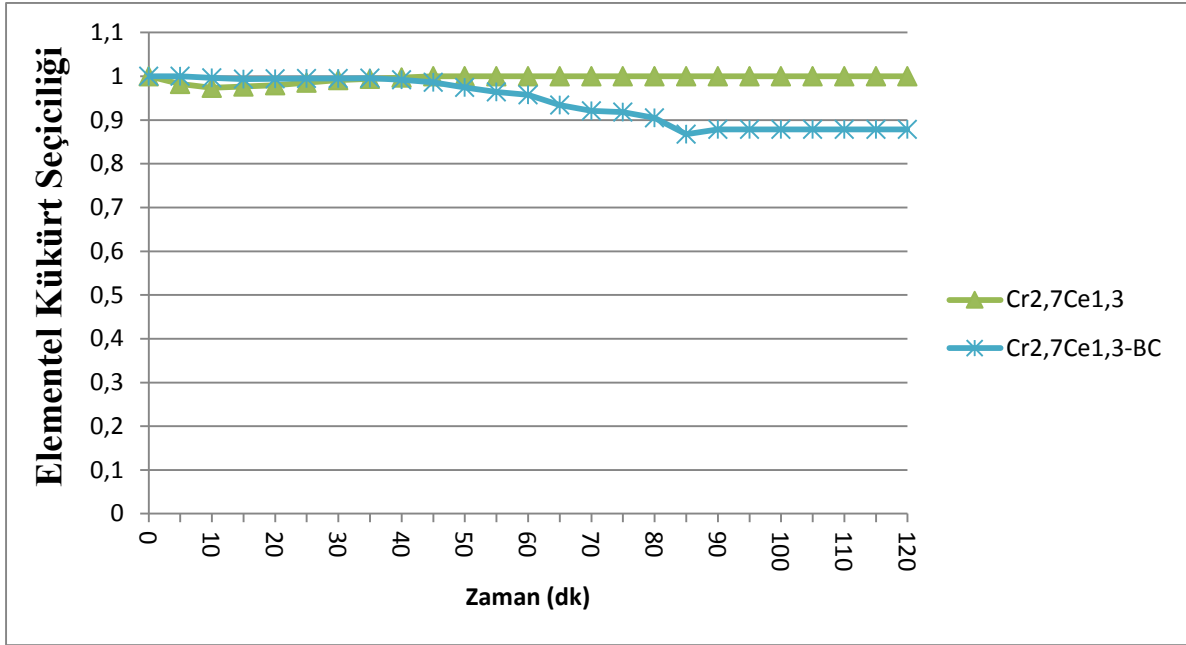
Kompleksleştirme yönteminde çözücü etil alkolün kullanıldığı ve eş molarda hazırlanan Cr<sub>2</sub>Ce<sub>2</sub>-EA katalizörünün H<sub>2</sub>S dönüşümü, çözücüsü saf su ile olan eş molardaki Cr<sub>2</sub>Ce<sub>2</sub> katalizörüne göre bir miktar az olmasına rağmen kükürt seçiciliği ikisinin de %100 olmuştur.

Dönüşüm ve seçicilik sonuçları incelendiğinde katalizöre seryum eklemesinin aktiviteye olumlu etki yaptığı görülmektedir. Bunun da seryumun oksijen tutma kapasitesinden kaynaklandığı düşünülmektedir.

Katalizör sentezleme metodunun katalitik aktiviteye etkisinin görülebilmesi amacıyla aynı oranlarda Cr ve Ce içeren, birlikte çöktürme yöntemiyle hazırlanan Cr<sub>2,7</sub>Ce<sub>1,3</sub>-BC katalizörü ile aktivite testleri tekrarlanmıştır. Cr<sub>2,7</sub>Ce<sub>1,3</sub>-BC katalizörü ile elde edilen H<sub>2</sub>S dönüşüm ve elementel kükürt seçicilikleri sırasıyla Şekil 4.11 ve Şekil 4.12’de karşılaştırmalı olarak verilmiştir.

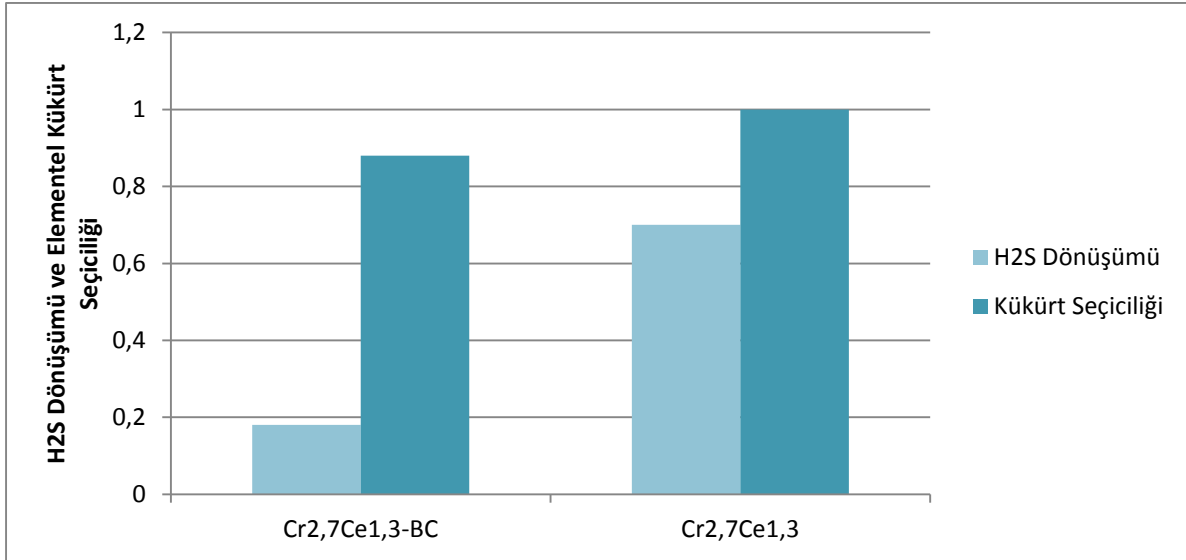


Şekil 4.11. Kompleksleştirme ve birlikte çöktürme yöntemiyle hazırlanan Cr<sub>2,7</sub>Ce<sub>1,3</sub> katalizörü ile elde edilen H<sub>2</sub>S dönüşümlerinin zamanla değişimi (250 °C, O<sub>2</sub>/H<sub>2</sub>S=0,5)



Şekil 4.12. Kompleksleştirme ve birlikte çöktürme yöntemiyle hazırlanan Cr<sub>2,7</sub>Ce<sub>1,3</sub> katalizörü ile elde edilen kükürt seçiciliklerinin zamanla değişimi (250 °C, O<sub>2</sub>/H<sub>2</sub>S=0,5)

Birlikte çöktürme yöntemi ile hazırlanan Cr<sub>2,7</sub>Ce<sub>1,3</sub>-BC katalizörü kullanılarak gerçekleştirilen test sonucunda da %18 H<sub>2</sub>S dönüşümüne ve %88 kükürt seçiciliğine ulaşılmıştır. Kompleksleştirme metoduyla sentezlenen Cr<sub>2,7</sub>Ce<sub>1,3</sub> katalizörüne göre çok düşük H<sub>2</sub>S dönüşümü ve kükürt seçiciliği vermiştir (Şekil 4.13). Cr<sub>2,7</sub>Ce<sub>1,3</sub>-BC katalizörünün aktivitesinin düşük çıkması katalizörün yüzey alanının düşük olması ile açıklanabilir.



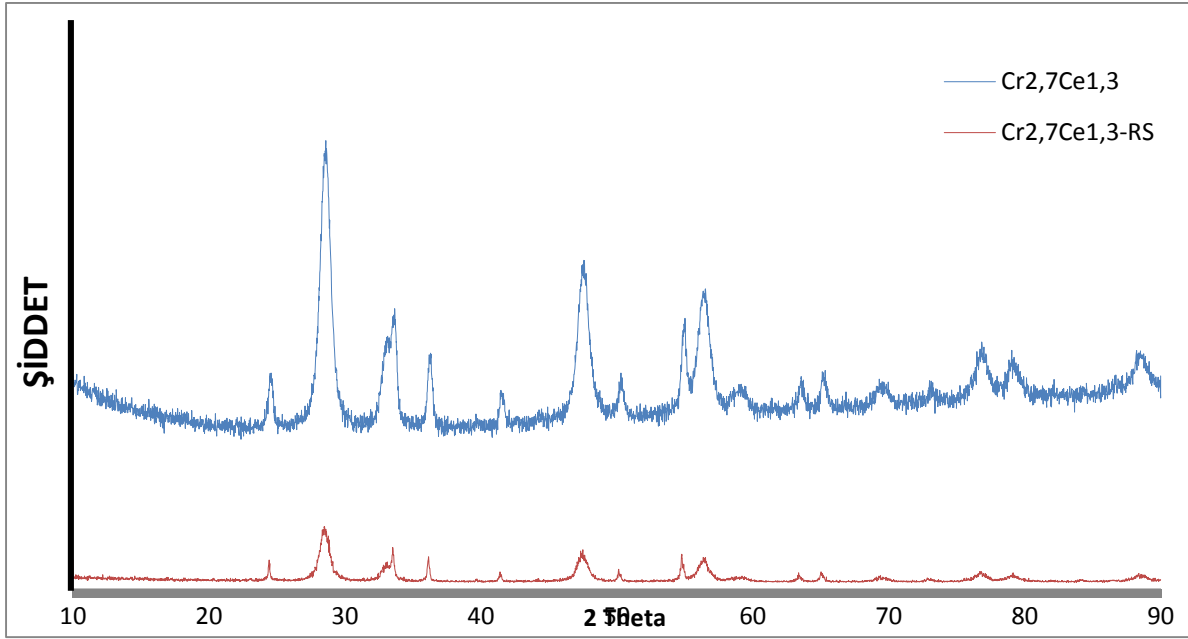
Şekil 4.13. Kompleksleştirme ve birlikte çöktürme yöntemiyle hazırlanan Cr<sub>2,7</sub>Ce<sub>1,3</sub> katalizörü ile elde edilen H<sub>2</sub>S dönüşüm ve kükürt seçicilikleri (250 °C, O<sub>2</sub>/H<sub>2</sub>S=0,5)

H<sub>2</sub>S'ün seçici katalitik oksidasyonu ile elementel kükürt eldesi reaksiyonu için birlikte çöktürme yöntemi ile hazırlanan Cr<sub>2,7</sub>Ce<sub>1,3</sub>-BC katalizörü kullanıldığında ilk 20 dakikalık bölümde H<sub>2</sub>S çıkışı gözlenmemiştir. Ancak yatışkın duruma gelindiğinde yüksek miktarda H<sub>2</sub>S çıkışının olması dönüşümü düşürmüştür. Aynı zamanda SO<sub>2</sub> gazının da çıkışının reaksiyon boyunca devam etmesi kükürt seçiciliğinin düşük olmasına sebep olmuştur.

#### 4.3.1. Reaksiyon sonrası katalizörlere ait karakterizasyon çalışmaları

H<sub>2</sub>S'ün seçici katalitik oksidasyonu ile elementel kükürt eldesi için sentezlenen ve reaksiyon testine tabi tutulan katalizörlerin kristal yapılarında herhangi bir değişiklik olup olmadığı, yeni yapıların ortaya çıkıp çıkmadığını belirleyebilmek adına reaksiyon sonrası katalizörlerin karakterizasyon çalışmaları yapılmıştır.

Şekil 4.14.' de Cr<sub>2,7</sub>Ce<sub>1,3</sub> katalizörüne ait reaksiyon öncesi ve sonrası XRD sonuçları verilmiştir.



Şekil 4.14. Reaksiyon öncesi ve sonrası Cr<sub>2,7</sub>Ce<sub>1,3</sub> katalizörünün XRD sonuçlarının karşılaştırılması

Şekil 4.14. incelendiğinde reaksiyon sonrası katalizörün XRD piklerinin şiddetlerinde bir azalma görülmüştür. Bunun sebebinin kristal yapının az da olsa amorflaşmaya doğru yönelmesi olduğu düşünülmektedir.

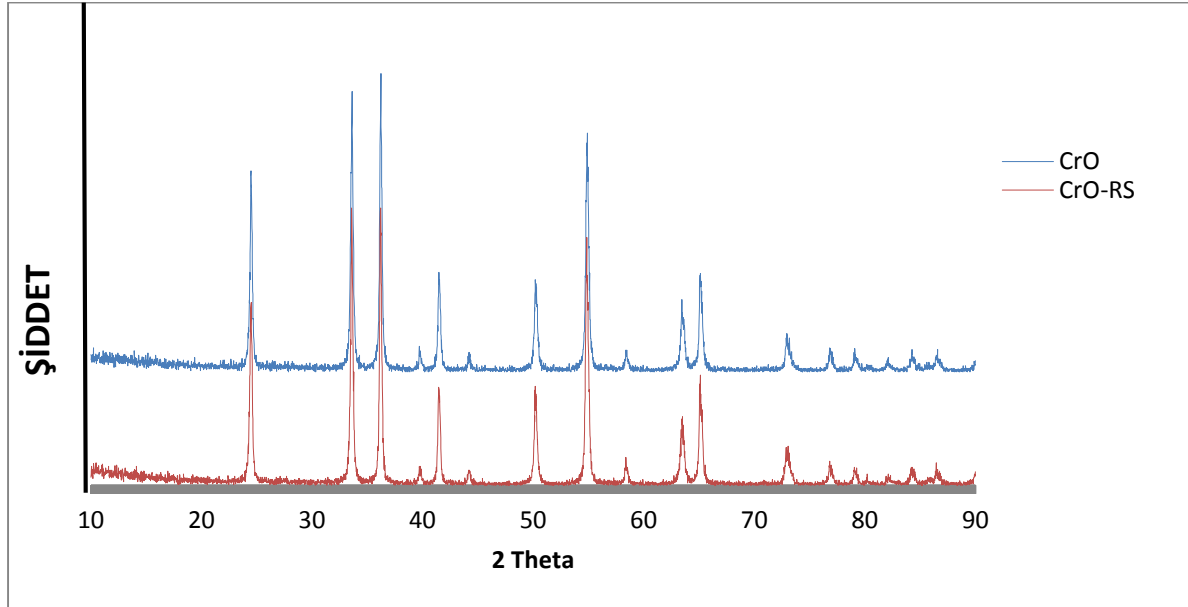
Çizelge 4.3’de Cr<sub>2,7</sub>Ce<sub>1,3</sub> katalizörünün reaksiyon öncesi ve sonrasındaki EDS ve BET sonuçları verilmiştir.

Çizelge.4.3. Reaksiyon sonrası Cr<sub>2,7</sub>Ce<sub>1,3</sub> katalizörünün EDS ve BET sonuçları

Katalizör	Reaksiyon Öncesi		Reaksiyon Sonrası		Reaksiyon Öncesi		Reaksiyon Sonrası Kristal Boyutu, nm
	Yüzey Alanı m <sup>2</sup> /g	BET Alanı	Yüzey Alanı m <sup>2</sup> /g	BET Alanı	Kristal Boyutu, nm	Kristal Boyutu, nm	
Cr <sub>2,7</sub> Ce <sub>1,3</sub>	20,7		20,7		8,3		8,7

Çizelge 4.3 incelendiğinde reaksiyon sonrası kristal boyutunda bir miktar artma söz konusudur. Bu durumun yapıdaki bazı parçacıkların birleşerek daha büyük parçaları oluşturabileceğinden kaynaklandığı düşünülmektedir. Ayrıca Çizelge 4.3’te yüzeyde kükürt birikmesinin olduğu gözlenmiştir.

Kompleksleştirme metoduyla sentezlenen ve içerisine Ce metali koyulmayan Cr-O katalizörünün reaksiyon sonrası XRD sonuçları Şekil 4.15’de verilmiştir.



Şekil 4.15. Reaksiyon öncesi ve sonrası Cr-O katalizörünün XRD sonuçlarının karşılaştırılması

Grafik incelendiğinde reaksiyon öncesi katalizörün XRD sonuçları ile reaksiyon sonrası XRD sonuçları arasında bir fark gözlenmemiştir. Bu durum katalizörde mevcut kristal yapının korunduğunu bize göstermektedir.

Çizelge 4.4’ de bu katalizörün reaksiyon öncesi ve sonrasındaki BET yüzey alanı ve kristal boyutu sonuçları verilmiştir.

Çizelge.4.4. Reaksiyon sonrası Cr-O katalizörünün EDS ve BET sonuçları

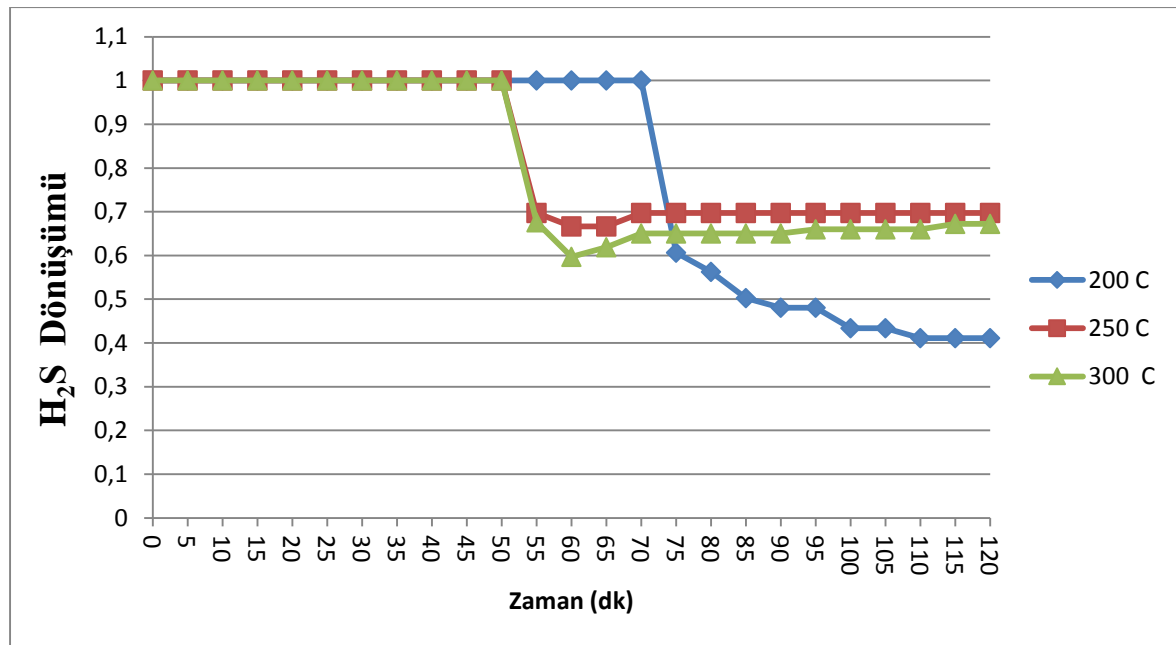
Katalizör	Reaksiyon Öncesi Yüzey Alanı m <sup>2</sup> /g	Reaksiyon Sonrası BET Alanı m <sup>2</sup> /g	Reaksiyon Sonrası S/Cr (Molar Oran)	Reaksiyon Öncesi Kristal Boyutu, nm	Reaksiyon Sonrası Kristal Boyutu, nm
Cr-O	6,7	5,7	0	38,2	38,9

Çizelge 4.4. incelendiğinde reaksiyon sonrasında katalizörün yüzey alanında ve tanecik boyutunun ise neredeyse aynı kaldığı tespit edilmiştir. Ayrıca EDS sonucunda katalizör yüzeyinde kükürt birikmesinin olmadığı gözlenmiştir. Uhm ve arkadaşları CrO<sub>x</sub>

katalizörünü  $H_2S$ 'ün elementel kükürde seçici katalitik oksidasyon reaksiyonunda kullanmışlar ve yüzey alanının düşük olduğunu belirtmişler [12]. Cr-O katalizörünün yüzey alanı  $6,7 \text{ m}^2/\text{g}$  çıkmıştır. Ayrıca reaksiyon sonrası yüzeyde kükürt birikmesi de aktiviteyi olumsuz etkilemiştir.

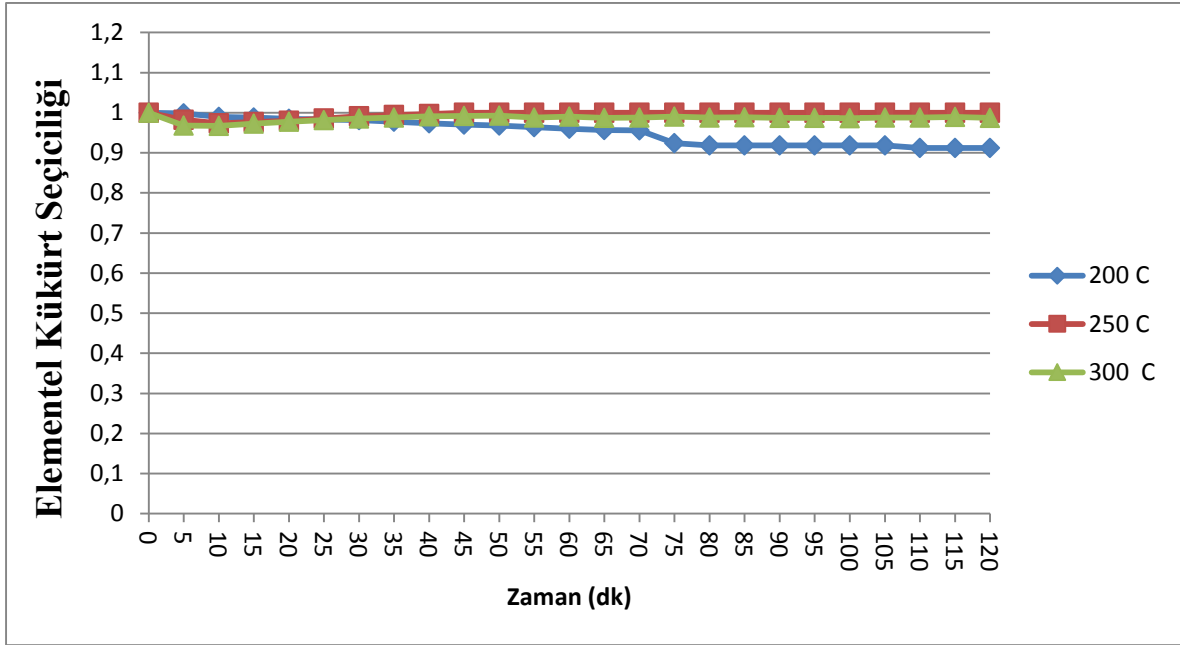
#### 4.4. Cr<sub>2,7</sub>Ce<sub>1,3</sub> Katalizörünün Farklı Reaksiyon Şartlarındaki Aktivite Testleri

Yaptığımız testler literatürde ideale yakın sıcaklık olarak tespit edilen  $250^\circ\text{C}$ 'de ve stokiometrik oranda gaz karışımı ile gerçekleştirilmiştir. Aktivite testlerini gerçekleştirdiğimiz katalizörlerden en yüksek  $H_2S$  dönüşümünü ve kükürt seçiciliğini Cr<sub>2,7</sub>Ce<sub>1,3</sub> katalizörü göstermiştir. Sıcaklığın  $H_2S$  dönüşümüne ve kükürt seçiciliğine etkisini araştırmak amacıyla Cr<sub>2,7</sub>Ce<sub>1,3</sub> katalizörünün farklı reaksiyon sıcaklıklarındaki ( $200^\circ\text{C}$ ,  $250^\circ\text{C}$  ve  $300^\circ\text{C}$ ) aktivitesi test edilmiştir. Sıcaklığın aktivite üzerine etkisini araştırmak için yapılan test sonuçları Şekil 4.16. ve Şekil 4.17.'de verilmiştir.



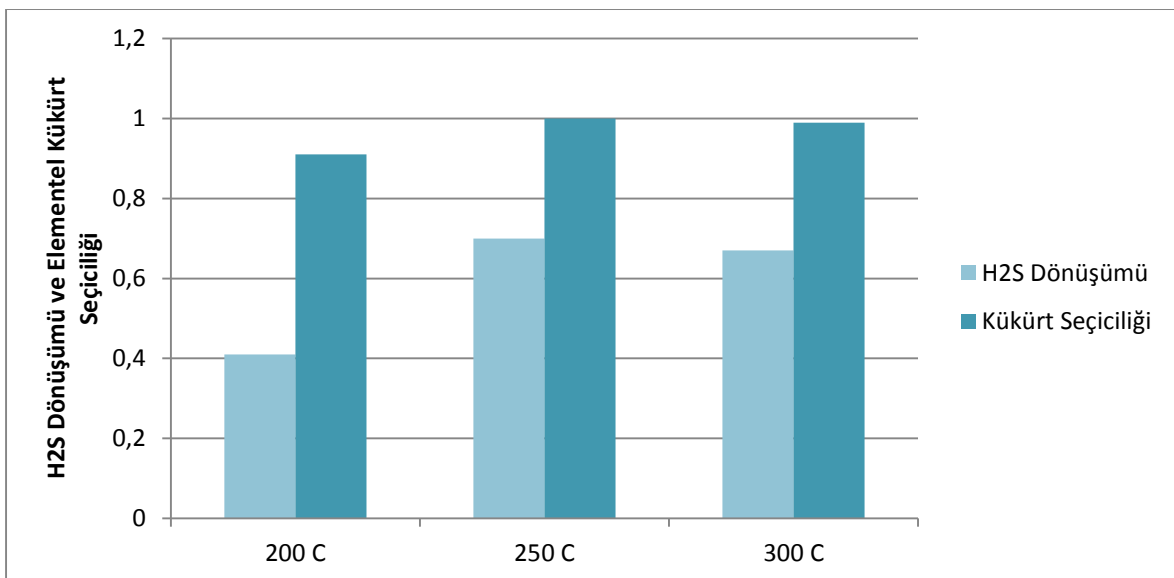
Şekil 4.16. Cr<sub>2,7</sub>Ce<sub>1,3</sub> katalizörünün farklı sıcaklıklardaki  $H_2S$  dönüşüm grafiği ( $O_2/H_2S=0,5$ )





Şekil 4.17. Cr<sub>2,7</sub>Ce<sub>1,3</sub> Katalizörünün farklı sıcaklıklardaki kükürt seçiciliği grafiği (O<sub>2</sub>/H<sub>2</sub>S=0,5)

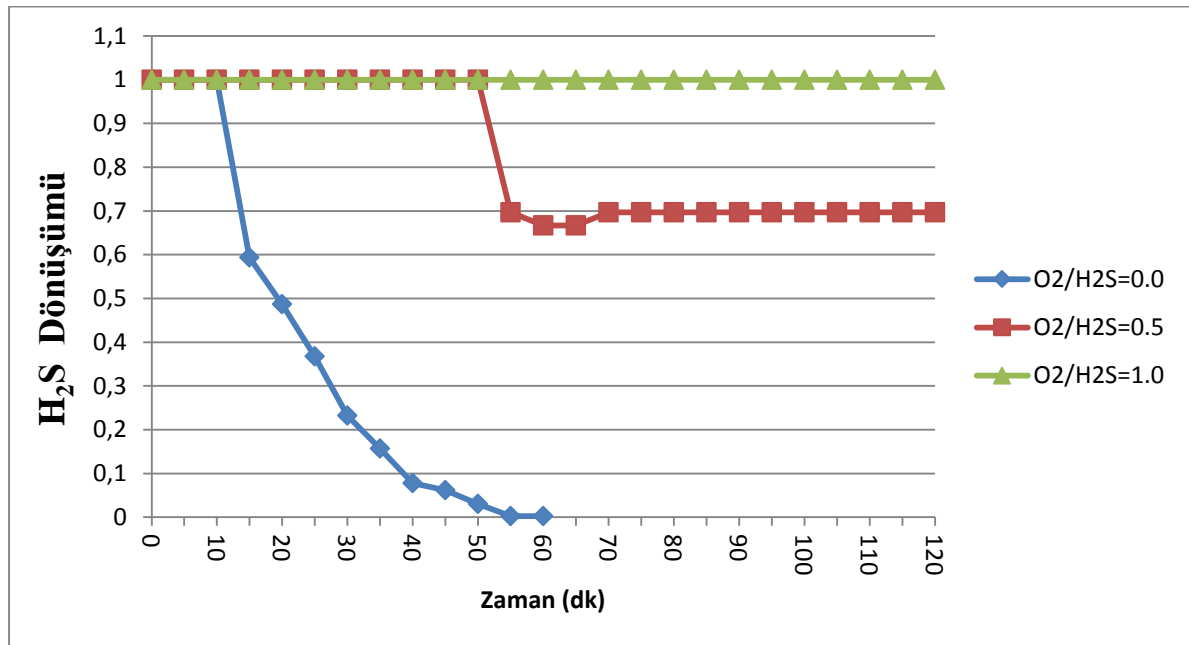
Şekil 4.16. ve 4.17. incelendiğinde H<sub>2</sub>S'ün seçici katalitik oksidasyonu ile elementel kükürt eldesi için kullanılan Cr<sub>2,7</sub>Ce<sub>1,3</sub> katalizörünün 200°C sıcaklıkta H<sub>2</sub>S dönüşümünün yaklaşık %40'larda 250 ve 300°C sıcaklıklarda ise yaklaşık %70 olduğu görülmüştür. Şekil 4.18. incelendiğinde kükürt seçiciliklerinin üç durumda da %90'nın üzerinde olduğu hatta 250 ve 300°C sıcaklıkta hemen hemen %100 olduğu görülmüştür.



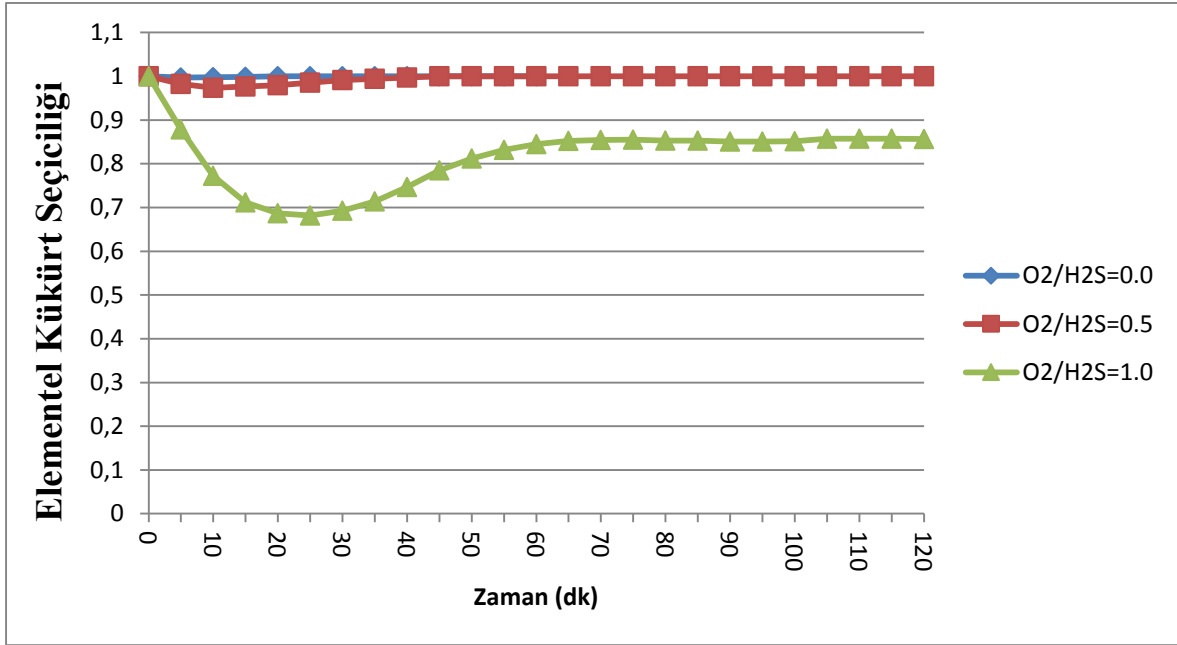
Şekil 4.18. Kompleksleştirme yöntemiyle hazırlanan Cr<sub>2,7</sub>Ce<sub>1,3</sub> katalizörünün farklı sıcaklıklardaki H<sub>2</sub>S dönüşüm ve kükürt seçicilikleri (O<sub>2</sub>/H<sub>2</sub>S=0,5)

Şekil 4.18’ de görüldüğü gibi Cr<sub>2,7</sub>Ce<sub>1,3</sub> katalizörü ile gerçekleştirilen reaksiyon test çalışmalarında 200°C’teki H<sub>2</sub>S dönüşümü çok düşük çıkmıştır. Yine seçicilik de diğer sıcaklıklara göre düşük olmuştur. Yaşyerli ve arkadaşları Ce<sub>2</sub>V<sub>2</sub> katalizörünü H<sub>2</sub>S’ ün elementel kükürde seçici katalitik oksidasyon reaksiyonunda kullanmışlar ve düşük sıcaklıklarda katalizörün redoks yeteneğinin düşük olduğunu ifade etmişlerdir [16]. 200 °C sıcaklık seryum içerikli katalizörün redoks özelliğini olumsuz etkilediği ve kükürdün çığlenme noktasına yakın bir sıcaklık olduğu için katalizör aktivitesini düşürdüğü düşünülmektedir.

H<sub>2</sub>S’ün seçici katalitik oksidasyonu ile elementel kükürt eldesinde hazırlamış olduğumuz Cr<sub>2,7</sub>Ce<sub>1,3</sub> katalizörü üzerinde gaz karışımının aktiviteye etkisini araştırmak için O<sub>2</sub>/H<sub>2</sub>S=0 (oksijensiz) ve O<sub>2</sub>/H<sub>2</sub>S=1 (aşırı oksijenli) olan ve sıcaklığın 250°C olduğu ortamda reaksiyon gerçekleştirilmiştir. Oksijensiz ve aşırı oksijenli ortamda gerçekleştirilen reaksiyonların H<sub>2</sub>S dönüşümü ve kükürt seçicilikleri sonuçları Şekil 4.19. ve Şekil 4.20.’de verilmiştir.



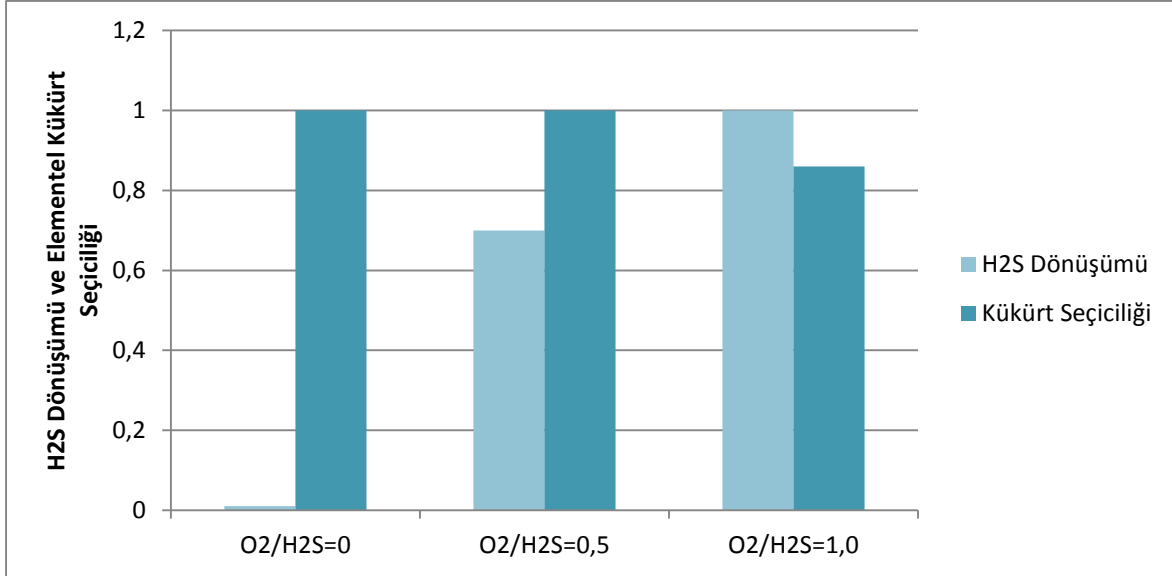
Şekil 4.19. Cr<sub>2,7</sub>Ce<sub>1,3</sub> katalizörünün farklı gaz karışımlarındaki H<sub>2</sub>S dönüşüm grafiği (250 °C sıcaklık)



Şekil 4.20. Cr<sub>2,7</sub>Ce<sub>1,3</sub> katalizörünün farklı gaz karışımlarındaki kükürt seçiciliklerinin grafiği (250 °C sıcaklık)

Şekil 4.19. ve 4.20. incelendiğinde O<sub>2</sub>/H<sub>2</sub>S oranı 0 olduğunda yani oksijensiz ortamda test gerçekleştiğinde reaksiyonun 45 dakika gerçekleşebildiği görülmüştür ve H<sub>2</sub>S dönüşümü %0'a düşmüştür. Bu süre boyunca katalizör yapısındaki oksijen ile H<sub>2</sub>S gazının reaksiyona girdiği düşünülmektedir. O<sub>2</sub>/H<sub>2</sub>S oranı 1 olduğunda ise dönüşümün %100'e ulaştığı fakat seçiciliğin %86'lara düştüğü tespit edilmiştir. Seçiciliğin düşmesi sürekli SO<sub>2</sub> gazının açığa çıkması olmuştur. Bunun sebebi olarak da yan reaksiyonların gerçekleşmiş olabileceği düşünülmektedir. Reaksiyon 1.5'e göre oksijenin artması SO<sub>2</sub>'in artmasına sebep olmakta, bu da seçiciliği düşürmektedir.

Şekil 4.21 de kompleksleştirme yöntemi ile sentezlenen Cr<sub>2,7</sub>Ce<sub>1,3</sub> katalizörünün farklı besleme gazı oranlarındaki dönüşüm ve seçicilik sonuçlarının karşılaştırılması verilmiştir.



Şekil 4.21. Kompleksleştirme yöntemiyle hazırlanan Cr<sub>2,7</sub>Ce<sub>1,3</sub> katalizörünün farklı besleme oranlarındaki H<sub>2</sub>S dönüşüm ve kükürt seçicilikleri (sıcaklık: 250 °C)

Şekil 4.21 incelendiğinde oksijen miktarının arttıkça H<sub>2</sub>S dönüşümünün arttığı fakat kükürt seçiciliğinin düştüğü görülmüştür. Stokiyometrik oranın altında oksijen kullanıldığında reaksiyonun çok kısa sürede bittiği ve belli bir süre sonra H<sub>2</sub>S dönüşümünün sıfır olduğu tespit edilmiştir.

#### 4.5. Silika Destekli Cr ve Ce Katalizörlerinin Sonuçları ve Değerlendirilmesi

H<sub>2</sub>S'ün seçici katalitik oksidasyonu ile elementel kükürt eldesi için kompleksleştirme yoluyla Cr-O, Cr<sub>3</sub>Ce, Cr<sub>2,7</sub>Ce<sub>1,3</sub>, Cr<sub>2</sub>Ce<sub>2</sub> ve Cr<sub>2</sub>Ce<sub>2</sub>-EA katalizörleri hazırlanmış ve reaksiyon testleri gerçekleştirilmiştir. Bu bölümde katalizörlerin yüzey alanını artırmak için Cr ve Ce metallerine bazı destek maddeleri sağlanmıştır. Kompleksleştirme yoluyla Cr<sub>2,7</sub>Ce<sub>1,3</sub>-SiO<sub>2</sub> sentezlenmiştir. Aynı zamanda daha önceden emdirme yoluyla sentezlenen Cr@SiO<sub>2</sub> ile Cr@MCM-41 katalizörleri de reaksiyon testine tabi tutulmuştur [25].

##### 4.5.1. Silika destekli Cr ve Ce katalizörlerinin reaksiyon öncesi karakterizasyon çalışmaları sonuçları

Kompleksleştirme yoluyla sentezlenen Cr<sub>2,7</sub>Ce<sub>1,3</sub>-SiO<sub>2</sub> katalizörü ile emdirme yoluyla sentezlenen Cr@SiO<sub>2</sub> ve Cr@MCM-41 katalizörlerinin fiziksel ve yapısal

özelliklerini belirlemek için bazı karakterizasyon çalışmaları gerçekleştirilmiştir. Katalizörün yığın faz yapısını ve parçacık boyutunu belirlemek için XRD, metallerin atomik konsantrasyonlarının belirlenmesi için EDS analizi, yüzey alanlarının hesabı için tek nokta BET analizi ve yüzeyin kimyasal kompozisyonunu, faz geçişlerini belirlemek için SEM analizi yapılmıştır.

#### Silika destekli katalizörlerin enerji dispersif X-ışını spektroskopisi EDS ve BET yüzey alanı sonuçları;

Katalizörlerin sentezlenen mol oranlarıyla EDS sonucundaki mol oranlarını karşılaştırılmıştır. Karşılaştırma sonuçları Çizelge 4.5’ te görülmektedir. Sentezlenen katalizörlerin tek nokta BET yüzey alanları ve tanecik boyutları da hesaplanmıştır. Hesaplama sonuçları Çizelge 4.5’ te verilmiştir.

Çizelge 4.5. Silika destekli Cr ve Ce katalizörlerinin EDS ve BET sonuçları

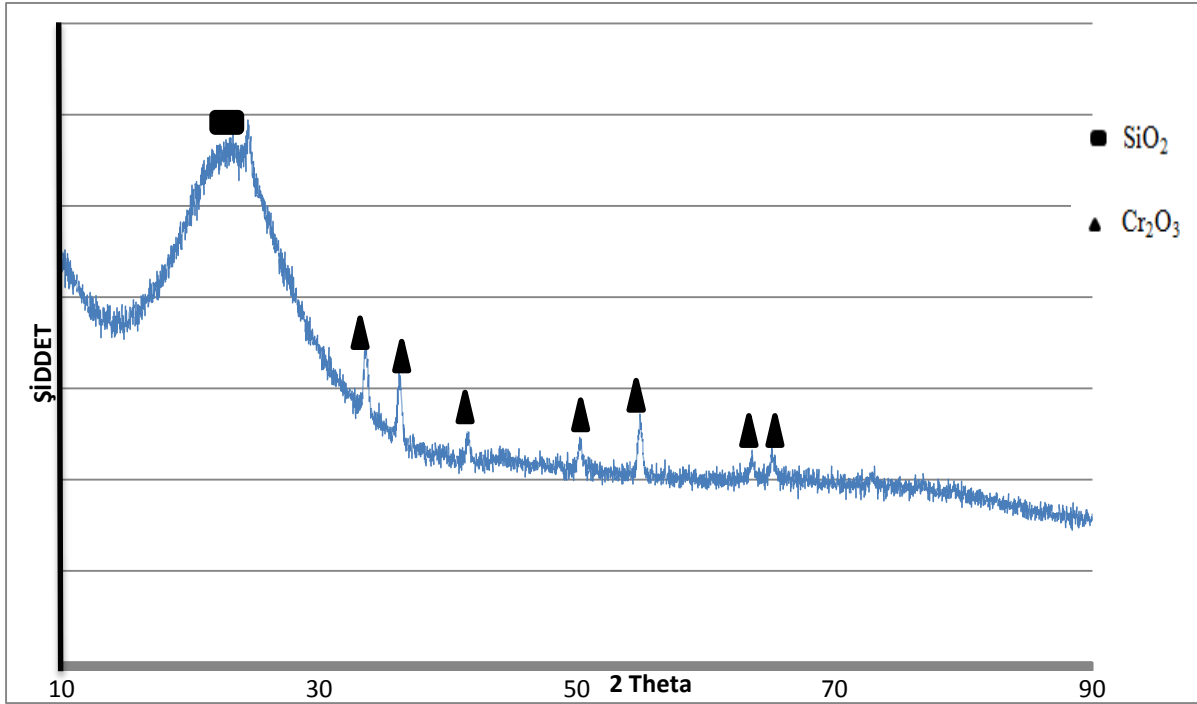
Katalizör	Kütlesel Metal Oranı	EDS ile Belirlenen Kütlesel Metal Oranı	BET Yüzey Alanı m <sup>2</sup> /g	Kristal Boyutu, nm, (Scherrer eşitliği)
Cr@SiO <sub>2</sub> *	Cr/Si=0,06	Cr/Si=0,06	347	1,4
Cr@MCM-41 *	Cr/Si=0,06	Cr/Si=0,05	663	---
Cr <sub>2,7</sub> Ce <sub>1,3</sub> -SiO <sub>2</sub>	Cr/Si=0,06 Cr/Ce=2,00	Cr/Si=0,04 Cr/Ce=1,97	663	3,2

\*Lisans araştırma projesi kapsamında çalışma gurubumuz tarafından sentezlenmiştir.

Çizelge 4.5. incelendiğinde katalizörlerdeki metallerin sentezlenen mol oranları ile EDS sonucu mol oranları birbirine yakındır. Bu da istenen metal oranlarının sağlanabildiğini göstermektedir.

#### Silika destekli katalizörlerin XRD ile yapı tayini;

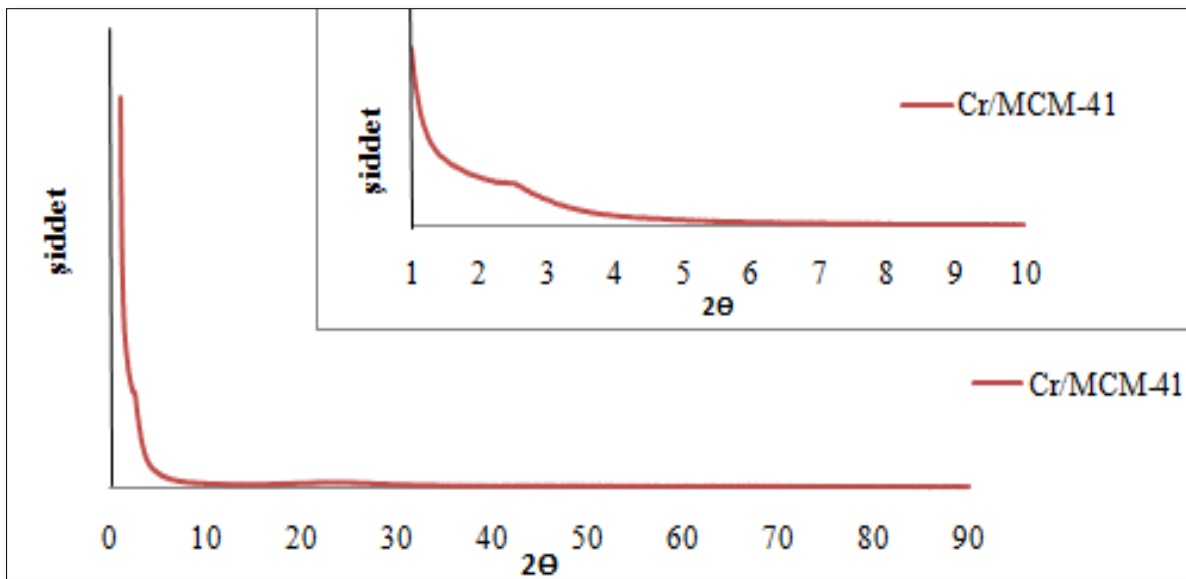
Katalizörlerin yığın faz yapısını belirlemek için XRD analizleri gerçekleştirilmiştir. Şekil 4.22’de Cr@SiO<sub>2</sub> katalizörüne ait XRD sonuçları verilmiştir.



Şekil 4.22. Aktivite testi öncesi Cr@SiO<sub>2</sub> katalizörünün XRD sonuçları [26]

Şekil 4.22. incelendiğinde Cr@SiO<sub>2</sub> katalizörünün yapısında SiO<sub>2</sub> ve Cr<sub>2</sub>O<sub>3</sub>'e ait pikler görülmüştür.

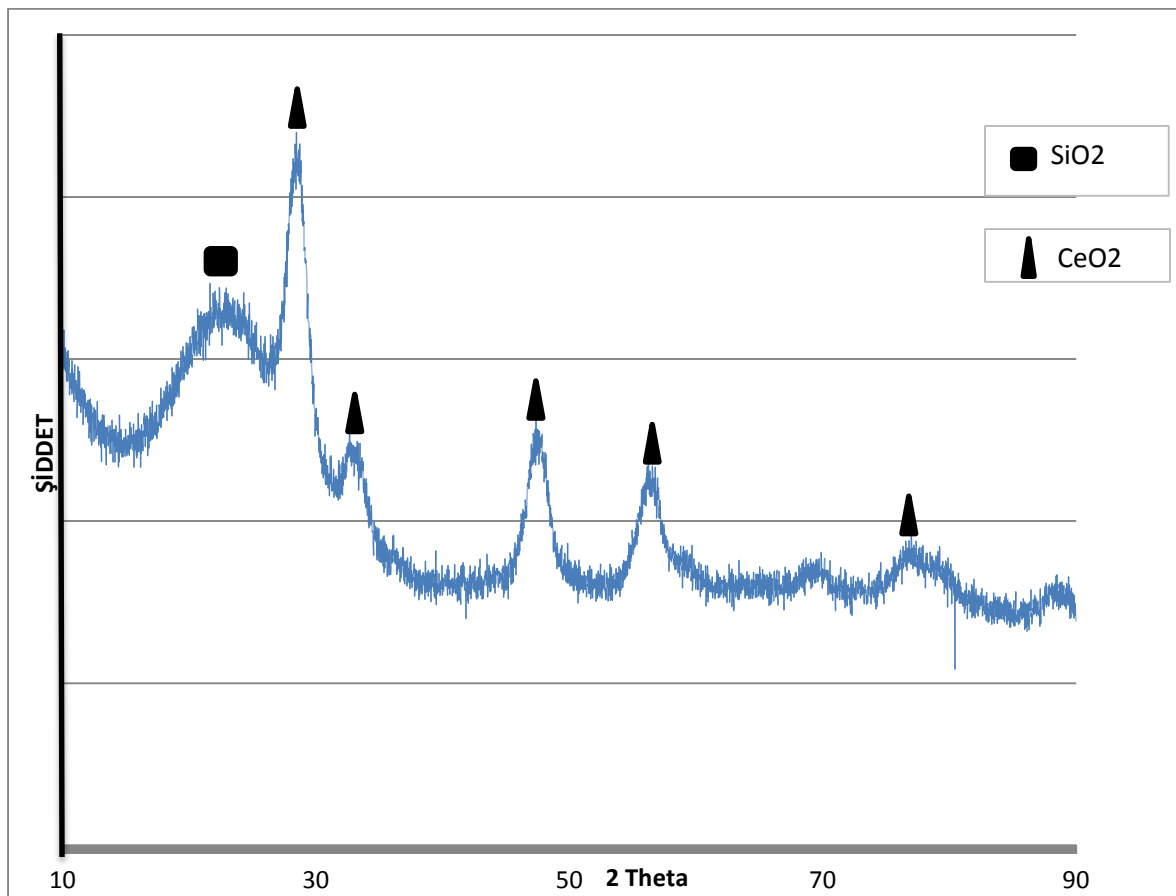
MCM-41 destek maddesinin üzerine krom emdirilerek hazırlanan katalizörün XRD sonuçları Şekil 4.23.' de verilmiştir.



Şekil 4.23. Aktivite testi öncesi Cr@MCM-41 katalizörünün XRD sonuçları [26]

Cr/MCM-41 katalizörünün X-ışını kırınım deseni değerleri,  $2\theta$  açısının  $1^{\circ}$ - $10^{\circ}$  ve  $1^{\circ}$ - $90^{\circ}$  olduğu değerlerde şiddete karşı grafiğe geçirilmiştir. Grafikler incelendiğinde Cr metaline ait pik gözlenmemiştir. Metale ait pik gözlenmemesi, katalizör yapısında metalin amorf fazda bulunması ve yapıya iyi dağılmış olduğunu gösterir. Ayrıca metalin, analiz edilemeyecek kadar küçük boyutta olması ile de açıklanabilir [26].

Kompleksleştirme yöntemi ile sentezlenen  $\text{Cr}_{2,7}\text{Ce}_{1,3}\text{-SiO}_2$  katalizörüne ait XRD sonucu Şekil 4.24' te verilmiştir.



Şekil 4.24. Aktivite testi öncesi  $\text{Cr}_{2,7}\text{Ce}_{1,3}\text{-SiO}_2$  katalizörünün XRD sonuçları

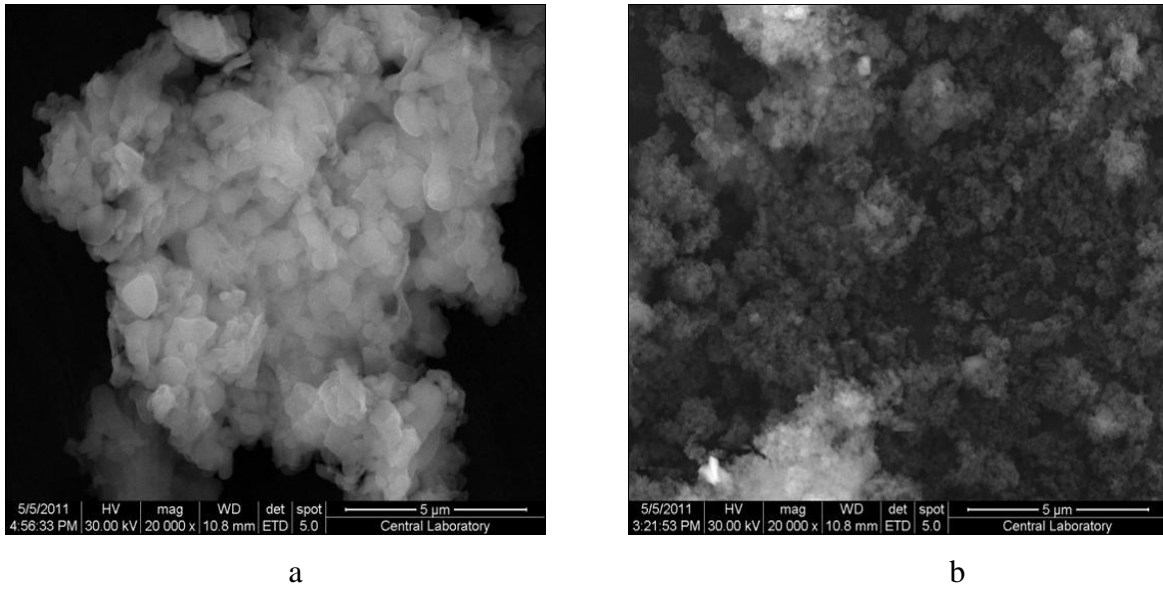
Şekil 4.24. incelendiğinde  $\text{CeO}_2$  ve  $\text{SiO}_2$  ait olan pikler tespit edilmiştir.  $\text{CeO}_2$  ve  $\text{SiO}_2$  bileşiklerine ait piklerin literatürle karşılaştırıldığı çizelge EK-6'da verilmiştir.

$\text{H}_2\text{S}$ 'ün seçici katalitik oksidasyonu ile elementel kükürt eldesi için destek maddesi kullanılarak sentezlenen katalizörlerin XRD sonuçları incelendiğinde; Cr@MCM-41 katalizöründe herhangi bir metal pikine rastlanmamıştır. Cr@ $\text{SiO}_2$  katalizöründe  $\text{SiO}_2$  piki

ve  $\text{Cr}_2\text{O}_3$  piki gözlenmiştir. Kompleksleştirme yöntemi ile sentezlenen  $\text{Cr}_{2,7}\text{Ce}_{1,3}\text{-SiO}_2$  katalizöründe ise yine  $\text{SiO}_2$  piki ve  $\text{CeO}_2$  piki gözlenmiştir.

#### SEM ile yüzey morfolojisi tayini:

Malzemenin yüzey morfolojisinin belirlenmesi amacıyla yapılan SEM analizleri Orta Doğu Teknik Üniversitesi Merkez Laboratuvarı'nda Quanta 400F Field cihazında yapılmıştır.



Resim 4.1. Emdirme yöntemiyle hazırlanan destekli katalizörlerin SEM görüntüleri  
a)Cr@MCM-41 katalizörüne ait SEM görüntüsü b) Cr@SiO<sub>2</sub> katalizörüne ait SEM görüntüsü [26]

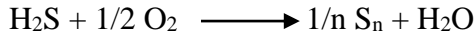
SEM fotoğrafları incelendiğinde morfolojik yapının düzgün olduğu gözlenmiştir. Her iki SEM fotoğrafında da malzemelerin gözenekli yapıda oldukları görülmektedir. Cr/SiO<sub>2</sub> için SEM fotoğrafına bakıldığında Cr-MCM-41'e göre daha bulutsu yapıda olduğu görülmektedir [26].

#### **4.5.2. Silika destekli Cr ve Ce katalizörlerinin reaksiyon test çalışmaları ve sonuçları**

Yüksek lisans tez çalışması kapsamında H<sub>2</sub>S'ün elementel kükürde seçici katalitik oksidasyon reaksiyonunda kullanılmak üzere yüksek H<sub>2</sub>S dönüşümü ve elementel kükürt seçiciliği veren katalizörler geliştirmek amaçlanmıştır.

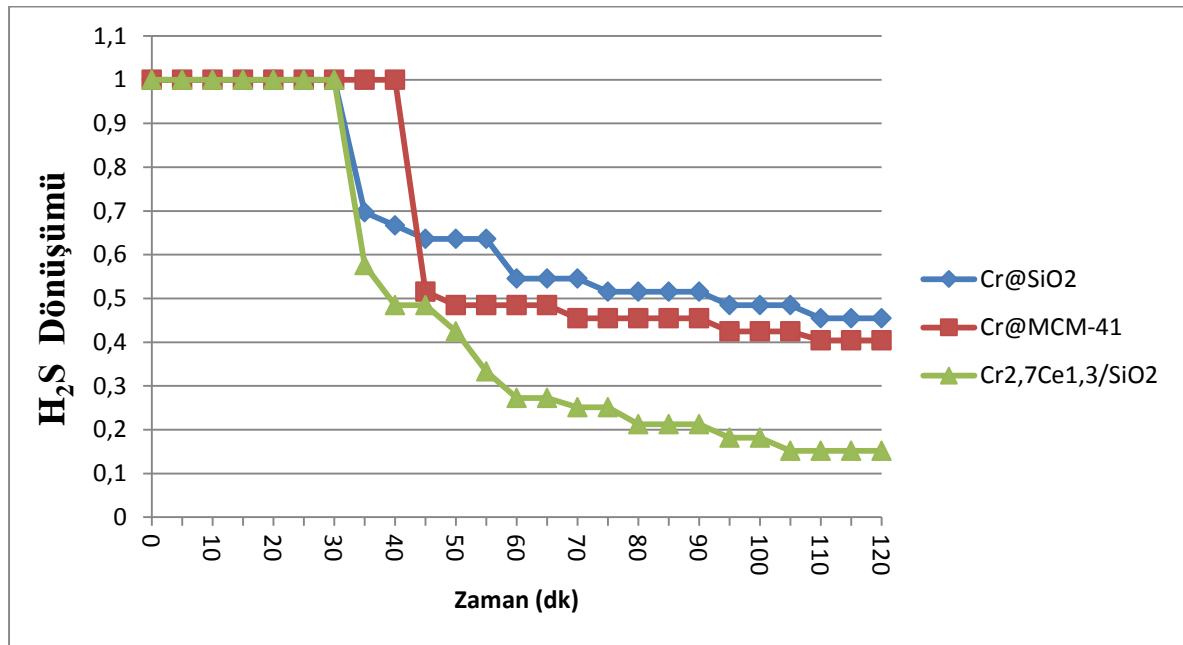


Seçici Katalitik Oksidasyon Reaksiyonu (Eşitlik 1.3);

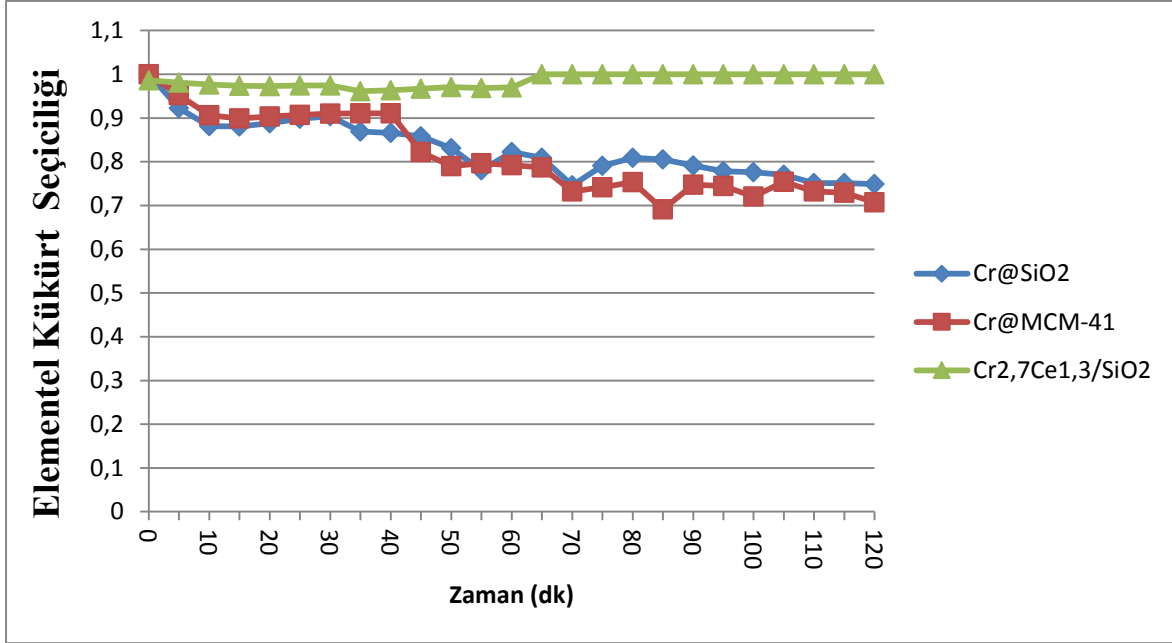


Bu amaç doğrultusunda kompleksleştirme yöntemiyle CrO, Cr<sub>3</sub>Ce, Cr<sub>2,7</sub>Ce<sub>1,3</sub>, Cr<sub>2</sub>Ce<sub>2</sub> ve Cr<sub>2</sub>Ce<sub>2</sub>-EA katalizörleri hazırlanmıştır. Bu katalizörlerin bazılarında destek maddesi eklenerek reaksiyon aktiviteleri incelenmiştir. Bu amaçla kompleksleştirme metoduyla Cr<sub>2,7</sub>Ce<sub>1,3</sub>-SiO<sub>2</sub> katalizörü sentezlenmiştir. Emdirme metoduyla hazırlanmış Cr@SiO<sub>2</sub> ve Cr@MCM-41 katalizörleri de kullanılmıştır.

Silika destekli Cr ve Ce içerikli katalizörler 250°C’de ve O<sub>2</sub>/H<sub>2</sub>S oranının 0,5 olduğu durumda 120 dakika boyunca katalitik teste tabi tutulmuştur. Bu test sonucunda H<sub>2</sub>S dönüşümü ve kükürt seçicilikleri hesaplanmış ve karşılaştırma grafikleri çizilmiştir. Şekil 4.25. ve 4.26.’de SiO<sub>2</sub> destekli bu üç katalizörün H<sub>2</sub>S dönüşümü ve kükürt seçicilikleri sonuçları verilmiştir.



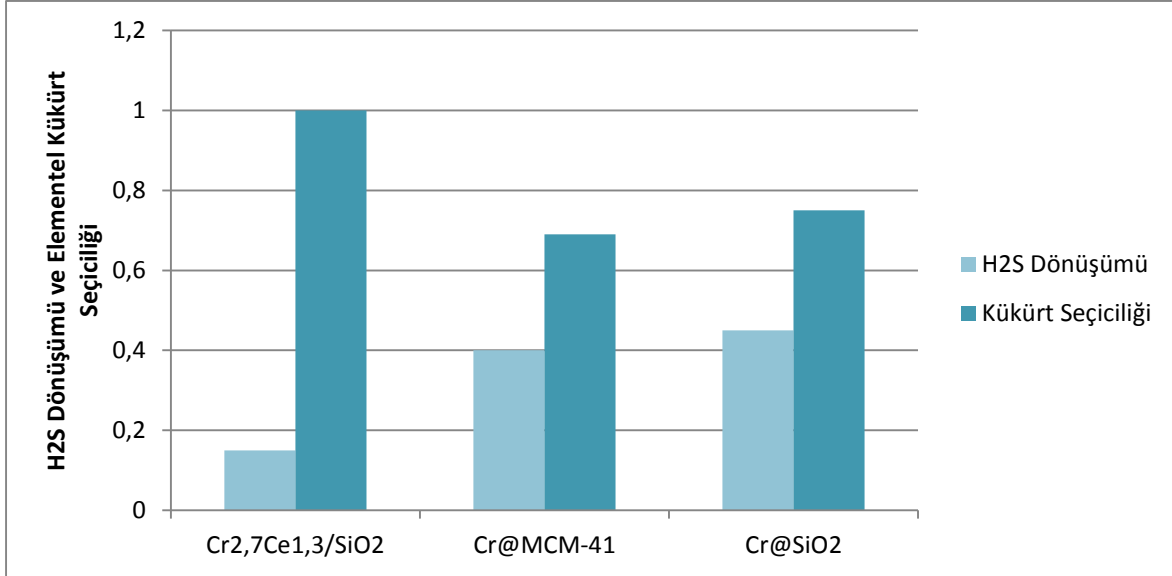
Şekil 4.25. SiO<sub>2</sub> destekli Cr ve Ce katalizörlerinin H<sub>2</sub>S dönüşümlerinin zamanla değişimi (250 °C, O<sub>2</sub>/H<sub>2</sub>S:0,5)



Şekil 4.26. SiO<sub>2</sub> destekli Cr ve Ce katalizörlerinin kükürt seçiciliklerinin zamanla değişimi (250 °C, O<sub>2</sub>/H<sub>2</sub>S:0,5)

120 dakika sonunda Cr@SiO<sub>2</sub> katalizörünün H<sub>2</sub>S dönüşümü yaklaşık olarak %45, kükürt seçiciliği ise %75 civarında olmuştur. Emdirme metoduyla hazırlanan Cr@MCM-41 katalizörünün aynı şartlardaki H<sub>2</sub>S dönüşümü yaklaşık olarak %40, kükürt seçiciliği ise %69 olmuştur. Bir önceki çalışmada en yüksek H<sub>2</sub>S dönüşümü ve kükürt seçiciliğini elde ettiğimiz Cr<sub>2,7</sub>Ce<sub>1,3</sub> katalizörüne SiO<sub>2</sub> desteği sağlanarak elde ettiğimiz Cr<sub>2,7</sub>Ce<sub>1,3</sub>-SiO<sub>2</sub> katalizörünün H<sub>2</sub>S dönüşümü de yaklaşık olarak %15, kükürt seçiciliği ise %100 olmuştur.

Şekil 4.27.' da bu üç katalizörün H<sub>2</sub>S dönüşüm ve kükürt seçiciliklerinin karşılaştırılması verilmiştir.



Şekil 4.27. SiO<sub>2</sub> destekli Cr-Ce katalizörlerinin H<sub>2</sub>S dönüşüm ve kükürt seçicilikleri (250 °C, O<sub>2</sub>/H<sub>2</sub>S:0,5)

Şekil 4.27 incelendiğinde Cr@SiO<sub>2</sub> katalizörünün H<sub>2</sub>S dönüşümü diğerlerine göre daha fazla çıkmıştır. Kükürt seçicilikleri incelendiğinde ise Cr<sub>2,7</sub>Ce<sub>1,3</sub>-SiO<sub>2</sub> katalizörünün diğer iki katalizörden çok daha fazla çıkarak %100 olmuştur. Cr-O katalizörünün aktivitesi silika destekli krom içerikli katalizörlerle hemen hemen aynı olmuştur. Fakat Cr<sub>2,7</sub>Ce<sub>1,3</sub> katalizörüne silika desteği sağladığımızda yüzey alanının artmasına rağmen aktivite düşmüştür. Bunun sebebinin yapıdaki krom miktarının diğer katalizörlere göre daha az olmasından kaynaklandığı düşünülmektedir. Cr@SiO<sub>2</sub> ve Cr@MCM-41'deki krom miktarı kütlece %30 iken, Cr<sub>2,7</sub>Ce<sub>1,3</sub>-SiO<sub>2</sub> katalizörünün krom içeriği kütlece %10'dur.

## 5. SONUÇLAR VE ÖNERİLER

Bu çalışmada H<sub>2</sub>S'ün seçici katalitik oksidasyon reaksiyonunda kullanılmak üzere kompleksleştirme yöntemiyle Cr-O, Cr<sub>3</sub>Ce, Cr<sub>2,7</sub>Ce<sub>1,3</sub>, Cr<sub>2</sub>Ce<sub>2</sub>, Cr<sub>2</sub>Ce<sub>2</sub>-EA ve Cr<sub>2,7</sub>Ce<sub>1,3</sub>-SiO<sub>2</sub> katalizörleri sentezlenmiştir. Sentezlenen katalizörlerin fiziksel ve yapısal özelliklerinin belirlenmesi amacıyla XRD, SEM, EDS, BET yüzey alanı analizleri gerçekleştirilmiştir. Sentez ve karakterizasyon işlemi gerçekleştirilen katalizörlerin H<sub>2</sub>S'ün elementel kükürde seçici katalitik oksidasyon reaksiyonundaki aktiviteleri dolgu kolon reaktör sisteminde incelenmiştir. Çalışma kapsamında besleme gaz karışımının, reaksiyon sıcaklığının ve katalizör yapısındaki metal oranının katalitik aktivite üzerine etkileri incelenmiştir. Reaksiyon sonrası gerçekleştirilen XRD, EDS ve BET yüzey alanı analizleri ile katalitik aktivite sonuçları yorumlanmaya çalışılmıştır. Çalışma kapsamında elde edilen sonuçlar aşağıda özetlenmiştir:

- Sentezlenen katalizörlerin yüzey alanları dikkate alındığında, desteksiz olarak kompleksleştirme yöntemi ile sentezlenen katalizörlerden en yüksek yüzey alanı 42,1 m<sup>2</sup>/g ile eş molar oranda hazırlanan Cr<sub>2</sub>Ce<sub>2</sub> katalizörüne ait olduğu tespit edilmiştir. Destekli katalizörlerin yüzey alanları beklenildiği gibi oldukça yüksek çıkmıştır.
- EDS analizleri, katalizör yapısındaki metallerin yapıya istenilen oranlarda yerleştirildiğini göstermiştir.
- XRD analiz sonuçları incelendiğinde Cr-Ce katalizörlerinde CeO<sub>2</sub> ve Cr<sub>2</sub>O<sub>3</sub> pikine, sadece Cr içeren katalizörde Cr<sub>2</sub>O<sub>3</sub> pikine rastlanmıştır. Destekli malzemelerde ise SiO<sub>2</sub> piki tespit edilirken, Cr@MCM-41 katalizöründe sadece MCM-41'in karakteristik piki gözlenmiştir.
- Hazırlanan katalizörler 250°C sıcaklık ve O<sub>2</sub>/H<sub>2</sub>S: 0,5 şartlarında sonuçları incelenmiştir. En yüksek dönüşüm ve seçicilik Cr/Ce:2 oranında olan Cr<sub>2,7</sub>Ce<sub>1,3</sub> katalizörü üzerinde elde edilmiştir. Silika destekli katalizörlerde de en yüksek dönüşüm Cr@SiO<sub>2</sub> katalizöründe elde edilirken, en yüksek seçicilik Cr<sub>2,7</sub>Ce<sub>1,3</sub>-SiO<sub>2</sub> katalizöründe elde edilmiştir. Bu üç katalizör karşılaştırıldığında ise en yüksek dönüşüm ve seçicilik kompleksleştirme metoduyla sentezlenen Cr<sub>2,7</sub>Ce<sub>1,3</sub> katalizöründe elde edilmiştir.
- Sentez yönteminin aktiviteye etkisinin tespiti için Cr<sub>2,7</sub>Ce<sub>1,3</sub> katalizörünün birlikte çöktürme yöntemiyle hazırlanmış olanı aynı şartlarda reaksiyon testine tabi

tutulmuştur. Kompleksleştirme yöntemine göre hem H<sub>2</sub>S dönüşümü hem de kükürt seçiciliği düşük çıkmıştır.

- Sentezlenen katalizörlerden Cr<sub>2,7</sub>Ce<sub>1,3</sub> katalizörü çalışma şartları göz önüne alındığında en yüksek aktiviteyi sergileyen katalizör olarak ön plana çıkmıştır. Bu katalizörü 200°C sıcaklıkta reaksiyona tabi tutulduğunda H<sub>2</sub>S dönüşümü ve elementel kükürt seçiciliği düşmüştür. Reaksiyon sıcaklığını 300°C'ye çıkarttığımızda ise H<sub>2</sub>S dönüşümü ve elementel kükürt seçiciliği hemen hemen aynı kalmıştır.
- Cr<sub>2,7</sub>Ce<sub>1,3</sub> katalizörünün farklı besleme gaz oranlarında reaksiyon testleri gerçekleştirilmiştir. Oksijensiz ortamda gerçekleştirilen reaksiyonda sisteme gönderilen H<sub>2</sub>S 45.dakika sonunda reaktörü tamamen terk etmiştir. O<sub>2</sub>/H<sub>2</sub>S: 1,0 olduğunda ise dönüşümün %100 çıktığı seçiciliğin de %86'ya düştüğü tespit edilmiştir.
- Kompleksleştirme yöntemi sırasında çözücü olarak etil alkolün kullanılması büyük oranda zaman ve enerji tasarrufu sağlarken sonuçlara olumsuz bir etkisinin olmadığı tespit edilmiştir.

Özellikle petrol rafinerileri ve kömür gazlaştırma proseslerinden yan ürün olarak ortaya çıkan H<sub>2</sub>S gazı Claus Proses'lerinde tam olarak giderilememektedir. Yasal zorunlulukların getirdiği yükümlülükler ve kar oranının artırılmak istenmesinden dolayı H<sub>2</sub>S gazının tamamına yakını giderilmek istenmektedir. Bu yüzden H<sub>2</sub>S seçici katalitik oksidasyon reaktörleri prosese entegre edilmektedir. Bu sayede H<sub>2</sub>S gazının tamamına yakını giderilebilmektedir. Buradaki en önemli unsur seçici oksidasyon reaksiyonunda yüksek aktivite ve karalılık gösteren katalizörlerin geliştirilmesidir. Gerçekleştirilen çalışmada özellikle kompleksleştirme metoduyla sentezlenen Cr<sub>2,7</sub>Ce<sub>1,3</sub> katalizörünün üzerinde değişiklik yaparak daha iyi sonuçlar elde edilebileceği düşünülmektedir.

H<sub>2</sub>S'ün seçici katalitik oksidasyonu ile ilgili gerçekleştirilecek çalışmalara bazı öneriler getirilebilir.

- Petrol rafinerilerinde kullanılan Claus Prosesinin beslemesinde asit gaz denilen ve içerisinde ağırlıklı olarak NH<sub>3</sub>, hidrokarbon çeşitleri ve H<sub>2</sub>S gaz karışımı kullanılmaktadır [26]. Petrol rafinerilerindeki bu asit gaza uygun karışım hazırlanarak sentezlediğimiz katalizörlerin reaksiyon testi gerçekleştirilebilir.

## KAYNAKLAR

1. Shin, M.Y., Nam, C.M, Park, D.W., Chung, J.S. (2001). Selective oxidation of H<sub>2</sub>S to elemental sulfur over VO<sub>x</sub>/SiO<sub>2</sub> and V<sub>2</sub>O<sub>5</sub> catalysts. *Applied Catalysis A: General*, 211, 213–225.
2. Tüpraş Kırıkkale Rafineri Müdürlüğü, (1993). 1825 Eski Kükürt Ünitesi İşletme El Kitabı, Kırıkkale.
3. Eslek, D.D., Yasyerli, S. (2009). Selectivity and stability enhancement of iron oxide catalyst by ceria incorporation for selective oxidation of H<sub>2</sub>S to sulfur. *Industrial & Engineering Chemistry Research*, 48, 5223–5229.
4. Zhang, X., Dou, G., Wang, Z., Li, L., Cavani, F., Wang, Y., Wang, H. (2013). Selective catalytic oxidation of H<sub>2</sub>S over iron oxide supported on alümina-intercalated laponite clay catalysts. *Journal of Hazardous Materials*, 260, 104-111.
5. Bineesh, K., Kim, M., Lee, G.H., Selvaraj, M., Park, D.W. (2013). Catalytic performance of vanadia-doped alümina-pillared clay for selective oxidation of H<sub>2</sub>S. *Applied Clay Science*, 74, 127-134.
6. Fang, H., Zhao, J., Fang, Y., Huang, J., Fang, Y. (2013). Selective oxidation of hydrogen sulfide to sulfur over activated carbon-supported metal oxides. *Fuel*, 108, 143-148.
7. Carmona, A.R., Soriano, M.D., Nieto, J.M.L., Jones, D.J., Jimenez, J.J., Lopez, A.J., Castellon, E.R. (2013). Iron-containing SBA-15 as catalyst for partial oxidation of hydrogen sulfide. *Catalysis Today*, 210, 117-123.
8. Bineesh, K., Kim, M., Lee, G.H., Selvaraj, M., Hyun, K., Park, D.W. (2012). Production of elemental sulfur and ammonium thiosulfate by the oxidation of H<sub>2</sub>S containing water vapor and ammonia over V/Zr-PILC catalysts. *Journal of Industrial and Engineering Chemistry*, 18, 1845-1850.
9. Ledoux, M.J., Huua, C.P., Keller, N., Nougayrède, J.B., Poncet, S.S., Bousquet, J. (2000). Selective oxidation of H<sub>2</sub>S in Claus tail-gas over SiC supported NiS<sub>2</sub> catalyst. *Catalysis Today*, 61, 157–163.
10. Shin, M.Y., Park, D.W., Chung, J.S. (2001). Development of vanadium-based mixed oxide catalysts for selective oxidation of H<sub>2</sub>S to sulfur. *Applied Catalysis B: Environmental*, 30, 409–419.
11. Chun, S.W., Jang, J.Y., Park, D.W., Woob, H.C., Chung, J.S. (1998). Selective oxidation of H<sub>2</sub>S to elemental sulfur over TiO<sub>2</sub>/SiO<sub>2</sub> catalysts. *Applied Catalysis B: Environmental*, 16, 235–243.
12. Uhm, J.H., Shin, M.Y, Zhidong, J., Chung, J.S. (1999). Selective oxidation of H<sub>2</sub>S to elemental sulfur over chromium oxide catalysts. *Applied Catalysis B: Environmental*, 22, 293–303.

13. Bineesh, K.V., Cho, D.R., Kim, S.Y., Jermy, B.R., Park, D.W.(2008). Vanadia-doped titania-pillared montmorillonite clay for the selective catalytic oxidation of H<sub>2</sub>S. *Catalysis Communications*, 9, 2040–2043.
14. Shin, M.Y., Park, D.W., Chung, J.S. (2000). Vanadium-containing catalysts for the selective oxidation of H<sub>2</sub>S to elemental sulfur in the presence of excess water. *Catalysis Today*, 63, 405-411.
15. Kim, M., Ju, W.D., Kim, K.H., Park, D.W., Hong, S.S. (2006). Selective oxidation of hydrogen sulfide to elemental sulfur and ammonium thiosulfate using VO<sub>x</sub>/TiO<sub>2</sub> catalysts. *Studies in Surface Science and Catalysis*, 159,225–228.
16. Yasyerli, S., Dogu, G., Dogu, T. (2006). Selective oxidation of H<sub>2</sub>S to elemental sulfur over Ce–V mixed oxide and CeO<sub>2</sub> catalysts prepared by the complexation technique. *Catalysis Today*, 117, 271–278.
17. Kalinkin, P., Kovalenko, O.,Lapina, O., Khabibulin, D., Kundo, N. (2002). Kinetic peculiarities in the low-temperature oxidation of H<sub>2</sub>S over vanadium catalysts. *Journal of Molecular Catalysis A: Chemical*, 178, 173–180.
18. Park , D.W., Park , B.K., Park, D.K, Woo, H.C. (2002). Vanadium-antimony mixed oxide catalysts for the selective oxidation of H<sub>2</sub>S containing excess water and ammonia. *Applied Catalysis A: General*, 223, 215–224.
19. Chung, J.S., Paik, S.C., Kim, H.S., Lee, D.S., Nam, I.S. (1997). Removal of H<sub>2</sub>S and/or SO<sub>2</sub> by catalytic conversion technologies. *Catalysis Today*, 35, 37-43.
20. Yasyerli, S., Dogu, G., Ar, I. (2001). Activities of copper oxide and Cu-V and Cu-Mo mixed oxides for H<sub>2</sub>S removal in the presence and absence of hydrogen and predictions of a deactivation model. *Industrial and engineering Chemistry Research*, 40, 5206-5214.
21. Eslek Koyuncu, D.D. (2008). *Hidrojen sülfürün elementel kükürde seçici oksidasyonu için Ni, V, Ce içeren katalizörlerin geliştirilmesi*, Yüksek Lisans Tezi, Gazi Üniversitesi Fen Bilimleri Enstitüsü, Ankara, 39
22. Taşdemir, H.M. (2014). *H2S'ün uzaklaştırılması için katalizör/sorbent geliştirilmesi*, Doktora Tezi, Gazi Üniversitesi Fen Bilimleri Enstitüsü, Ankara.
23. Yasyerli, S., Dogu, G., Ar, İ., Dogu, T. (2004). Dynamic analysis of removal and selective oxidation of H<sub>2</sub>S to elemental sulfur over Cu–V and Cu–V–Mo mixed oxides in a fixed bed reactor. *Chemical Engineering Science*, 59, 4001 – 4009.
24. Perry, R.H., Green, D.W., Maloney, J.O. (1999). *Perry's Chemical Engineers' Handbook* (7. Basım), New York: McGraw-Hill.
25. Muştu, H., (2011). *MCM-41 ve SiO<sub>2</sub> destekli Cr-Zr metallerini içeren katalizörlerin sentezlenmesi*, Lisans Araştırma Projesi, Gazi Üniversitesi, Mühendislik Fakültesi, Kimya Mühendisliği, Ankara.
26. Tüpraş Kırıkkale Rafineri Müdürlüğü, (2007). 1875 Yeni Kükürt Ünitesi İşletme El Kitabı, Kırıkkale.

**EKLER**



EK-1. Scherrer eşitliği ile tanecik boyutu hesaplanması

$$\tau = \frac{n \cdot \lambda}{\beta \cdot \cos \theta}$$

n: Şekil faktörü (yaklaşık 0,89)

$\lambda$ : X ray dalga boyutu (nm)

$\beta$ : Maksimum intensity (FWHM)

$\theta$ : Kırınım Açısı ( $2\theta$ 'nın yarısı) (radyan)

Cr<sub>2</sub>Ce<sub>2</sub> katalizörü için Scherrer eşitliğinden CeO<sub>2</sub> bileşiğinin tanecik boyutunun hesaplanması;

$$\lambda = 1,5406 \text{ \AA}$$

$$1^\circ = \pi/180$$

$$\beta = 1,123^\circ$$

$$\theta = 14,23^\circ$$

$$\tau = \frac{0,89 * \frac{1,5406 \text{ \AA} * 1 \text{ nm}}{10 \text{ \AA}}}{1,123 * \frac{\pi}{180} * \cos(14,23 * \frac{\pi}{180})}$$

$$\tau = 6,977 \text{ nm}$$

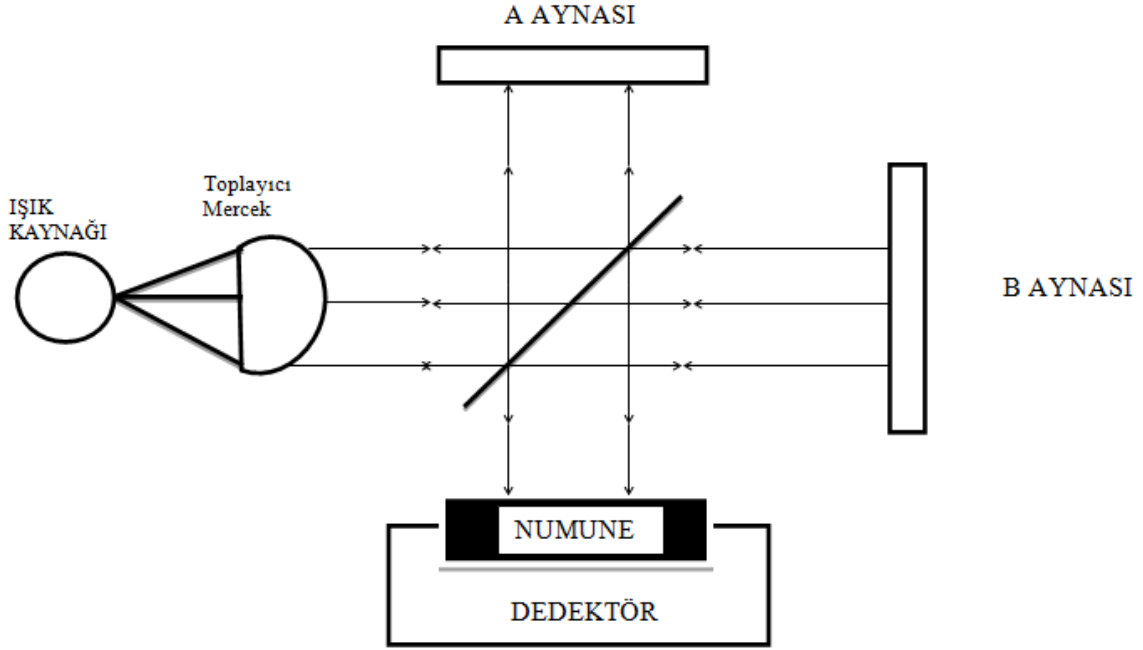
## EK-2. FT-IR cihazının çalışma prensibi

Bütün spektral ölçümlerde olduğu gibi kızılötesi spektrofotometrelerinde de aynı prensipler geçerlidir. Tipik bir kızılötesi spektrofotometresinin bölümlerini şu şekilde gösterebiliriz;

Işık kaynağı → Numune → Monokromatör → Dedektör → Kaydedici

Monokromatörler yardımıyla dalgalı boylarını seçerek ölçümün yapıldığı spektrofotometrelerde herhangi bir anda sadece seçilen dalga boyundaki spektroskopik bilgi toplanmaktadır. Bu dalga boyunun dışındaki bölgede bulunan bilgilerden ise o anda yararlanılamaz. Ancak dalga boyunun bir değerden bir değere değiştirilmesi ile yani dalga boyu taraması ile tüm dalga boylarındaki bilgiler çeşitli zamanla toplanır ve böylece frekans ölçekli absorpsiyon spektrumu elde edilir. Spektrofotometrelerde, bazı özel yöntemler kullanılarak tüm frekanslardaki bilgileri aynı anda elde etmek de mümkündür. Bu tür spektrofotometrelerde, monokromatör kullanılmaz ve ışık kaynağından gelen tüm frekansların örnek ile aynı anda etkileşmesi sağlanır. Böylece tüm frekansları kapsayan bu bilgilerin zamanla değişimi izlenir. Bir başka tanımla bu tür uygulamada spektrum taramalı yöntemde olduğu gibi frekans ölçeği yerine zaman ölçeğinde elde edilir. Zaman ölçeğinde elde edilen bilgiler *interferogram* adını alır. İnterferogram, alışılan absorpsiyon spektrumunun *Fourier* transformudur. Alette bulunan bir bilgisayarda *ters Fourier transformu* adını alan bir matematiksel işlemle interferogram frekans ölçeğindeki bilgilere dönüştürülür. Böylece alışılan türdeki absorpsiyon spektrumu elde edilmiş olur. Bilgisayarın bir başka rolü de, zaman ölçeğindeki spektrumu birçok kez elde etmek, bu bilgiyi belleğinde biriktirmek ve böylece toplam sinyalin elektronik gürültüden bağımsız bir şekilde ölçümünü sağlamaktır. Elektronik gürültü sinyali, gelişigüzel bir sinyal olduğu için bu sinyalin birbiri üzerinden eklenmesi gürültüyü artırmaz, gürültü her eklemeye kendi kendini telafi eder. Spektrum sinyali ise, gelişigüzel bir sinyal olmadığı için birbiri üzerine eklenir ve gürültüye göre daha belirgin bir biçimde elde edilir. Böylece yöntem daha duyarlı hale getirilmiş olur. Fourier transformlu spektrofotometrelerde, *Michelson interferometresi* adı verilen ve Şekil 2.1’ de gösterilen bir düzenek kullanılır.

## EK-2. (Devam) FT-IR cihazının çalışma prensibi



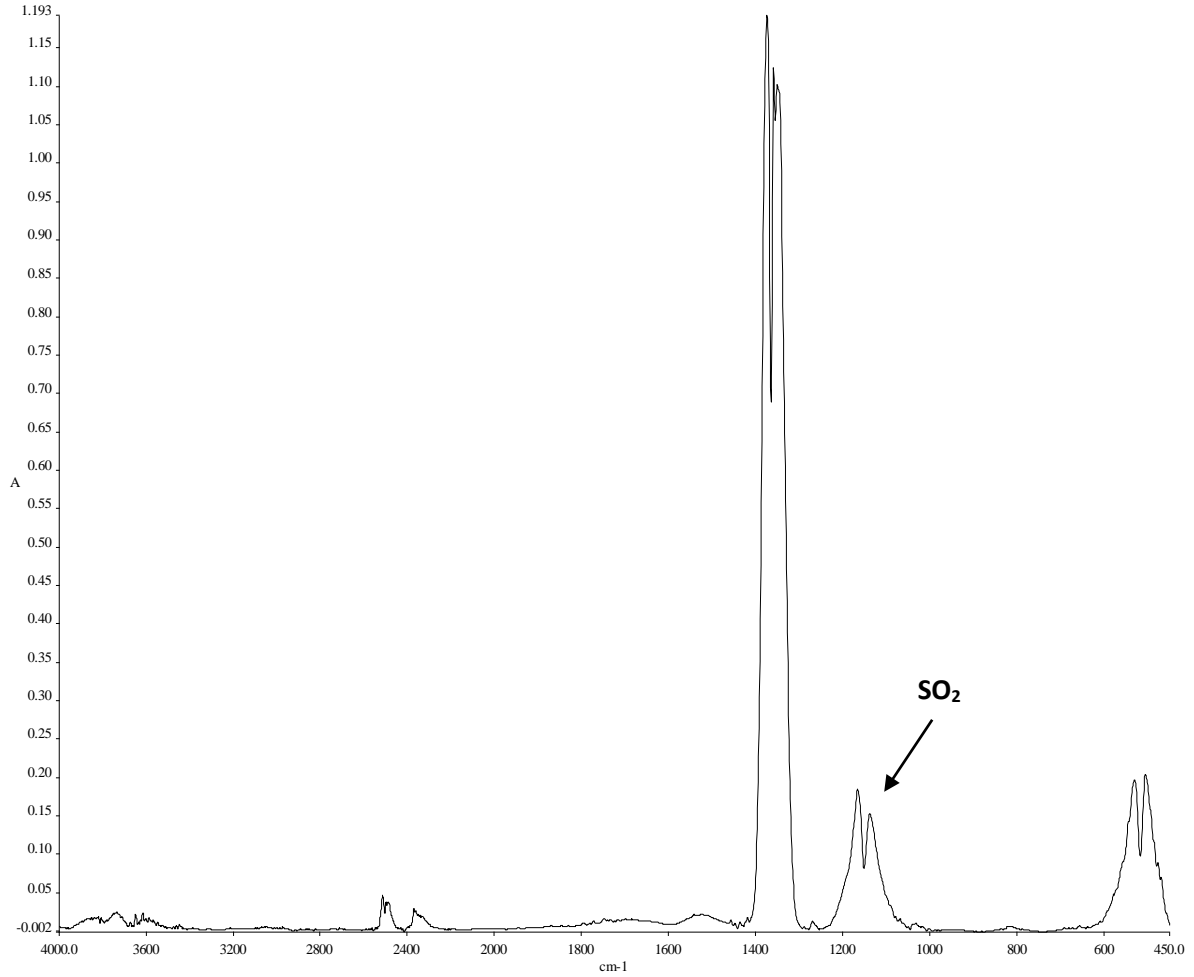
Şekil 2.1. Michelson İnterferometresi

Işın demeti, bu düzeneğin ortasına yerleştirilen yarı geçirgen bir yüzey yardımıyla şiddetleri birbirine eşit iki demete ayrılır. Bu ışıklardan birisi A ile gösterilen sabit aynaya kadar yol alır ve buradan yansyarak örneğe ulaşır. Işığın öteki kısmı belli bir frekansla titreşen ve yerini periyodik olarak deęiştiren hareketli bir B aynasından yansyarak örnekle etkileşir. Böylece örneğe ulaşmadan önce, ışığın A aynasından yansyan demeti sabit bir yol, B aynasından yansyan demeti ise deęişken bir yol almış olur. A ve B aynalar ından yansyarak örneğe ulaşan iki ışın demetinin aldıkları yollar birbirine eşit ise, iki ışın arasında yapıcı bir girişim olur ve dalga kuvvetlenir. Bu iki demetin yol farkı  $\lambda/2$  ise, yani B aynası ilk konumuna göre  $\lambda/4$ kadar öteye gitmişse, aralarında bozucu bir girişim olur ve dalga tamamen söner. B aynasının ilk konumundan  $\lambda/2$ kadar öteye gitmesi ise, iki ışının yol farkının  $\lambda$  kadar olmasını sağlar ve bu durumda da yapıcı bir girişim ortaya çıkar,  $\lambda$  dalgaboyundaki ışık kuvvetlenir. Michelson interferometresi ışığı detektöre  $2v\lambda$  frekansı ile ulaştırır. Bu frekansa interferogram frekansı,  $f$ , denir.  $f$ , infrared ışınının frekansı,  $\lambda$ , ile orantılıdır. Burada  $v$ , hareketli aynanın hızı (cm/s),  $\lambda$  ise dalga sayısıdır. 0,01 cm/s ile 10 cm/s arasındaki bir hızla hareket ettirilen B aynasını her bir konumu için belli bir dalga

## EK-2. (Devam) FT-IR cihazının çalışma prensibi

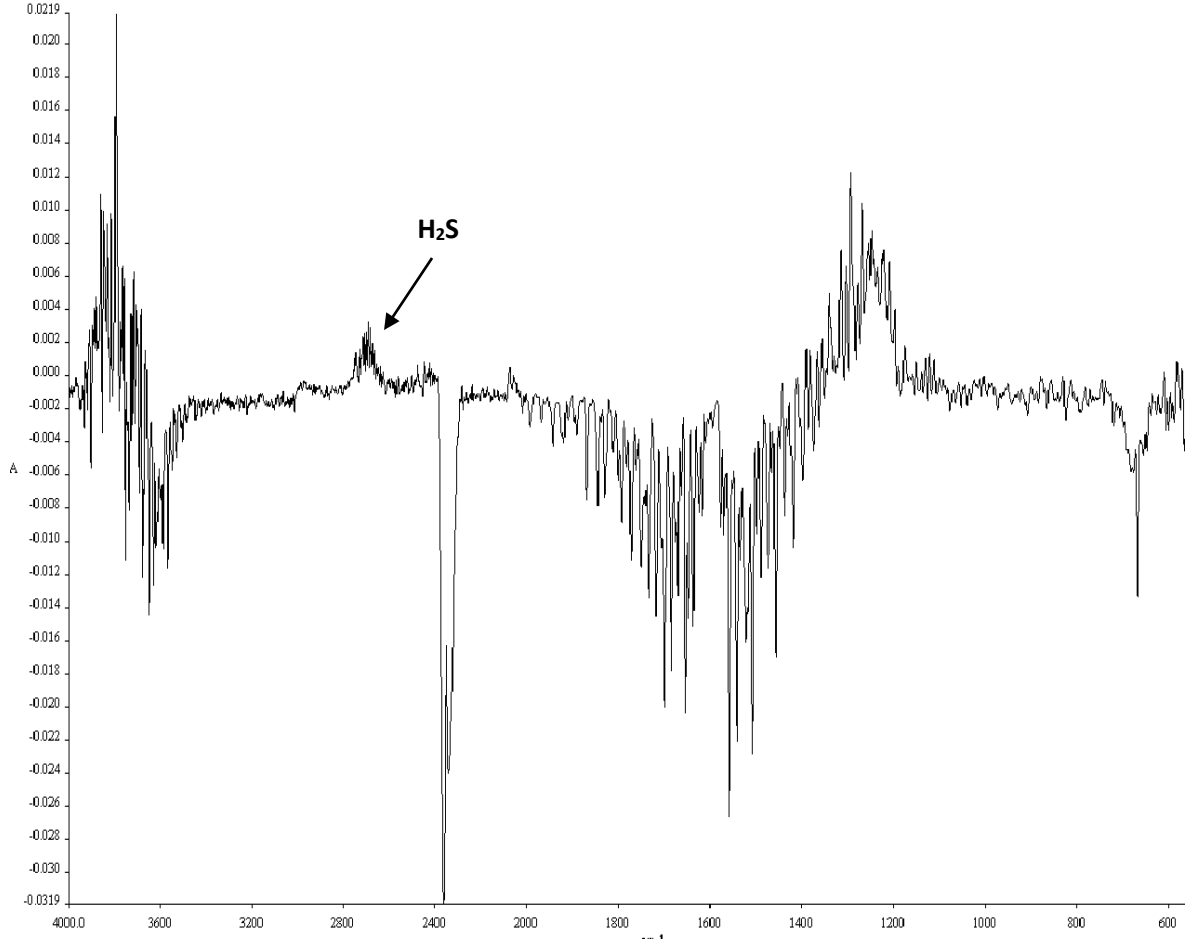
sayısına sahip infrared ışını, bu eşitliği sağlayarak ve yapıcı bir girişim yaparak örneğe ulaştır. Örnek, herhangi bir veya birkaç dalgaboyundaki ışığı absorpluyorsa o dalgasayılarındaki ışığın şiddeti azalır. Bu bilgi birbiriyle örtüşen bir dizi dalga içinde saklı kalır. Ancak ters Fourier transformu işleminden sonra ışığın şiddetinin azaldığı dalgasayısı, yani absorpsiyon spektrumu ortaya çıkar. Tipik bir interferometre için yukarıdaki eşitlikle verilen modülasyon farkı birkaç yüz Hz olduğundan, Fourier transformlu aletlerde hızlı infrared dedektörlerinin kullanılması gerekir. Bu bakımdan Fourier transformlu spektrofotometrelerde hızlı sinyal üreten piroelektrik dedektörler kullanılır [20].

EK-3. Reaksiyon sonrası FTIR analizinde gözlenen H<sub>2</sub>S, SO<sub>2</sub> ve H<sub>2</sub>O bileşiklerine ait örnek FTIR pikleri



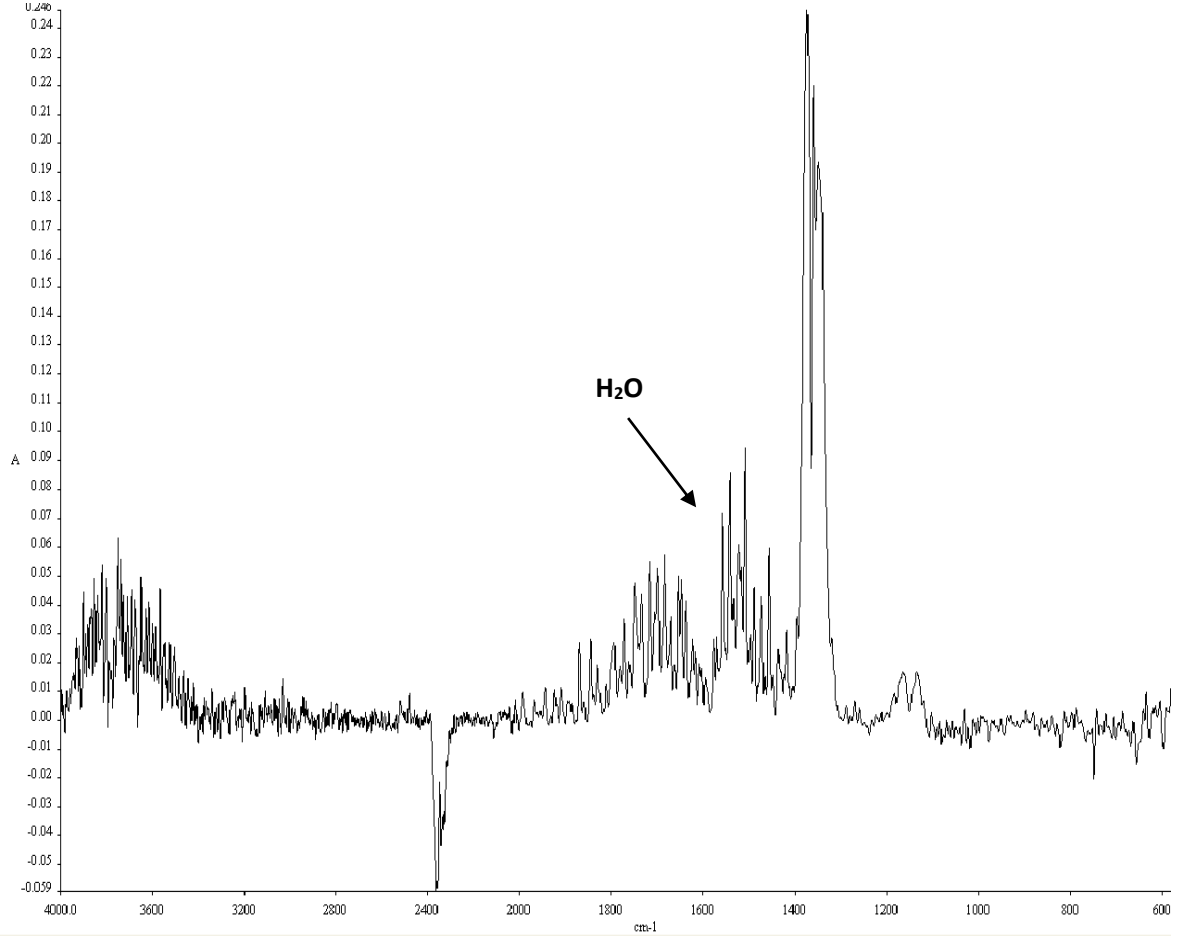
Şekil 3.1. SO<sub>2</sub> bileşiğine ait örnek FTIR piki [21].

EK-3. (Devam) Reaksiyon sonrası FTIR analizinde gözlenen  $H_2S$ ,  $SO_2$  ve  $H_2O$  bileşiklerine ait örnek FTIR pikleri

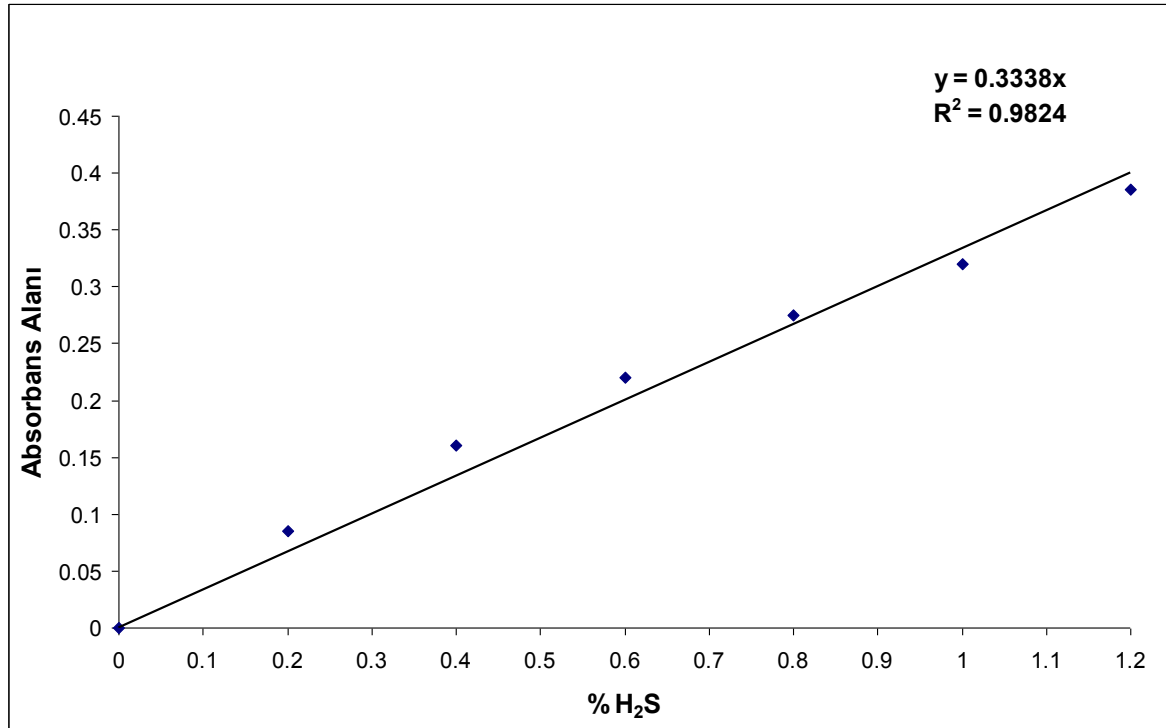
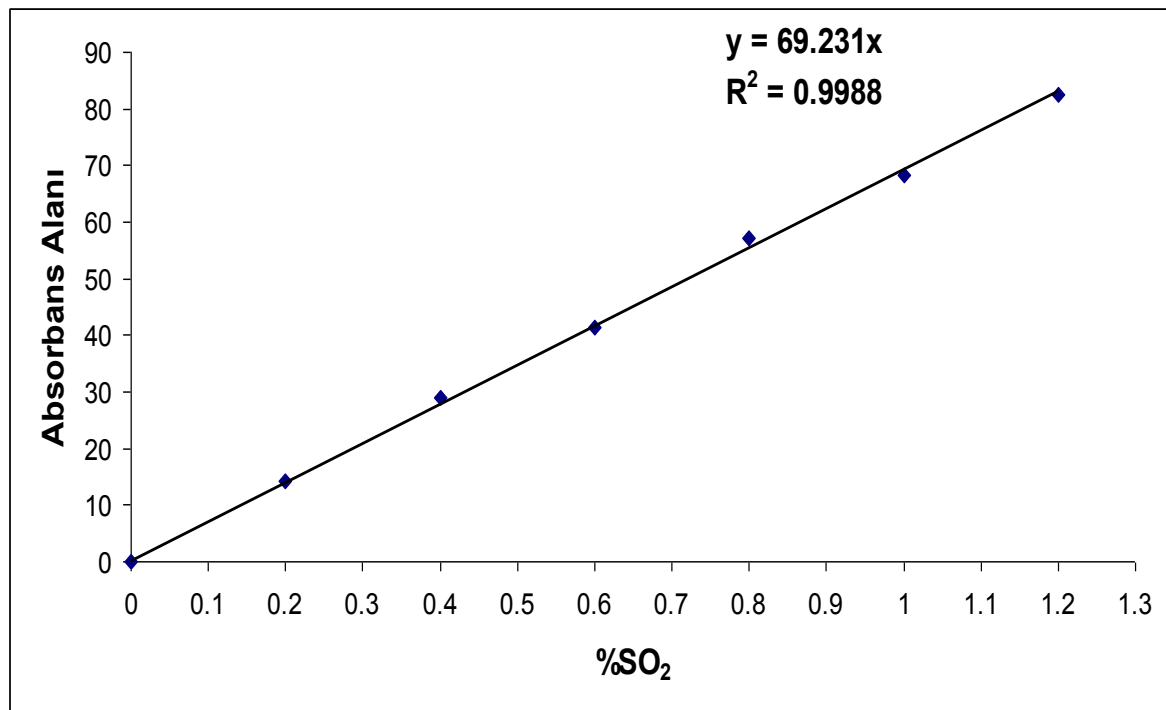


Şekil 3.2.  $H_2S$  bileşiğine ait örnek FTIR piki [21].

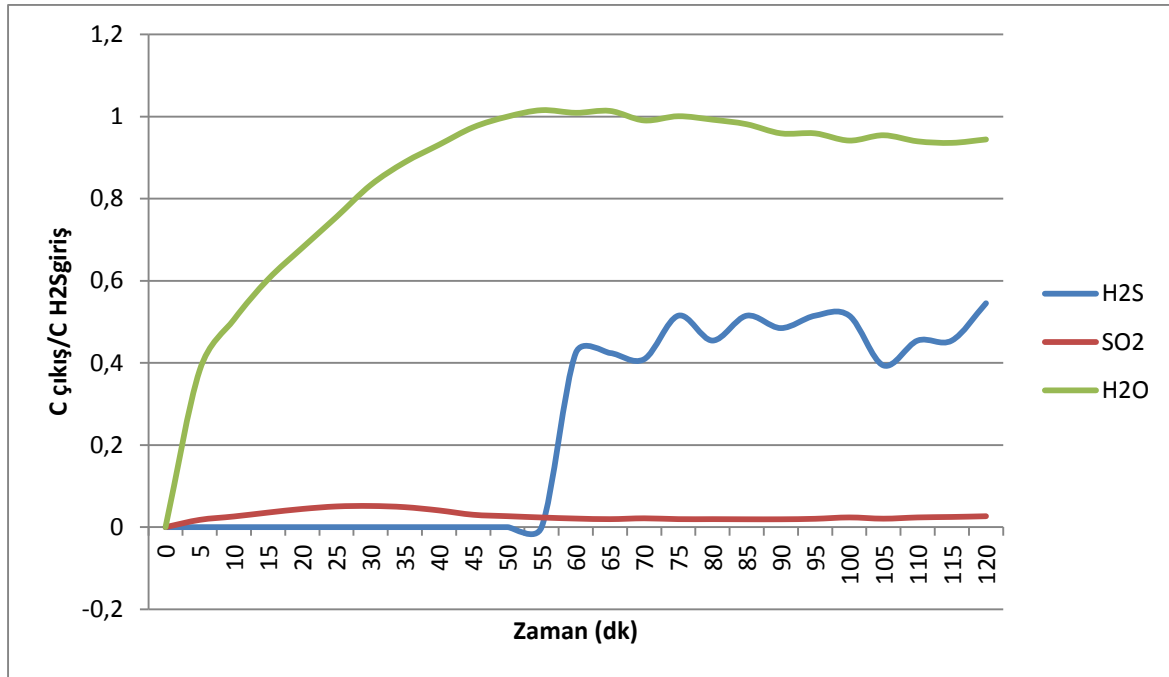
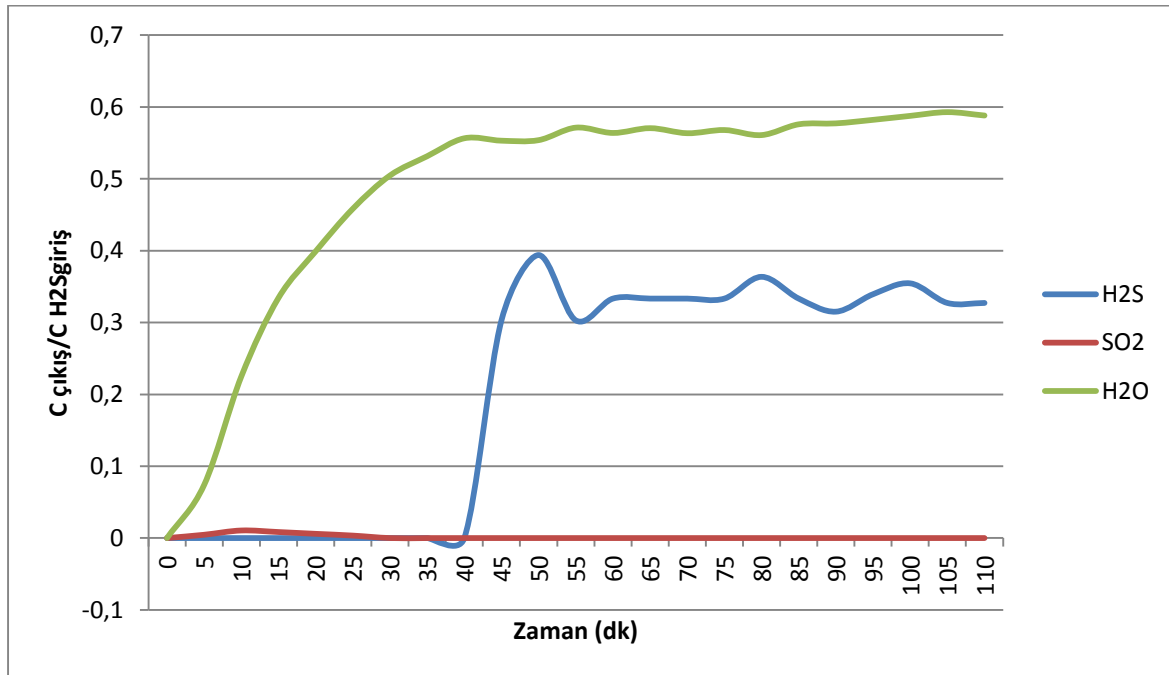
EK-3. (Devam) Reaksiyon sonrası FTIR analizinde gözlenen  $H_2S$ ,  $SO_2$  ve  $H_2O$  bileşiklerine ait örnek FTIR pikleri

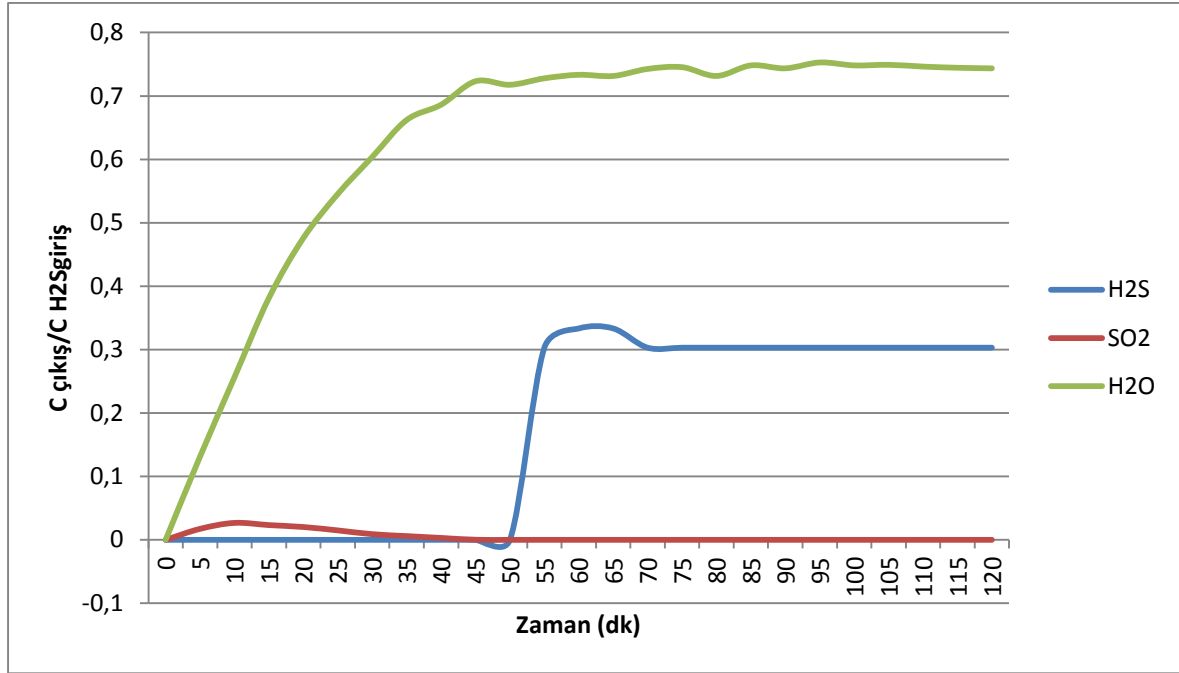
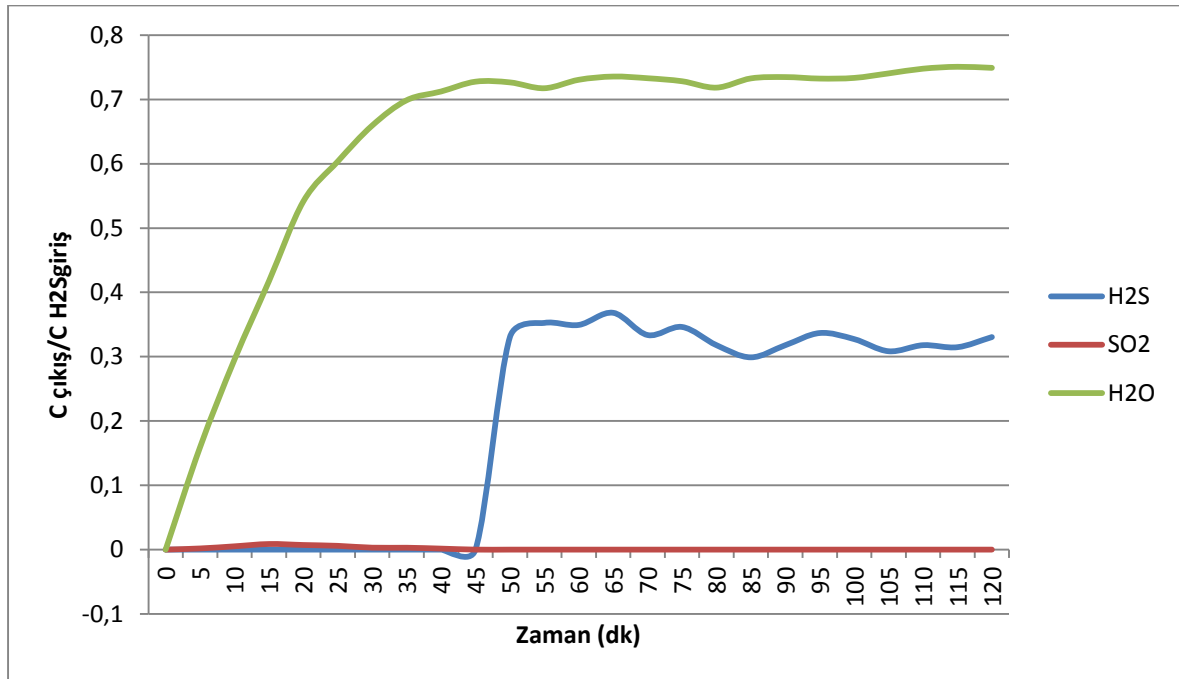


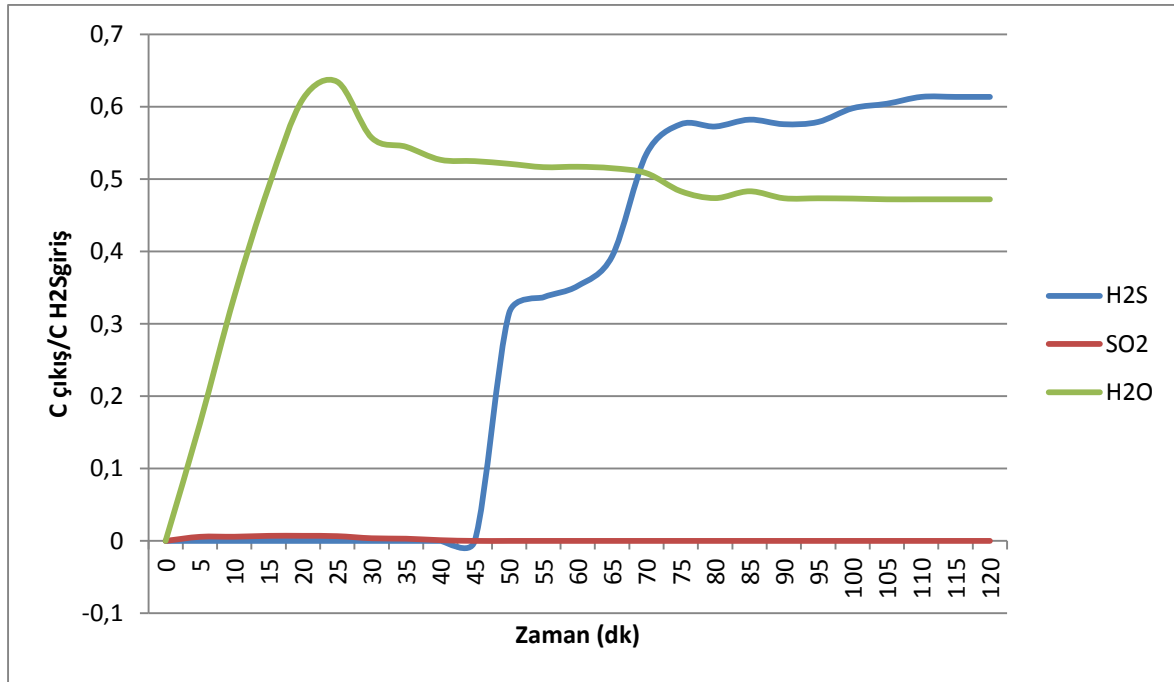
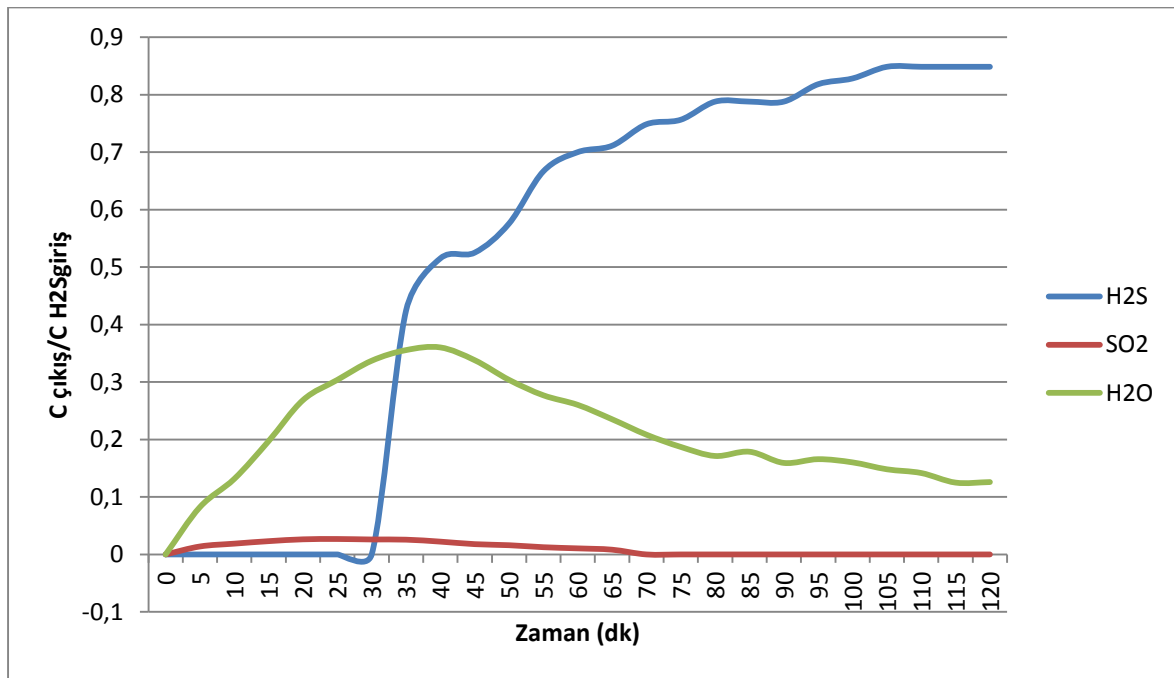
Şekil 3.3.  $H_2O$  bileşiğine ait örnek FTIR pikleri [21].

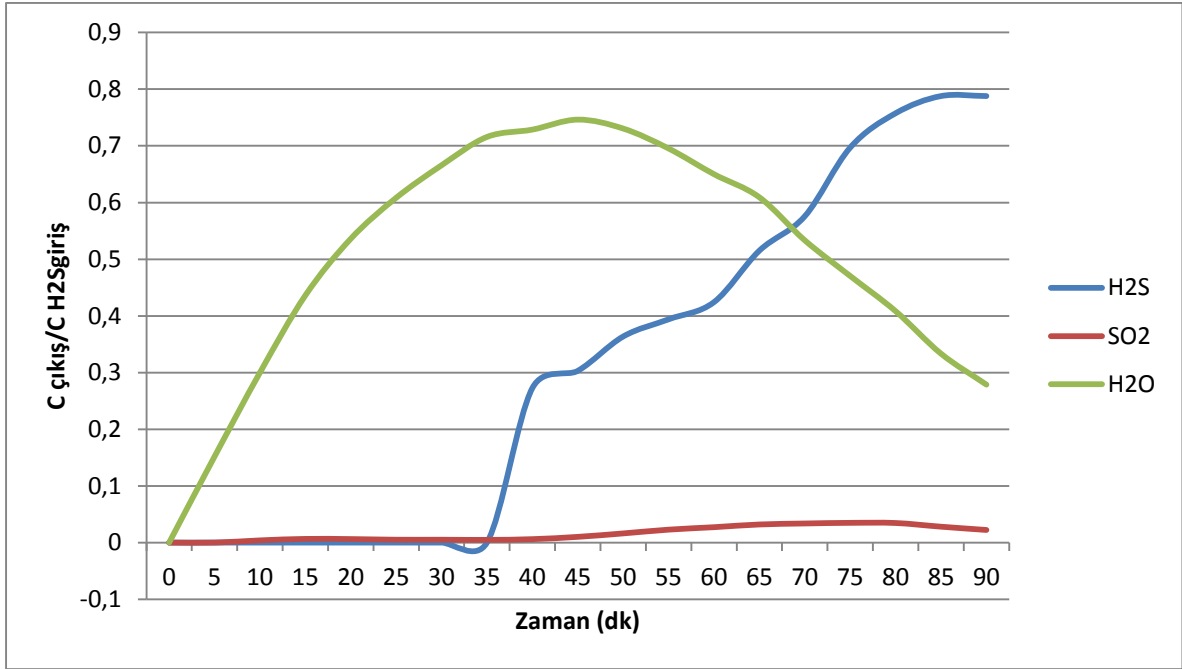
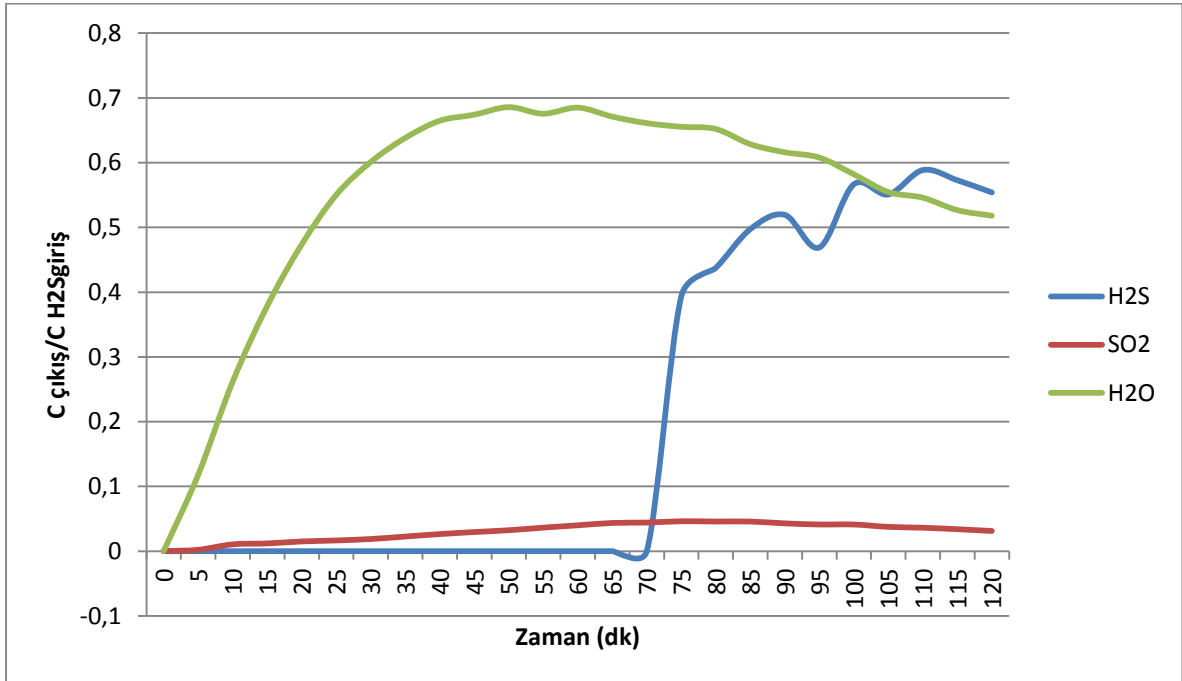
EK-4. H<sub>2</sub>S ve SO<sub>2</sub> gazlarının kalibrasyon grafikleriŞekil 4.1. H<sub>2</sub>S gazının kalibrasyon grafiği [22]Şekil 4.2. SO<sub>2</sub> gazının kalibrasyon grafiği [22]

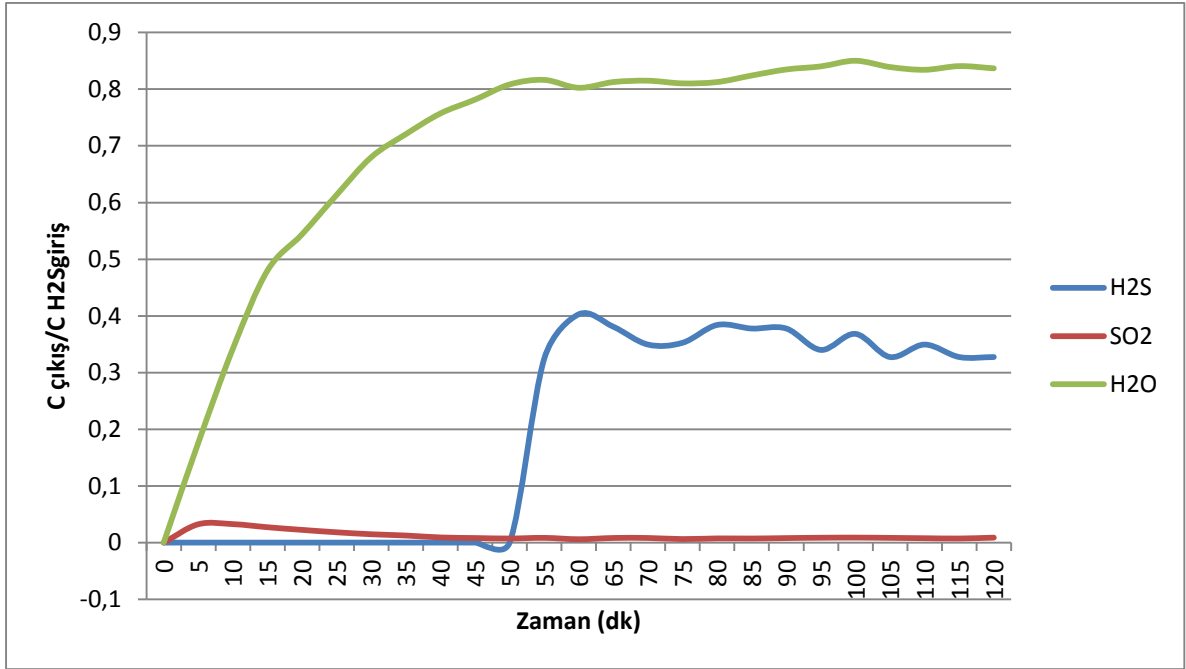
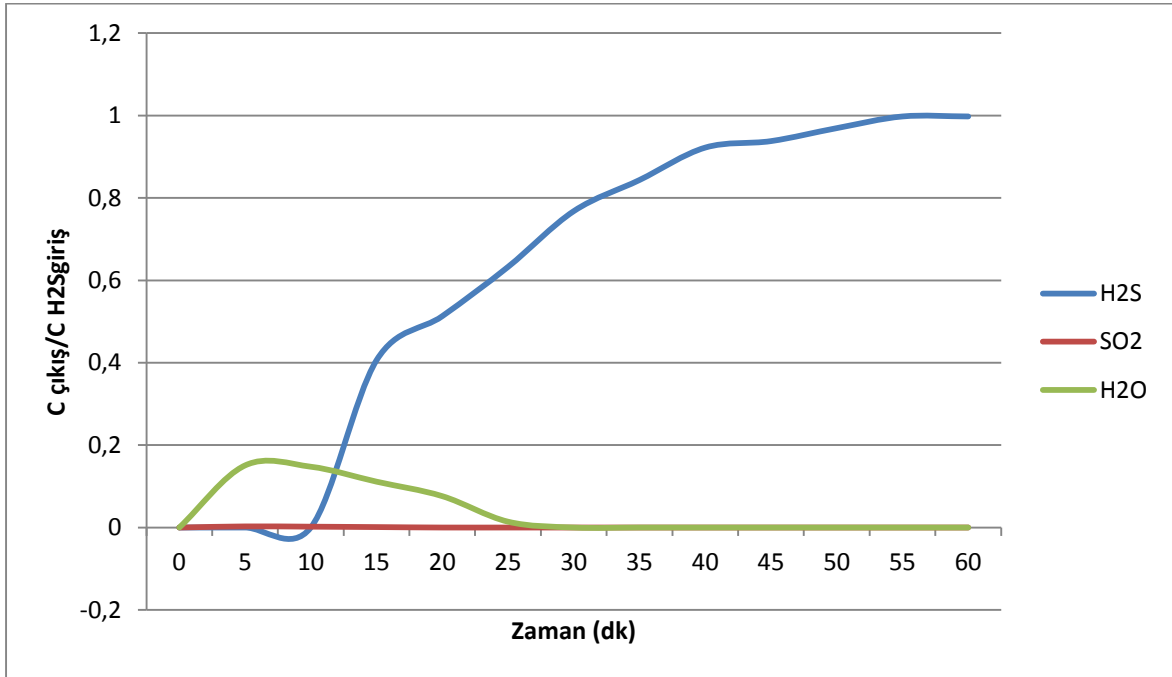


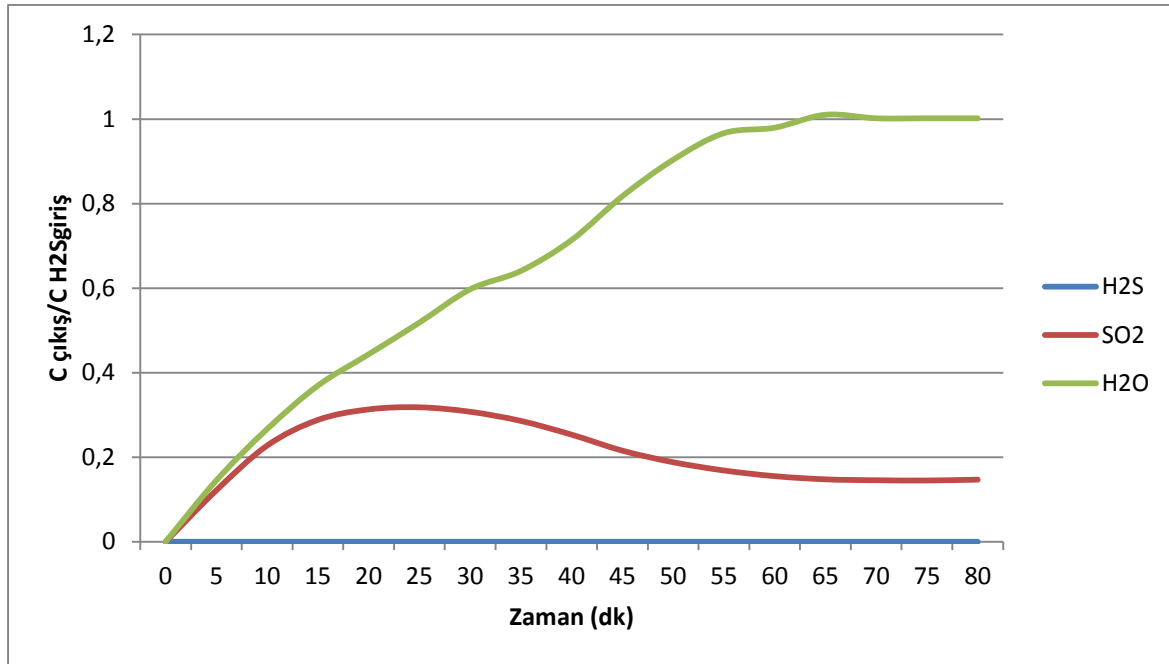
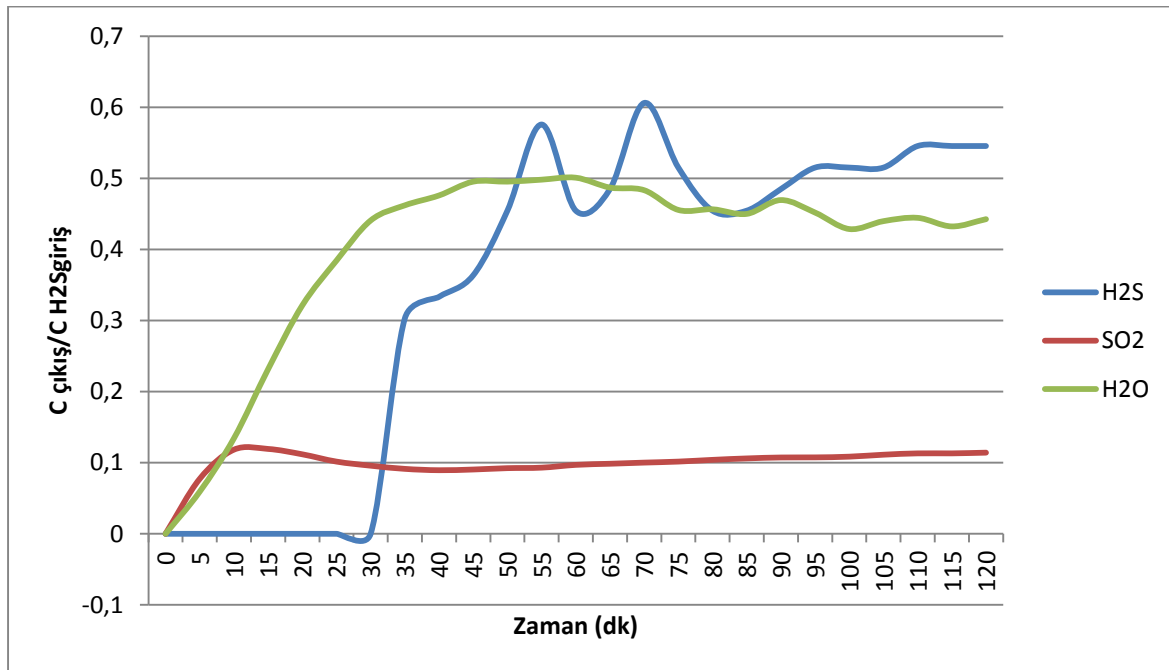
EK-5. Katalizörlerin H<sub>2</sub>S, SO<sub>2</sub> ve H<sub>2</sub>O çıkış konsantrasyonları grafikleriŞekil 5.1. Cr-O katalizörünün 250°C sıcaklık ve O<sub>2</sub>/H<sub>2</sub>S = 0,5 oranındaki H<sub>2</sub>S, H<sub>2</sub>O ve SO<sub>2</sub> çıkış konsantrasyonlarıŞekil 5.2. Cr<sub>3</sub>Ce katalizörünün 250°C sıcaklık ve O<sub>2</sub>/H<sub>2</sub>S = 0,5 oranındaki H<sub>2</sub>S, H<sub>2</sub>O ve SO<sub>2</sub> çıkış konsantrasyonları

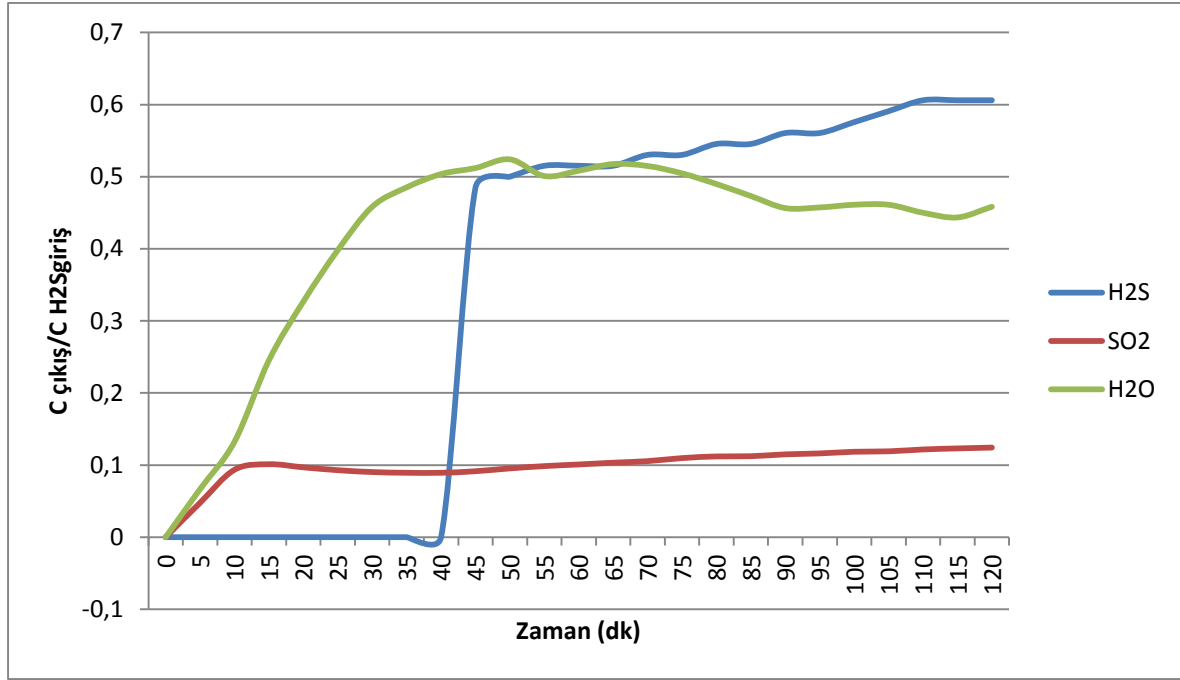
EK-5. (Devam) Katalizörlerin H<sub>2</sub>S, SO<sub>2</sub> ve H<sub>2</sub>O çıkış konsantrasyonları grafikleriŞekil 5.3. Cr<sub>2,7</sub>Ce<sub>1,3</sub> katalizörünün 250°C sıcaklık ve O<sub>2</sub>/H<sub>2</sub>S = 0,5 oranındaki H<sub>2</sub>S, H<sub>2</sub>O ve SO<sub>2</sub> çıkış konsantrasyonlarıŞekil 5.4. Cr<sub>2</sub>Ce<sub>2</sub> katalizörünün 250°C sıcaklık ve O<sub>2</sub>/H<sub>2</sub>S = 0,5 oranındaki H<sub>2</sub>S, H<sub>2</sub>O ve SO<sub>2</sub> çıkış konsantrasyonları

EK-5. (Devam) Katalizörlerin H<sub>2</sub>S, SO<sub>2</sub> ve H<sub>2</sub>O çıkış konsantrasyonları grafikleriŞekil 5.5. Cr<sub>2</sub>Ce<sub>2</sub>-EA katalizörünün 250°C sıcaklık ve O<sub>2</sub>/H<sub>2</sub>S = 0,5 oranındaki H<sub>2</sub>S, H<sub>2</sub>O ve SO<sub>2</sub> çıkış konsantrasyonlarıŞekil 5.6. Cr<sub>2,7</sub>Ce<sub>1,3</sub>-SiO<sub>2</sub> katalizörünün 250°C sıcaklık ve O<sub>2</sub>/H<sub>2</sub>S = 0,5 oranındaki H<sub>2</sub>S, H<sub>2</sub>O ve SO<sub>2</sub> çıkış konsantrasyonları

EK-5. (Devam) Katalizörlerin H<sub>2</sub>S, SO<sub>2</sub> ve H<sub>2</sub>O çıkış konsantrasyonları grafikleriŞekil 5.7. Cr<sub>2,7</sub>Ce<sub>1,3</sub>-BC katalizörünün 250°C sıcaklık ve O<sub>2</sub>/H<sub>2</sub>S = 0,5 oranındaki H<sub>2</sub>S, H<sub>2</sub>O ve SO<sub>2</sub> çıkış konsantrasyonlarıŞekil 5.8. Cr<sub>2,7</sub>Ce<sub>1,3</sub> katalizörünün 200°C sıcaklık ve O<sub>2</sub>/H<sub>2</sub>S = 0,5 oranındaki H<sub>2</sub>S, H<sub>2</sub>O ve SO<sub>2</sub> çıkış konsantrasyonları

EK-5. (Devam) Katalizörlerin H<sub>2</sub>S, SO<sub>2</sub> ve H<sub>2</sub>O çıkış konsantrasyonları grafikleriŞekil 5.9. Cr<sub>2,7</sub>Ce<sub>1,3</sub> katalizörünün 300°C sıcaklık ve O<sub>2</sub>/H<sub>2</sub>S = 0,5 oranındaki H<sub>2</sub>S, H<sub>2</sub>O ve SO<sub>2</sub> çıkış konsantrasyonlarıŞekil 5.10. Cr<sub>2,7</sub>Ce<sub>1,3</sub> katalizörünün 250°C sıcaklık ve O<sub>2</sub>/H<sub>2</sub>S = 0,0 oranındaki H<sub>2</sub>S, H<sub>2</sub>O ve SO<sub>2</sub> çıkış konsantrasyonları

EK-5. (Devam) Katalizörlerin H<sub>2</sub>S, SO<sub>2</sub> ve H<sub>2</sub>O çıkış konsantrasyonları grafikleriŞekil 5.11. Cr<sub>2,7</sub>Ce<sub>1,3</sub> katalizörünün 250°C sıcaklık ve O<sub>2</sub>/H<sub>2</sub>S = 1,0 oranındaki H<sub>2</sub>S, H<sub>2</sub>O ve SO<sub>2</sub> çıkış konsantrasyonlarıŞekil 5.12. Cr@SiO<sub>2</sub> katalizörünün 250°C sıcaklık ve O<sub>2</sub>/H<sub>2</sub>S = 0,5 oranındaki H<sub>2</sub>S, H<sub>2</sub>O ve SO<sub>2</sub> çıkış konsantrasyonları

EK-5. (Devam) Katalizörlerin H<sub>2</sub>S, SO<sub>2</sub> ve H<sub>2</sub>O çıkış konsantrasyonları grafikleriŞekil 5.12. Cr@MCM-41 katalizörünün 250°C sıcaklık ve O<sub>2</sub>/H<sub>2</sub>S = 0,5 oranındaki H<sub>2</sub>S, H<sub>2</sub>O ve SO<sub>2</sub> çıkış konsantrasyonları

## EK-6. Katalizörlerin XRD sonuçlarının literatür verileri ile karşılaştırılması

Çizelge 6.1. Cr<sub>3</sub>Ce katalizöründeki ve literatürdeki CeO<sub>2</sub> ile Cr<sub>2</sub>O<sub>3</sub> pikleri

Cr <sub>3</sub> Ce			CeO <sub>2</sub> (34-394)			Cr <sub>2</sub> O <sub>3</sub> (6-504)		
2θ	d	I/I <sub>0</sub>	2θ	d	I/I <sub>0</sub>	2θ	d	I/I <sub>0</sub>
<b>24.52</b>	<b>3.62</b>	<b>75</b>	-	-	-	<b>24,50</b>	<b>3,63</b>	<b>75</b>
28.54	3.13	100	28,55	3,12	100	-	-	-
<b>33.66</b>	<b>2.66</b>	<b>89</b>	-	-	-	<b>33,59</b>	<b>2,67</b>	<b>100</b>
<b>36.28</b>	<b>2.48</b>	<b>95</b>	-	-	-	<b>36,19</b>	<b>2,48</b>	<b>95</b>
<b>41.51</b>	<b>2.17</b>	<b>49</b>	-	-	-	<b>41,46</b>	<b>2,18</b>	<b>40</b>
47.37	1.92	52	47,48	1,91	52	-	-	-
<b>50.23</b>	<b>1.82</b>	<b>46</b>	-	-	-	<b>50,21</b>	<b>1,82</b>	<b>40</b>
<b>54.90</b>	<b>1.67</b>	<b>76</b>	-	-	-	<b>54,87</b>	<b>1,67</b>	<b>90</b>
56.45	1.63	36	56,34	1,63	42	-	-	-
<b>63.49</b>	<b>1.46</b>	<b>26</b>	-	-	-	<b>63,45</b>	<b>1,47</b>	<b>25</b>
<b>65.12</b>	<b>1.43</b>	<b>35</b>	-	-	-	<b>65,12</b>	<b>1,43</b>	<b>40</b>
76.80	1.24	14	76,70	1,24	14	-	-	-
79.14	1.21	9	79,07	1,21	8	-	-	-
88.35	1.11	6	88,41	1,10	14	-	-	-



## EK-6. (Devam) Katalizörlerin XRD sonuçlarının literatür verileri ile karşılaştırılması

Çizelge 6.2. Cr<sub>2,7</sub>Ce<sub>1,3</sub> katalizöründeki ve literatürdeki CeO<sub>2</sub> ile Cr<sub>2</sub>O<sub>3</sub> pikleri

Cr <sub>2,7</sub> Ce <sub>1,3</sub>			CeO <sub>2</sub> (34-394)			Cr <sub>2</sub> O <sub>3</sub> (6-504)		
2θ	d	I/I <sub>0</sub>	2θ	d	I/I <sub>0</sub>	2θ	d	I/I <sub>0</sub>
<b>24,29</b>	<b>3,66</b>	<b>8</b>	-	-	-	<b>24,50</b>	<b>3,63</b>	<b>75</b>
28,54	3,13	100	28,55	3,12	100	-	-	-
33,01	2,71	27	33,08	2,71	30	-	-	-
<b>33,63</b>	<b>2,66</b>	<b>39</b>	-	-	-	<b>33,59</b>	<b>2,67</b>	<b>100</b>
<b>36,22</b>	<b>2,48</b>	<b>27</b>	-	-	-	<b>36,19</b>	<b>2,48</b>	<b>95</b>
<b>41,58</b>	<b>2,17</b>	<b>16</b>	-	-	-	<b>41,46</b>	<b>2,18</b>	<b>40</b>
47,53	1,91	55	47,48	1,91	52	-	-	-
<b>50,42</b>	<b>1,81</b>	<b>19</b>	-	-	-	<b>50,21</b>	<b>1,82</b>	<b>40</b>
<b>54,88</b>	<b>1,67</b>	<b>32</b>	-	-	-	<b>54,87</b>	<b>1,67</b>	<b>90</b>
56,36	1,63	44	56,34	1,63	42	-	-	-
59,31	1,56	6	59,09	1,56	8	-	-	-
<b>63,75</b>	<b>1,46</b>	<b>12</b>	-	-	-	<b>63,45</b>	<b>1,47</b>	<b>25</b>
<b>65,14</b>	<b>1,43</b>	<b>5</b>	-	-	-	<b>65,12</b>	<b>1,43</b>	<b>40</b>
69,43	1,35	7	69,40	1,35	8			
<b>73,01</b>	<b>1,30</b>	<b>7</b>	-	-	-	<b>72,93</b>	<b>1,30</b>	<b>20</b>
76,80	1,24	19	76,70	1,24	14	-	-	-
79,02	1,21	13	79,07	1,21	8	-	-	-
88,45	1,10	16	88,41	1,10	14	-	-	-

EK-6. (Devam) Katalizörlerin XRD sonuçlarının literatür verileri ile karşılaştırılması

Çizelge 6.3. Cr<sub>2</sub>Ce<sub>2</sub> katalizöründeki ve literatürdeki CeO<sub>2</sub> ile Cr<sub>2</sub>O<sub>3</sub> pikleri

Cr <sub>2</sub> Ce <sub>2</sub>			CeO <sub>2</sub> (34-394)			Cr <sub>2</sub> O <sub>3</sub> (6-504)		
2θ	d	I/I <sub>0</sub>	2θ	d	I/I <sub>0</sub>	2θ	d	I/I <sub>0</sub>
<b>24,42</b>	<b>3,64</b>	<b>19</b>	-	-	-	<b>24,50</b>	<b>3,63</b>	<b>75</b>
28,46	3,13	100	28,55	3,12	100	-	-	-
<b>33,43</b>	<b>2,68</b>	<b>33</b>	-	-	-	<b>33,59</b>	<b>2,67</b>	<b>100</b>
<b>41,42</b>	<b>2,18</b>	<b>10</b>	-	-	-	<b>41,46</b>	<b>2,18</b>	<b>40</b>
47,36	1,92	52	47,48	1,91	52	-	-	-
<b>50,22</b>	<b>1,82</b>	<b>13</b>	-	-	-	<b>50,21</b>	<b>1,82</b>	<b>40</b>
<b>54,74</b>	<b>1,68</b>	<b>22</b>	-	-	-	<b>54,87</b>	<b>1,67</b>	<b>90</b>
56,11	1,64	40	56,34	1,63	42	-	-	-
<b>58,49</b>	<b>1,58</b>	<b>7</b>	-	-	-	<b>58,40</b>	<b>1,58</b>	<b>14</b>
<b>63,34</b>	<b>1,47</b>	<b>8</b>	-	-	-	<b>63,45</b>	<b>1,47</b>	<b>25</b>
69,47	1,35	6	69,40	1,35	8	-	-	-
76,65	1,24	13	76,70	1,24	14	-	-	-
78,88	1,21	10	79,07	1,21	8	-	-	-
88,54	1,10	10	88,41	1,10	14	-	-	-

## EK-6. (Devam) Katalizörlerin XRD sonuçlarının literatür verileri ile karşılaştırılması

Çizelge 6.4. Cr<sub>2</sub>Ce<sub>2</sub>-EA katalizöründeki ve literatürdeki CeO<sub>2</sub> ile Cr<sub>2</sub>O<sub>3</sub> pikleri

Cr <sub>2</sub> Ce <sub>2</sub> -EA			CeO <sub>2</sub> (34-394)			Cr <sub>2</sub> O <sub>3</sub> (6-504)		
2θ	d	I/I <sub>0</sub>	2θ	d	I/I <sub>0</sub>	2θ	d	I/I <sub>0</sub>
<b>24.50</b>	<b>3.63</b>	<b>16</b>	-	-	-	<b>24,50</b>	<b>3,63</b>	<b>75</b>
28.52	3.13	100	28,55	3,12	100	-	-	-
33.08	2.71	29	33,08	2,71	30	-	-	-
<b>33.50</b>	<b>2.67</b>	<b>26</b>	-	-	-	<b>33,59</b>	<b>2,67</b>	<b>100</b>
<b>36.19</b>	<b>2.48</b>	<b>29</b>	-	-	-	<b>36,19</b>	<b>2,48</b>	<b>95</b>
47.41	1.92	52	47,48	1,91	52	-	-	-
<b>50.18</b>	<b>1.82</b>	<b>9</b>	-	-	-	<b>50,21</b>	<b>1,82</b>	<b>40</b>
<b>54.83</b>	<b>1.67</b>	<b>27</b>	-	-	-	<b>54,87</b>	<b>1,67</b>	<b>90</b>
56.36	1.63	39	56,34	1,63	42	-	-	-
59.19	1.56	7	59,09	1,56	8	-	-	-
<b>63.61</b>	<b>1.46</b>	<b>2</b>	-	-	-	<b>63,45</b>	<b>1,47</b>	<b>25</b>
<b>65.06</b>	<b>1.43</b>	<b>10</b>	-	-	-	<b>65,12</b>	<b>1,43</b>	<b>40</b>
76.76	1.24	14	76,70	1,24	14	-	-	-
78.96	1.21	9	79,07	1,21	8	-	-	-
88.45	1.10	10	88,41	1,10	14	-	-	-

Çizelge 6.5. Cr<sub>2,7</sub>Ce<sub>1,3</sub>-SiO<sub>2</sub> katalizöründeki ve literatürdeki CeO<sub>2</sub> ile SiO<sub>2</sub> pikleri

Cr <sub>2,7</sub> Ce <sub>1,3</sub> -SiO <sub>2</sub>			SiO <sub>2</sub> (13-26)			CeO <sub>2</sub> (34-394)		
2θ	d	I/I <sub>0</sub>	2θ	d	I/I <sub>0</sub>	2θ	d	I/I <sub>0</sub>
24,21	3,673	55	23,9	3,72	70	-	-	-
<b>28,52</b>	<b>3,127</b>	<b>100</b>	-	-	-	<b>28,55</b>	<b>3,1234</b>	<b>100</b>
<b>33,22</b>	<b>2,695</b>	<b>27</b>	-	-	-	<b>33,08</b>	<b>2,7056</b>	<b>30</b>
<b>47,56</b>	<b>1,9105</b>	<b>43</b>	-	-	-	<b>47,48</b>	<b>1,9134</b>	<b>52</b>
<b>56,36</b>	<b>1,6311</b>	<b>32</b>	-	-	-	<b>56,34</b>	<b>1,6318</b>	<b>42</b>

## EK-6. (Devam) Katalizörlerin XRD sonuçlarının literatür verileri ile karşılaştırılması

Çizelge 6.6. Reaksiyon sonrası Cr-O katalizöründeki ve literatürdeki Cr<sub>2</sub>O<sub>3</sub> pikleri

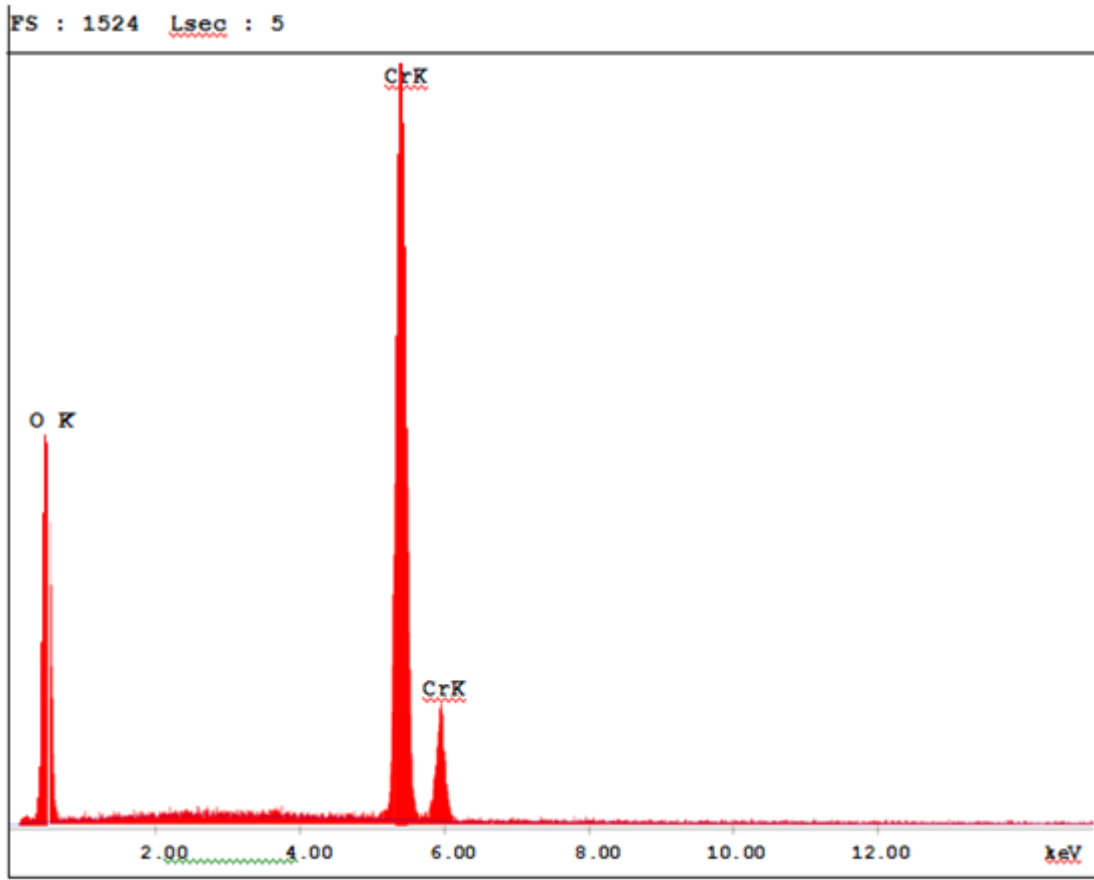
Cr-O-RS			Cr <sub>2</sub> O <sub>3</sub> (6-504)		
2θ	d	I/I <sub>0</sub>	2θ	d	I/I <sub>0</sub>
24,47	3,63	67	24,50	3,63	75
33,59	2,67	94	33,54	2,67	100
36,16	2,48	100	36,19	2,48	95
39,67	2,27	1	39,78	2,26	12
41,47	2,18	35	41,35	2,18	40
44,15	2,05	6	44,19	2,05	10
50,17	1,82	35	50,21	1,82	40
54,81	1,67	87	54,87	1,67	90
58,41	1,58	8	58,40	1,58	14
63,44	1,47	25	63,45	1,47	25
65,10	1,43	46	65,12	1,43	40
72,88	1,30	11	72,93	1,30	20
76,83	1,24	10	76,82	1,24	18
79,05	1,21	6	79,07	1,21	8
84,23	1,15	5	84,22	1,15	10
86,54	1,12	5	86,53	1,12	10

EK-6. (Devam) Katalizörlerin XRD sonuçlarının literatür verileri ile karşılaştırılması

Çizelge 6.7. Reaksiyon sonrası Cr<sub>2,7</sub>Ce<sub>1,3</sub> katalizöründeki ve literatürdeki CeO<sub>2</sub> ile Cr<sub>2</sub>O<sub>3</sub> pikleri

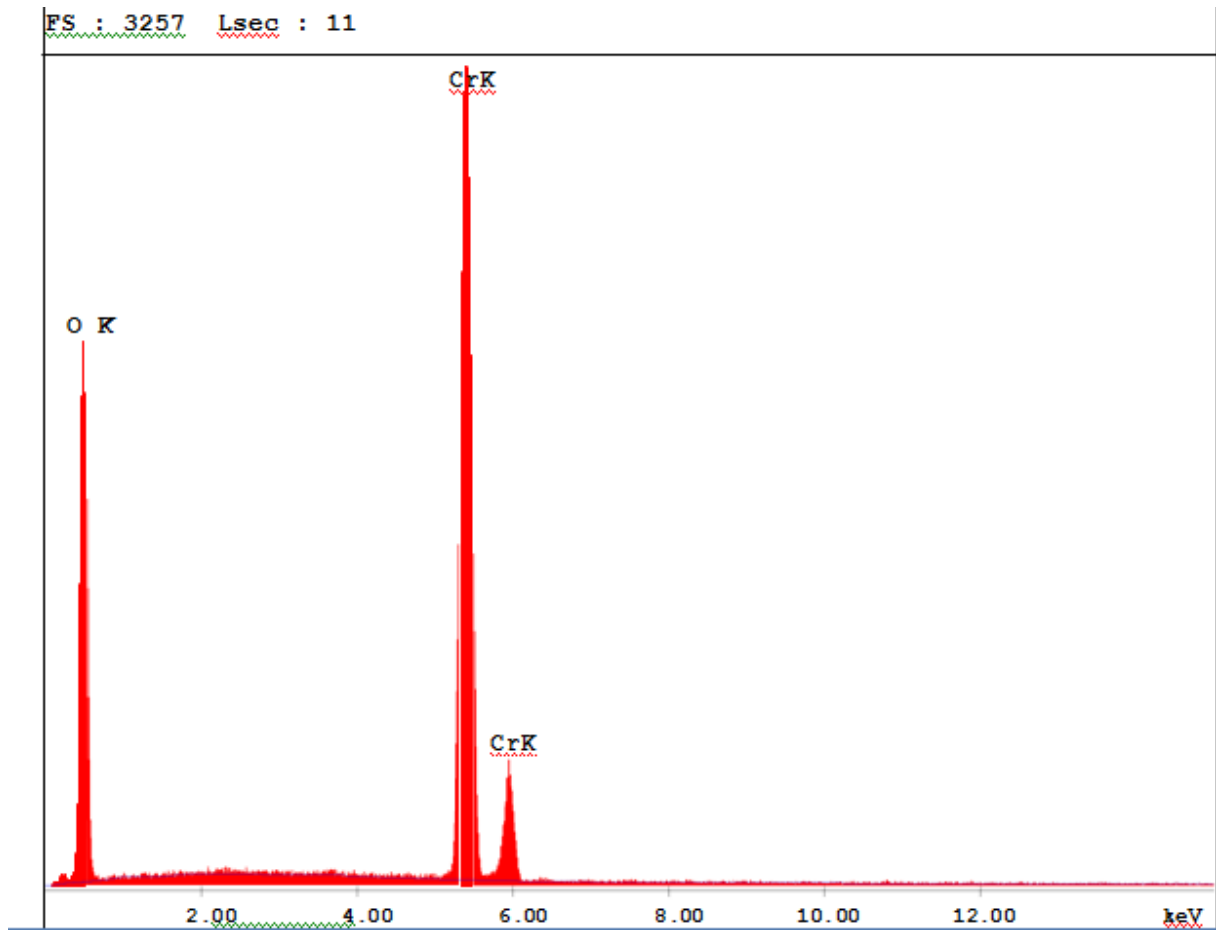
Cr <sub>2,7</sub> Ce <sub>1,3</sub> -RS			CeO <sub>2</sub> (34-394)			Cr <sub>2</sub> O <sub>3</sub> (6-504)		
2θ	d	I/I <sub>0</sub>	2θ	d	I/I <sub>0</sub>	2θ	d	I/I <sub>0</sub>
<b>24,41</b>	<b>3,64</b>	<b>47</b>	-	-	-	<b>24,50</b>	<b>3,63</b>	<b>75</b>
28,47	3,13	100	28,55	3,12	100	-	-	-
33,06	2,71	31	33,08	2,71	30	-	-	-
<b>33,51</b>	<b>2,67</b>	<b>46</b>	-	-	-	<b>33,59</b>	<b>2,67</b>	<b>100</b>
<b>36,13</b>	<b>2,48</b>	<b>60</b>	-	-	-	<b>36,19</b>	<b>2,48</b>	<b>95</b>
<b>41,38</b>	<b>2,18</b>	<b>23</b>	-	-	-	<b>41,46</b>	<b>2,18</b>	<b>40</b>
47,32	1,92	53	47,48	1,91	52	-	-	-
<b>50,13</b>	<b>1,82</b>	<b>32</b>	-	-	-	<b>50,21</b>	<b>1,82</b>	<b>40</b>
<b>54,79</b>	<b>1,67</b>	<b>50</b>	-	-	-	<b>54,87</b>	<b>1,67</b>	<b>90</b>
56,39	1,63	42	56,34	1,63	42	-	-	-
59,37	1,56	6	59,09	1,56	8	-	-	-
<b>63,36</b>	<b>1,47</b>	<b>19</b>	-	-	-	<b>63,45</b>	<b>1,47</b>	<b>25</b>
76,74	1,24	16	76,70	1,24	14	-	-	-
79,11	1,21	10	79,07	1,21	8	-	-	-
88,26	1,11	12	88,41	1,10	14	-	-	-

## EK-7. Katalizörlerin EDS grafikleri



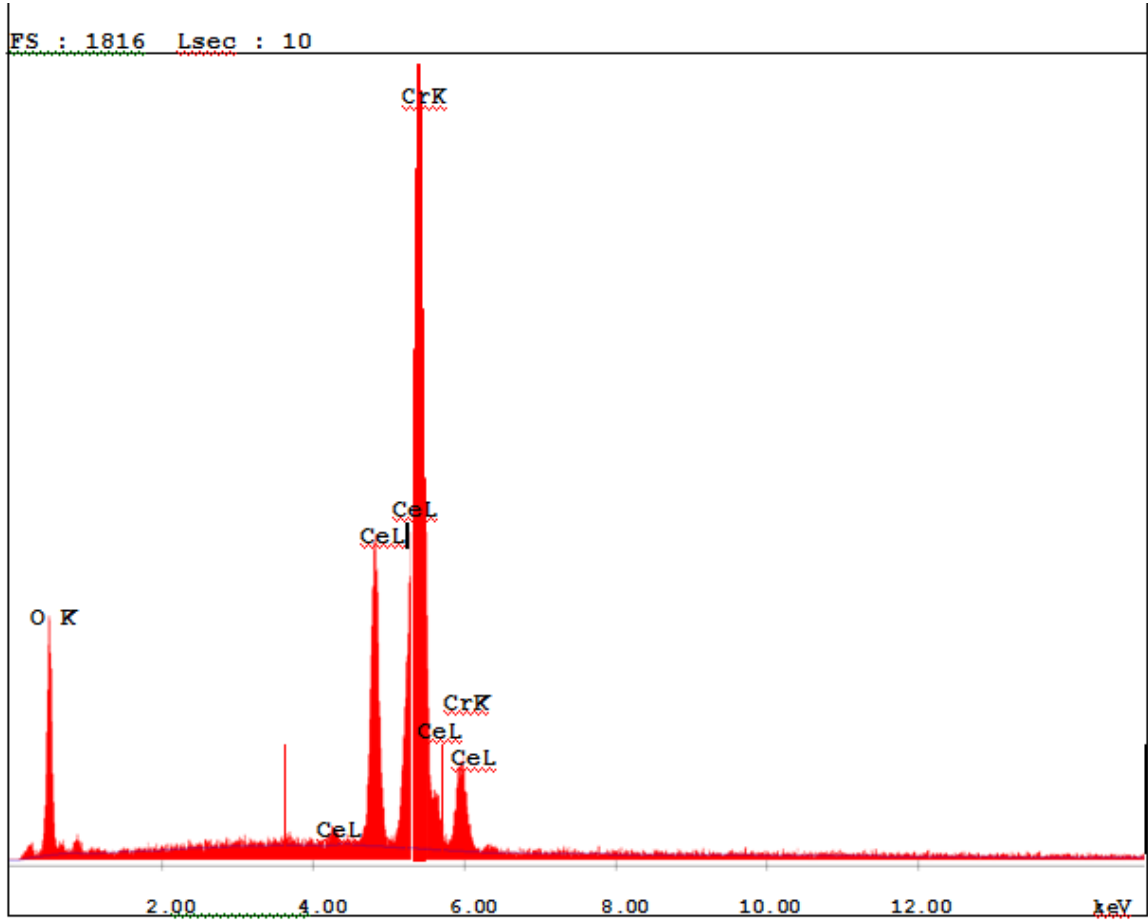
Şekil 7.1. Kompleksleme Yöntemiyle Hazırlanan Cr-O Katalizörünün EDS Grafiği

## EK-7. (Devam) Katalizörlerin EDS grafikleri



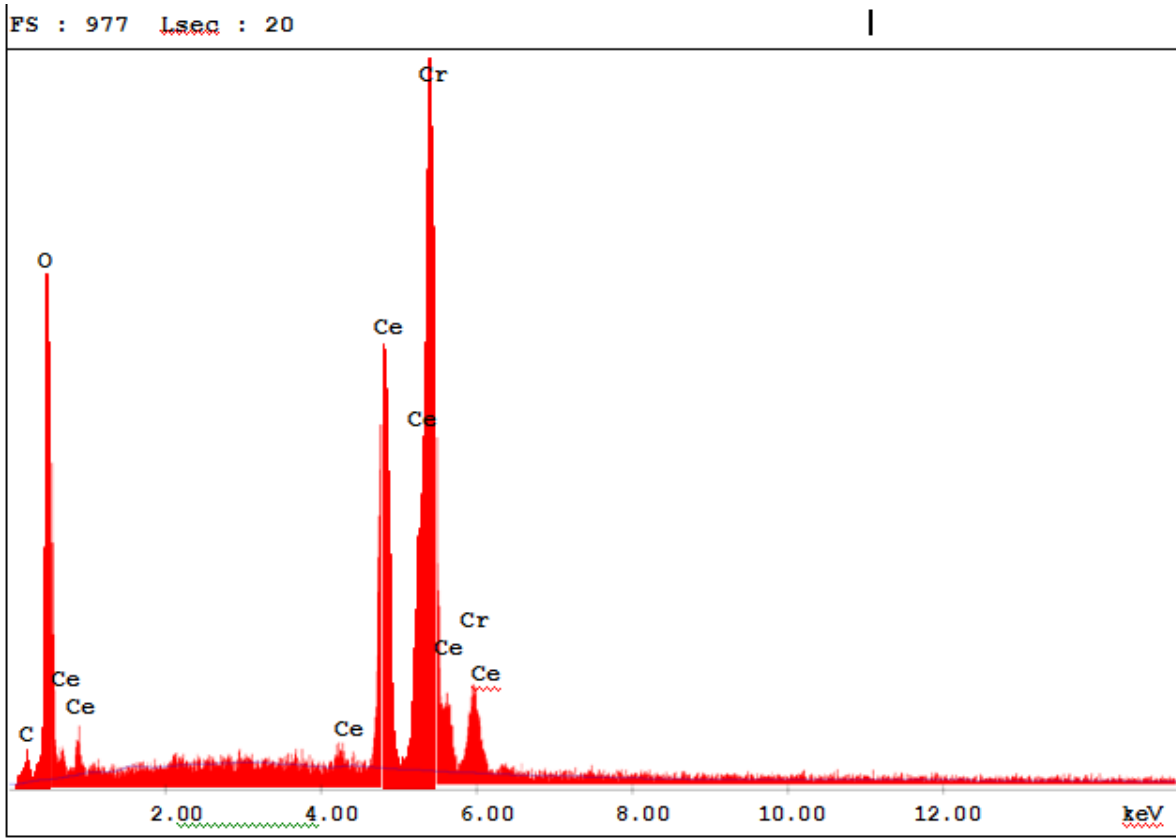
Şekil 7.2. Kompleksleştirme yöntemiyle hazırlanan Cr-O katalizörünün reaksiyon sonrası EDS grafiği

## EK-7. (Devam) Katalizörlerin EDS grafikleri

Şekil 7.3. Kompleksleştirme yöntemiyle hazırlanan Cr<sub>3</sub>Ce katalizörünün EDS grafiği

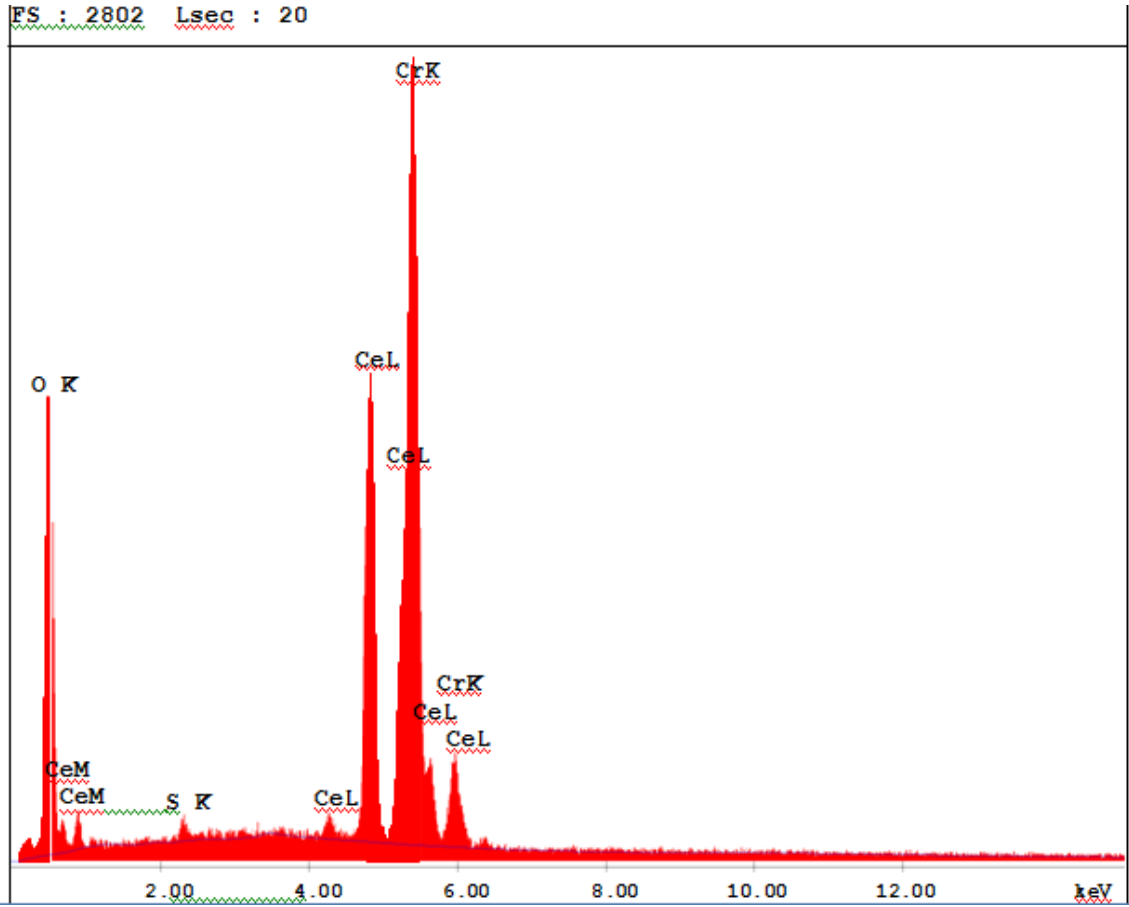


## EK-7. (Devam) Katalizörlerin EDS grafikleri



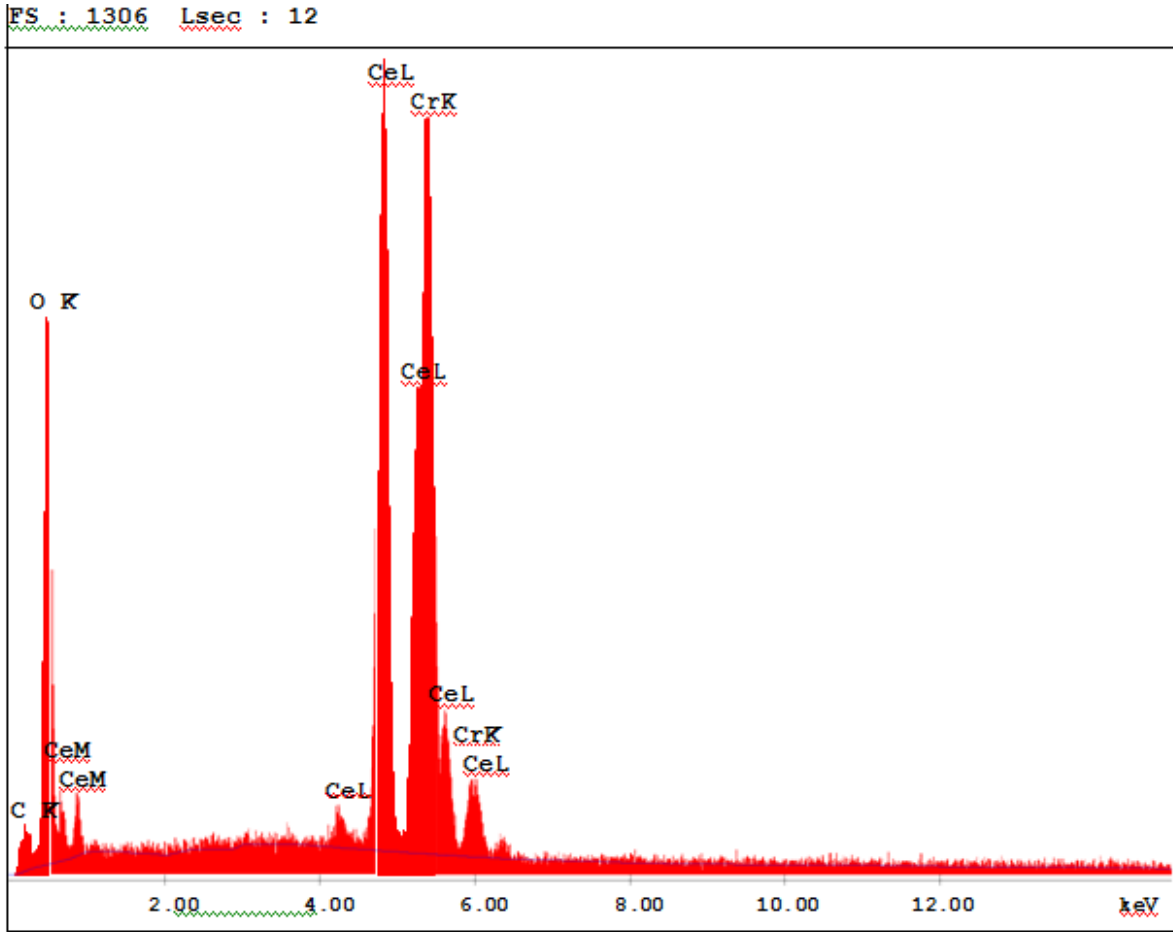
Şekil 7.4. Kompleksleştirme yöntemiyle hazırlanan Cr<sub>2,7</sub>Ce<sub>1,3</sub> katalizörünün EDS grafiği

## EK-7. (Devam) Katalizörlerin EDS grafikleri

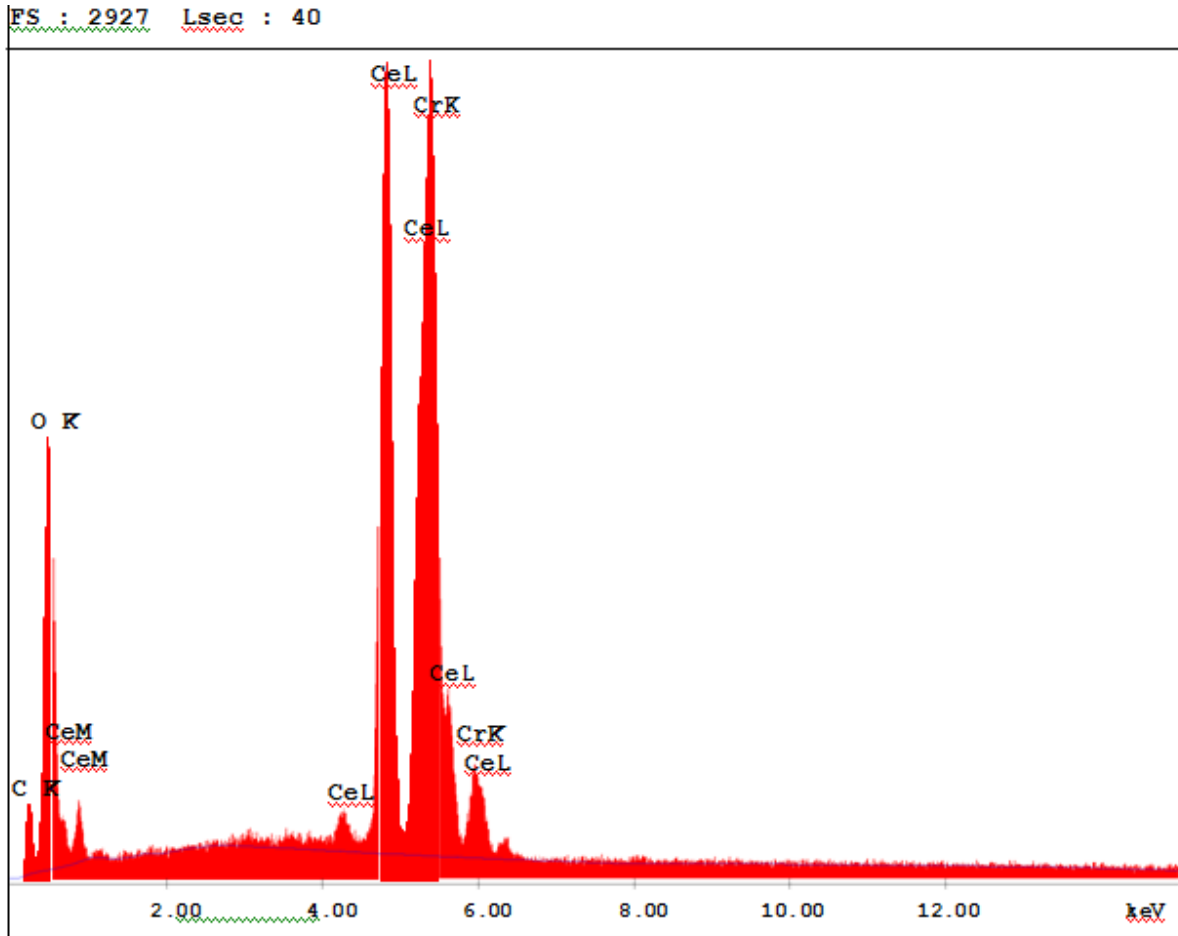


Şekil 7.5. Kompleksleştirme yöntemiyle hazırlanan  $\text{Cr}_{2,7}\text{Ce}_{1,3}$  katalizörünün reaksiyon sonrası EDS grafiği

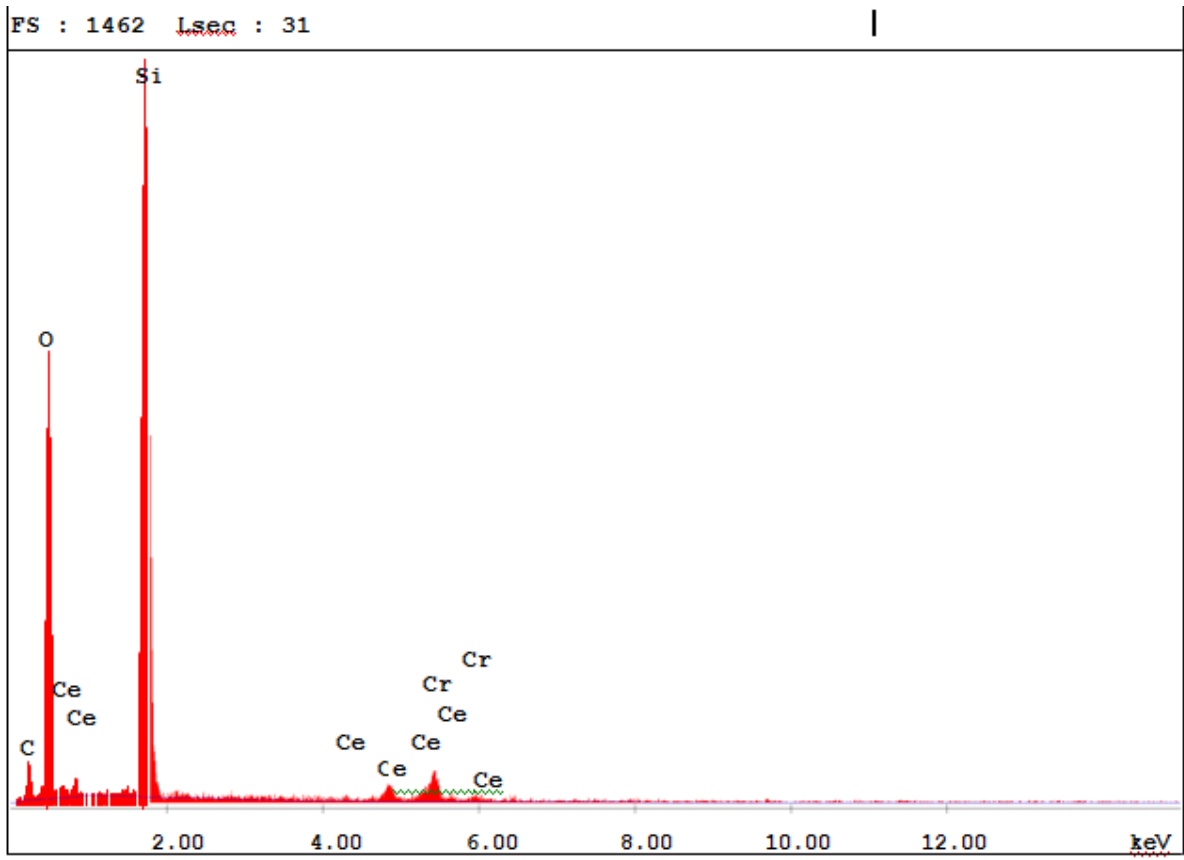
## EK-7. (Devam) Katalizörlerin EDS grafikleri

Şekil 7.6. Kompleksleştirme yöntemiyle hazırlanan Cr<sub>2</sub>Ce<sub>2</sub> katalizörünün EDS grafiği

## EK-7. (Devam) Katalizörlerin EDS grafikleri

Şekil 7.7. Kompleksleştirme yöntemiyle hazırlanan Cr<sub>2</sub>Ce<sub>2</sub>-EA katalizörünün EDS grafiği

## EK-7. (Devam) Katalizörlerin EDS grafikleri



Şekil 7.8. Kompleksleştirme yöntemiyle hazırlanan  $\text{Cr}_{2,7}\text{Ce}_{1,3}\text{-SiO}_2$  katalizörünün EDS grafiği

## ÖZGEÇMİŞ

### Kişisel Bilgiler

Soyadı, adı : CAMBAZ, Yusuf  
 Uyuğu : T.C.  
 Doğum tarihi ve yeri : 07.06.1988, Samsun  
 Medeni hali : Evli  
 Telefon : 0 (318) 266 92 04  
 Faks : 0 (318) 266 92 03  
 e-mail : yusuf.cambaz@tetrainc.com.tr



### Eğitim

Derece	Eğitim Birimi	Mezuniyet tarihi
Yüksek lisans	Gazi Üniversitesi /Kimya Mühendisliği	Devam Ediyor
Lisans	Gazi Üniversitesi /Kimya Mühendisliği	2011
Lise	Mehmet Akif Ersoy Lisesi	2002

### İş Deneyimi

Yıl	Yer	Görev
2012-2014	Tetra End. A.Ş.	Saha Mühendisi
2014-Halen	Tetra End. A.Ş.	Saha Sorumlusu

### Yabancı Dil

İngilizce

### Yayınlar/Kongreler

- Cambaz, Y.**, Taşdemir, H.M., Yaşyerli, N., “H<sub>2</sub>S Selective Oxidation To Sulfur Over Cr-Ce-O Catalysts ”, International Porous and Powder Materials 2015 (PPM 2015), Çeşme, İzmir, 15-18 Eylül, 2015 (Poster Sunumu Yapılmıştır).

### Hobiler

Tarih, Kıl Testeresi Sanatı, Futbol



*GAZİ GELECEKTİR..*

